



Carlos de Oliveira Caminha Neto

**Descoberta de relações alométricas entre
população e crime dentro de uma grande
metrópole**

Fortaleza-CE, Brasil

2017

Carlos de Oliveira Caminha Neto

Descoberta de relações alométricas entre população e crime dentro de uma grande metrópole

Tese apresentada ao Programa de Pós-Graduação em Informática Aplicada da Universidade de Fortaleza, como parte dos requisitos para obtenção do título de Doutor em Informática Aplicada.

Programa de Pós-Graduação em Informática Aplicada (PPGIA)

Universidade de Fortaleza (UNIFOR)

Orientador(a): Prof. João José Vasco Peixoto Furtado

Fortaleza-CE, Brasil

2017

Ficha catalográfica da obra elaborada pelo autor através do programa de geração automática da Biblioteca Central da Universidade de Fortaleza

Caminha, Carlos.

Descoberta de relações alométricas entre população e crime dentro de uma grande metrópole / Carlos Caminha. - 2017
111 f.

Tese (Doutorado) - Universidade de Fortaleza. Programa de Doutorado em Informática Aplicada, Fortaleza, 2017.
Orientação: Vasco Furtado.


1. Alometria. 2. Crime. 3. População. I. Furtado, Vasco.
II. Título.

Carlos de Oliveira Caminha Neto


**Descoberta de relações alométricas entre população e crime
dentro de uma grande metrópole.**

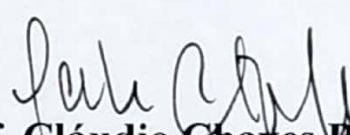
Data de Aprovação: 21/07/2017


Banca Examinadora:


**Prof. João José Vasco Peixoto Furtado, Docteur.
(Orientador – UNIFOR)**


**Prof. Tarcísio Haroldo Cavalcante Pequeno, D. Sc.
(Membro – UNIFOR)**


**Prof. José Soares de Andrade Júnior, D. Sc.
(Membro – UFC)**


**Prof. Cláudio Chaves Beato Filho, D.Sc.
(Membro – UFMG)**


**Prof. Ronaldo Parente de Menezes – Pd. D.
(Membro – Florida Institute of Technology)**

*Aos meus pais, esposa,
irmãs e sobrinha,
que estiveram comigo
em todos os momentos.
Amo vocês!*

Agradecimentos

Em primeiro lugar, agradeço aos meus pais, Carlos e Nágela, pelo apoio incondicional em todos os momentos, dando-me liberdade e acreditando em minhas escolhas. A eles dedico esta tese de doutorado.

À minha esposa Sarah, pela paciência, compreensão e apoio nos vários momentos em que estive ausente por estar desenvolvendo esta tese. Obrigado por tudo, meu amor.

Às minhas irmãs, Naira, Natália e Maria Clara, meus sobrinhos Larinha e Davi e meus sogros Hosanildo e Amparo, por todo amor e respeito que sempre tiveram por mim.

Aos amigos do Laboratório Engenharia do Conhecimento da UNIFOR que conviveram e compartilharam comigo quase que diariamente o esforço dispensado nesta tese.

Ao departamento de Física da Universidade Federal do Ceará, especialmente o Professor Soares, Dr. Erneson Oliveira e Professor Hygor Piaget, por me receberem em seu ambiente de trabalho e por permitirem que eu aprendesse com suas ideias e experiências.

Ao Professor Vasco Furtado, meu orientador, por todo o seu tempo e dedicação não somente a esta pesquisa, mas também a toda a minha formação acadêmica e profissional, sempre atuando com sua competência e experiência. Extendo esse agradecimento a todos os professores e funcionários do PPGIA e da UNIFOR que também contribuíram para o meu crescimento pessoal.

*"Descobrir consiste em
olhar para o que todo
mundo está vendo e pensar
uma coisa diferente."
Roger Von Oech*

Resumo

Recentemente a humanidade atravessou um marco importante em sua história com a constatação de que a maioria da sua população agora se concentra nas grandes cidades. Essa concentração populacional é capaz de potencializar o crescimento de indicadores positivos como inovação, produção de novas patentes e empregos supercriativos, porém potencializa a propagação de doenças e a ocorrência de crimes. Diante da constatação de que as taxas de crimes crescem ano após ano em muitos desses grandes centros urbanos, buscou-se compreender a dinâmica do crime dentro de uma cidade. Foi investigada a incidência de crimes contra o patrimônio, tanto em função de população residente quanto em função de população flutuante, em aglomerados de população dentro de uma grande metrópole brasileira. Foi encontrada uma relevante relação alométrica, mas que só pôde ser observada entre o crimes contra o patrimônio e população flutuante. Mais precisamente, a evidência de um comportamento alométrico superlinear indica que um número desproporcional de crimes ocorre em regiões onde o fluxo de pessoas é maior. Também foi descoberto que o número de chamadas à polícia por perturbação de sossego alheio é correlacionado, também de forma superlinear, com a população residente. Esta tese levanta a interessante possibilidade de que a superlinearidade observada em estudos anteriores [Bettencourt *et al.*, Proc. Natl. Acad. Sci. USA **104**, 7301 (2007) e Melo *et al.*, Sci. Rep. **4**, 6239 (2014)] para crimes sérios em função de população, em escala de cidade, pode ter origem na mobilidade humana, e não na presença de residentes como se pensava. Esse achado foi a motivação para a codificação de um *framework*, que apoia a análise de dados de população e crime para que sejam propostas divisões de cidade que permitam a alocação de policiais por estatísticas de população flutuante e residente.

Palavras-chave: Alometria, Crime, População

Abstract

Recently humanity has just crossed an important landmark in its history with the majority of people now living in large cities. This population concentration is capable of boosting the growth of positive indicators such as innovation, the production of new patents and supercreative employment, but increases the spread of diseases and the occurrence of crimes. Faced with the realization that crime rates grow year after year in these large urban centers, we sought to understand the dynamics of crime within cities. We investigate at the subscale of the neighborhoods of a highly populated city the incidence of property crimes in terms of both the resident and the floating population. Our results show that a relevant allometric relation could only be observed between property crimes and floating population. More precisely, the evidence of a superlinear behavior indicates that a disproportional number of property crimes occurs in regions where an increased flow of people takes place in the city. For comparison, we also found that the number of crimes of peace disturbance only correlates well, and in a superlinear fashion too, with the resident population. Our study raises the interesting possibility that the superlinearity observed in previous studies [Bettencourt *et al.*, Proc. Natl. Acad. Sci. USA **104**, 7301 (2007) and Melo *et al.*, Sci. Rep. **4**, 6239 (2014)] for homicides versus population at the city scale could have its origin in the fact that the floating population, and not the resident one, should be taken as the relevant variable determining the intrinsic microdynamical behavior of the system. This finding was the motivation for the codification of a framework that supports the analysis of population and crime data to propose city divisions that allow the allocation of police by floating population and resident population statistics.

Keywords: Allometry, Crime, Population

Lista de Abreviaturas e Siglas

APF	Alocação por População Flutuante
APR	Alocação por População Residente
CCA	<i>City Clustering Algorithm</i>
CIOPS	Coordenadoria Integrada de Operações de Segurança
CCP	Crimes Contra o Patrimônio
GPS	<i>Global Positioning System</i>
IBGE	Instituto Brasileiro de Geografia e Estatística
OLS	<i>Ordinary Least Square</i>
PSA	Perturbação de Sossego Alheio
PF	População Flutuante
PR	População Residente

Lista de ilustrações

- Figura 1 – **Lei de escala observada por Kleiber.** Mostrou-se que a taxa metabólica basal e a massa corporal de uma ampla gama de seres vivos estavam relacionadas por uma potência de $3/4$ 29
- Figura 2 – **Variação do coeficiente alométrico e expoente alométrico.** Em (a) é ilustrada a variação do expoente alométrico ao fixar o coeficiente alométrico com valor $a = 0.1$. Em (c) o processo é repetido, no entanto, para $a = 1$. Por fim, em (e), a variação do expoente alométrico é ilustrada para um valor fixo de $a = 10$. E (b), (d) e (f), são ilustradas as mesmas distribuições de (a),(c) e (d) respectivamente, no entanto os valores das distribuições são ilustrados em escala logarítmica. 31
- Figura 3 – **Relações alométricas e isométricas observadas por Melo e co-autores.** (a) Relação alométrica superlinear entre população residente e homicídios ($\beta = 1.23 \pm 0.005$). (b) Relação isométrica entre população residente e acidentes de trânsito ($\beta = 0.98 \pm 0.007$). (c) Relação alométrica sublinear entre população residente e suicídios ($\beta = 0.83 \pm 0.009$). Em todas as figuras os círculos pretos representam cidades brasileiras e as retas vermelhas representam regressões lineares aplicadas aos dados. As linhas contínuas azuis foram estimadas pelo método Nadaraya-Watson (NADARAYA, 1964; WATSON, 1964) e as linhas tracejadas azuis delimitam o intervalo de confiança de 95% estimado por *bootstrap* (RACINE; LI, 2004; LI; RACINE, 2004). Ambos os eixos estão em escala logarítmica. 34
- Figura 4 – **Efeito da variação do parâmetro de densidade populacional na formação de aglomerados urbanos.** Adaptado de (ARCAUTE *et al.*, 2015). 36

Figura 5 – **Percolação em unidades administrativas de terreno da cidade de Fortaleza.** É ilustrado o crescimento do maior aglomerado em função do incremento de um limiar de distância (ℓ). Nos mapas embutidos, cada cor representa um aglomerado construído. Foi utilizado o algoritmo de aglomeração *City Clustering Algorithm* (CCA) para agrupar setores censitários da cidade de Fortaleza. É identificada uma transição de fase ao incrementar o valor de ℓ de 270 para 280 metros, momento em que ocorre o maior salto no tamanho do maior agregado. O tamanho do maior agregado foi mensurado a partir do total de setores censitários agregados no mesmo. O CCA ainda possui um limiar de densidade populacional (D^*), neste experimento foi utilizado $D^* = 6000$ pessoas por km^2 37

Figura 6 – **Relação alométrica superlinear observada por Oliveira e co-autores.** Foi encontrado expoente alométrico $\beta = 1.38 \pm 0.03$ entre população residente e emissão de gás carbônico em cidades americanas. Os círculos pretos representam cidades americanas e a reta vermelha ilustra uma regressão linear aplicada aos dados. A linha contínua azul foi estimada utilizando o método Nadaraya-Watson (NADARAYA, 1964; WATSON, 1964) e as linhas tracejadas azuis delimitam o intervalo de confiança de 95% estimado por *bootstrap* (RACINE; LI, 2004; LI; RACINE, 2004). Ambos os eixos estão em escala logarítmica. 39

Figura 7 – **Modelo gráfico da Teoria das Atividades Rotineiras.** São ilustrados círculos que simbolizam as rotinas de três agentes. A teoria afirma que um crime ocorre pela convergência espaçotemporal (interseção dos círculos) das rotinas desses três agentes: Um agressor motivado; uma vítima desprotegida; e a ausência de um guardião capaz de impedir a transgressão. 41

Figura 8 – Validação estatística das origens e destinos estimadas. Cada círculo preto representa uma parada de ônibus. A linha vermelha representa a regressão linear aplicada aos dados, a linha contínua azul foi estimada pelo método Nadaraya-Watson (NADARAYA, 1964; WATSON, 1964) e as linhas tracejadas azuis delimitam o intervalo de confiança de 95% estimado por <i>bootstrap</i> (RACINE; LI, 2004; LI; RACINE, 2004). Uma relação isométrica foi encontrada, com expoente $\rho = 0.95 \pm 0.02$ e $R^2 = 0.92$. O R^2 é o coeficiente de determinação da regressão (RAWLINGS; PANTULA; DICKEY, 2001; MONTGOMERY; PECK; VINING, 2015).	53
Figura 9 – Composição das rotas dos usuários na construção de uma rede de fluxo. Em (a) é ilustrada uma rota hipotética do usuário U_1 . Em (b) é ilustrada a rota também hipotética de um usuário U_2 . Em (c) é ilustrado como é feita a composição das rotas para construir uma rede de fluxo.	56
Figura 10 – Rede de fluxo estimada. É ilustrada a distribuição espacial dos vértices (que representam paradas de ônibus) dessa rede. Tamanho e cor dos nós são definidos pelo seu grau. Quanto maior e mais claro é o nó, mais conexões ele tem.	57
Figura 11 – Distribuições de graus da rede de fluxo estimada. (a) Distribuição de graus da rede. (b) Distribuição de graus ponderados: para melhor visualização essa distribuição foi gerada em 50 <i>bins</i> . Em (a) e (b) ainda é possível observar as suas respectivas distribuições em escala logarítmica embutidas nos gráficos.	57
Figura 12 – Mapa de setores censitários de Fortaleza. Esse tipo de divisão administrativa de terreno segmenta Fortaleza em 3043 sub-regiões, que possuem em média ~ 800 residentes. De uma maneira geral, os setores censitários são muito pequenos, às vezes, menores que um quarteirão. O maior setor censitário da cidade possui 7.92 km^2 , o menor possui pouco mais de 0.001 km^2 (1000 m^2).	60

Figura 13 – **Mapas de densidade das variáveis estudadas em Fortaleza.** (a) População residente (PR) por (km²). (b) População flutuante (PF) por km². (c) Perturbação de sossego alheio (PSA) por km². (d) Crimes contra o patrimônio (CCP) por km². O círculo preto destaca o centro da cidade, essa região tem uma baixa densidade tanto de residentes quanto de reclamações de perturbação de sossego alheio, em contrapartida é densa em fluxo de pessoas e crimes contra o patrimônio. . . . 62

Figura 14 – **Gráficos de dispersão aplicados às variáveis estudadas.** (a)-(d) Revelam a ausência de correlação nas variáveis estudadas a nível de setor censitário. Cada círculo preto representa um setor censitário e em todos os gráficos foi estimado coeficiente de determinação (RAWLINGS; PANTULA; DICKEY, 2001; MONTGOMERY; PECK; VINING, 2015) $R^2 < 0.15$ 63

Figura 15 – **O comportamento aglomerativo do (CCA).** Cada polígono representa uma unidade de agrupamento, especificamente no caso deste trabalho, setores censitários. Os polígonos na cor azul claro são candidatos a serem agrupados ($D_i > D^*$). Em contrapartida, os polígonos na cor cinza não podem ser agrupados ($D_i \leq D^*$). (a) O ponto vermelho representa o centro geométrico do setor censitário i e o círculo preto com raio ℓ procura vizinhos pertencentes ao mesmo aglomerado. (b)-(c) A mesma operação de busca é feita para os outros setores censitários até que não haja mais vizinhos dentro do raio de operação. (d) O algoritmo termina a execução e o aglomerado é encontrado. 67

Figura 16 – **Comportamento do expoente β ao variar os parâmetros do CCA, ℓ e D^* .** Em (a) é ilustrada a variação de β na correlação entre PR e PSA. Em (b) A variação é ilustrada para a correlação entre PF e CCP. Em (c) são ilustrados os valores de β da relação entre PR e CCP. Por fim, em (d), são ilustrados os valores do expoente β para a relação entre PF e PSA. Em todas as Figuras, (a-d), o eixo x representa o valor de ℓ , que foi variado a partir de 100 até 800 metros (momento em que o maior aglomerado encontrado consome quase toda a cidade). O valor do expoente β é exibido no eixo y . As cores das linhas representam a variação do parâmetro D^* , que correspondente à densidade de população residente nos itens (a) e (c), e a densidade de população flutuante nos itens (b) e (d). D^* foi variado a partir de 1000 até 8000. As sombras representam o erro padrão do coeficiente β . Os gráficos também mostram linhas tracejadas vermelhas, entre essas linhas é destacado o intervalo onde, independentemente da parametrização, o expoente β tem intervalos menores de variação. As linhas pretas pontilhadas destacam o expoente $\beta = 1$, situação em que a relação entre variáveis é isométrica. Em (a), a relação é superlinear a partir de $\ell \geq 180$, já em (b), a superlinearidade aparece em $\ell \geq 320$. Em todas as figuras, as sombras coloridas representam o Erro Padrão do Coeficiente, a cor da sombra indica a que valor de D^* o erro padrão está associado. 68

Figura 17 – **Comportamento do expoente α ao variar os parâmetros do CCA, ℓ e D^* .** (a) Variação de α nas correlações entre população residente (PR) e área em quilômetros quadrados (km^2) dos aglomerados descobertos pelo CCA. (b) Variação dos expoentes das correlações entre a população flutuante (PF) e área. Em (a) e (b), O eixo x representa o parâmetro ℓ , e o eixo y representa o expoente α . As cores das linhas representam a variação do parâmetro D^* . D^* foi variado a partir de 1000 até 8000. As linhas pretas pontilhadas destacam o expoente $\beta = 1$, situação em que a relação entre variáveis é isométrica. 69

Figura 18 – **Relação isométrica entre população residente (PR) e população flutuante (PF) com a área de seus aglomerados em quilômetros quadrados.** (a) Correlação entre PR e área dos aglomerados encontrados pelo *City Clustering Algorithm* (CCA) para $D^* = 6000$ residentes por km^2 e $\ell = 270$ metros. (b) Correlação entre PF e área para $D^* = 2000$ pessoas passando por km^2 e $\ell = 320$ metros. A linha vermelha representa uma regressão *Ordinary Least Square* (OLS) aplicada ao logaritmo dos dados (RAWLINGS; PANTULA; DICKEY, 2001; MONTGOMERY; PECK; VINING, 2015). A linha contínua azul indica a regressão de kernel Nadaraya-Watson (NADARAYA, 1964; WATSON, 1964). Finalmente, as linhas tracejadas azuis delimitam 95% de intervalo de confiança estimado a partir de 500 amostras de aleatórias com substituição. R^2 é o Coeficiente de Determinação da regressão (RAWLINGS; PANTULA; DICKEY, 2001; MONTGOMERY; PECK; VINING, 2015). 70

Figura 19 – **Comportamento do Coeficiente de Determinação ao variar os parâmetros do CCA, ℓ e D^* .** (a) A variação de R^2 na correlação entre população residente (PR) e perturbação de sossego alheio (PSA) é ilustrada. Em (b) é ilustrada a variação para correlações entre população flutuante (PF) e crimes contra o patrimônio (CCP). D^* foi variado a partir de 1000 até 8000. As linhas pretas pontilhadas destacam o expoente $\beta = 1$, situação em que a relação entre variáveis é isométrica. 71

Figura 20 – **CCA aplicado à população residente (PR) e população flutuante (PF) em Fortaleza.** Cada cor representa um aglomerado, as áreas na cor cinza claro correspondem a setores censitários que não foram agrupados por terem $D_i < D^*$. (a) densidade populacional foi utilizada para encontrar os limites dos aglomerados com $\ell = 270$ metros e $D^* = 6000$ pessoas residindo por km^2 . (b) divisão encontrada considerando a mobilidade urbana é ilustrada, o mapa foi gerado para $\ell = 320$ metros e $D^* = 2000$ pessoas passando por km^2 em um dia em Fortaleza. 72

Figura 21 – **Gráficos de dispersão calculados a partir dos aglomerados encontrados pelo CCA.** As linhas vermelhas representam as regressões lineares aplicadas aos dados, as linhas contínuas azuis representam o método Nadaraya-Watson (NADARAYA, 1964; WATSON, 1964) e as linhas tracejadas azuis delimitam o intervalo de confiança de 95% estimado por *bootstrap* (RACINE; LI, 2004; LI; RACINE, 2004). (a) Uma relação superlinear foi encontrada, com expoente $\beta = 1.15 \pm 0.04$, entre população flutuante (PF) e crimes contra o patrimônio (CCP). (b) Uma relação superlinear também foi encontrada entre a população residente (PR) e perturbação de sossego alheio (PSA), com expoente $\beta = 1.18 \pm 0.04$. (c)-(d) Os gráficos de dispersão de PF com PSA e PR com CCP mostraram uma relação isométrica entre as variáveis, mas com correlações menores que (a) e (b). O R^2 é o Coeficiente de Determinação das regressões. 73

Figura 22 – **Painel de análise de de dados brutos.** O mapa central ilustra a densidade de crimes ou população, dependendo da escolha do usuário. É possível observar ainda a distribuição de crimes por tipo, por bairro e por agência (*e.g.* PM, SAMU e DETRAN). Esse painel tem grande utilidade na verificação de inconsistências nos dados. A título de exemplo, foram observados erros de georreferenciamento nos dados de crime. Ao selecionar um bairro (no gráficos em tons de laranja à direita), observou-se que cerca de 5% das latitudes e longitudes apontavam para regiões fora do bairro. Devido a tal observação, esses dados foram removidos das análises. 78

Figura 23 – **Painel de análise de agregações de unidades terreno realizadas pelo o CCA.** Esse painel permite avaliar o efeito da parametrização do CCA sobre o expoente alométrico nas relações entre população e crime. Os gráficos ilustrados são inspirados nas Figuras 16 e 17 desta tese. 79

- Figura 24 – **Correlações entre população e crime com seus respectivos expoentes alométricos encontrados.** A partir da seleção de um ponto (que representa uma configuração dos parâmetros do CCA) nos gráficos ilustrados no segundo painel de visualização, é possível verificar a dispersão dos dados de população e crime para a configuração do CCA escolhida. Esse terceiro painel também ilustra a divisão espacial dos aglomerados encontrados, tanto para população residente, quando para população flutuante. 80
- Figura 25 – **Arquitetura geral do framework desenvolvido.** O usuário utiliza o módulo de análise de dados para definir a melhor divisão da cidade para a alocação de uma polícia especializada para combater um determinado tipo de crime. O módulo de análise de dados gera como saída um arquivo KML com a divisão definida pelo usuário e essa divisão é utilizada no módulo de alocação policial. O usuário informa a quantidade de policiais disponíveis para a alocação. O módulo de análise de dados acessa informações de bancos de dados de crimes e população de uma cidade, já o módulo de alocação acessa apenas um banco de dados de crimes. 82
- Figura 26 – **Alocação policial utilizando as duas estratégias estudadas.** Em (a) é ilustrado mapa de densidade de policiais alocados utilizando APR, em (b) é ilustrado mapa de densidade de policiais alocados utilizando APF. Os círculos pretos destacam o centro comercial de Fortaleza, área de grande concentração de PF e por consequência, grande concentração de CCP. 83
- Figura 27 – **Diferenças e semelhanças entre as alocações estudadas.** Em (a) são destacados na cor preta os bairros que tiveram alocação mais parecida utilizando APR e APF. Em (b) são destacados os bairros com maior diferença na quantidade de policiais alocados. Em ambas as figuras foram destacados 24 bairros, 20% do total da cidade. 85

- Figura 28 – **Comparação entre APR e APF.** Em (a) é ilustrada a quantidade de policiais alocados por bairro. A linha azul representa uma interpolação por *splines* cúbicos (BOOR *et al.*, 1978) (mais detalhes no Apêndice I) aplicada aos valores encontrados para APR. A linha vermelha representa a mesma interpolação aplicada para as quantidades de policiais alocados utilizando APF. Em (b) são ilustrados os histogramas das distribuições de alocação nos bairros da cidade. Para melhor visualização, os histogramas foram gerados em 20 *bins* (WAND, 1997). 86
- Figura 29 – **Correlações entre policiais alocados e fluxo de pessoas em APR e APF.** (a) e (b) ilustram respectivamente as correlações alcançadas para APF e APR. O eixo x representa a PF e o eixo y a quantidade de policiais alocados. As linhas vermelhas representam as regressões lineares aplicadas aos dados, as linhas contínuas azuis representam o método de Nadaraya-Watson (NADARAYA, 1964; WATSON, 1964) e as linhas tracejadas azuis delimitam o intervalo de confiança 95% estimado por *bootstrap* (RACINE; LI, 2004; LI; RACINE, 2004). Em (b) ainda são destacados quatro aglomerados (bolha vermelha) que têm proporcionalmente um fluxo grande de pessoas para uma pequena presença de policiais. 87
- Figura 30 – **Regressão linear simples aplicada em dados sintéticos.** Cada círculo representa uma amostra gerada sinteticamente. A reta contínua laranja ilustra a regressão linear simples aplicada aos dados, com $slope = 3.0 \pm 0.05$. A figura ainda exibe um gráfico embutido, onde é ilustrada a mesma distribuição, no entanto, em escala linear. 95
- Figura 31 – **Tipos de interpolação em um conjunto de dados de exemplo.** Os círculos pretos representam os valores $\{X_i, Y_i\}_i^N$ de um conjunto de dados hipotético. A linha contínua verde é o resultado de uma interpolação por *splines* lineares nesse conjunto de dados. A linha pontilhada azul ilustra uma interpolação por *splines* quadráticos. Por fim, a linha tracejada amarela representa uma interpolação por *splines* cúbicos. 98

Lista de tabelas

Tabela 1 – Relações alométricas e isométricas observadas por Bettencourt e coautores. Retirado de (BETTENCOURT <i>et al.</i> , 2007).	33
Tabela 2 – Quantidade de policiais alocados por bairro pelas duas estratégias de alocação policial estudadas.	84

Sumário

1	INTRODUÇÃO	22
1.1	Contexto	22
1.2	Motivação e Questões de Pesquisa	23
1.3	Desenvolvimento e Resultados	25
1.4	Estrutura da tese	26
2	FUNDAMENTAÇÃO TEÓRICA	28
2.1	Análise quantitativa para compreensão de fenômenos sociais e urbanos	28
2.2	Crime e mobilidade humana: uma visão sociológica e criminológica	38
2.3	Estimação de padrões de mobilidade	44
3	ESTIMAÇÃO DE POPULAÇÃO FLUTUANTE A PARTIR DE DADOS DE GPS E BILHETAGEM DE ÔNIBUS	50
3.1	Contexto	50
3.2	Conjuntos de dados de mobilidade	50
3.3	Estimativa e validação de uma matriz origem-destino	51
3.4	Reconstrução das trajetórias dos usuários	53
3.5	Estimação de população flutuante a partir de trajetórias de usuários de ônibus	54
4	DIVISÕES DE CIDADE PARA COMPREENSÃO DA DINÂMICA DO CRIME	59
4.1	Conjuntos de dados	59
4.2	Relação entre população e crime a partir de análises sobre setores censitários	61
4.3	Discussão	62
5	RELAÇÕES ALOMÉTRICAS ENTRE POPULAÇÃO E CRIME EM AGREGADOS DE POPULAÇÃO DENTRO DE UMA CIDADE	65
5.1	Influência social mensurada a partir de agregados de população residente e flutuante	65
5.2	Resultados	71

5.3	Discussão	74
6	UMA FERRAMENTA DE APOIO NA TAREFA DE ALOCAÇÃO POLICIAL	76
6.1	Descrição do framework	77
6.1.1	Módulo de análise de dados	77
6.1.2	Módulo de alocação	81
6.2	Estratégias	81
6.3	Comparação das estratégias	83
6.4	Discussão	87
7	CONCLUSÃO	89
7.1	Resultados alcançados e contribuições	89
7.2	Limitações da pesquisa	91
7.3	Trabalhos futuros	92
	REFERÊNCIAS	102

1 Introdução

1.1 Contexto

Relações sociais diretas, como interações entre conhecidos, ou indiretas, como o uso compartilhado de recursos naturais (*e.g.* visitar uma praia ou um parque ecológico) ou artificiais (*e.g.* usar um transporte coletivo) são importantes elementos que potencializam o que abstratamente é conhecido como a dinâmica de uma cidade ou, mais genericamente, de um aglomerado urbano (*e.g.* regiões metropolitanas). Essas relações têm especial impacto no comportamento do crime, sendo objeto de estudo de áreas diversas. Majoritariamente, as ciências ditas sociais têm buscado explicar fenômenos relacionados ao comportamento violento e delituoso por meio de pesquisas qualitativas (MICHAEL; ADLER, 1933; COHEN; FELSON, 1979; FELSON, 2002; CLARKE; FELSON, 1993). A era digital, em que dados sobre o comportamento humano passaram a ser registrados em um nível de granularidade nunca antes imaginado, trouxe novos atores à cena da pesquisa em ciências sociais com novos instrumentos para apoiar a compreensão da dinâmica das cidades e do crime em particular baseados em modelos quantitativos (FILHO *et al.*, 2001; GUEDES; FURTADO; PEQUENO, 2014; WANG *et al.*, 2013; KIANI; MAHDAVI; KESHAVARZI, 2015; CAMINHA; FURTADO, 2012; FURTADO *et al.*, 2012; WANG, 2005; MELO *et al.*, 2014; ALVES *et al.*, 2013; ALVES; RIBEIRO; MENDES, 2013; D'ORSOGNA; PERC, 2015; ALVES *et al.*, 2015a; SHORT *et al.*, 2008; SHORT *et al.*, 2010).

Um exemplo de como esses modelos quantitativos podem ser aplicados refere-se à forma como o conceito de alometria - um termo originalmente concebido na Biologia para descrever relações de causa e efeito com característica livre de escala, *e.g.*, a relação entre a massa e a taxa metabólica de organismos (KLEIBER, 1932) - foi adaptado ao contexto social para compreensão da dinâmica de cidades (NAROLL; BERTALANFFY, 1956).

Na Biologia, mostrou-se que a taxa metabólica dos organismos escala sublinearmente em relação à massa dos mesmos. Ou seja, o gasto de energia dos animais é desproporcional a sua massa, indicando uma certa eficiência dos organismos vivos, pois, por exemplo, o dobro da massa acarretaria um aumento menor do que duas vezes no gasto metabólico. De maneira análoga aos estudos biológicos, a população de uma cidade

equivaleria a massa dos organismos vivos, tendo o papel de dimensionar o objeto de estudo. A ideia é de que sirva para compreender o efeito que o seu crescimento tem sobre indicadores correlacionados, como indicadores sociais (crimes) e ambientais (emissão de CO_2). Uma relação alométrica, em um contexto social, pode ser descrita por uma função de lei de potência,

$$Y = aX^\beta, \quad (1.1)$$

onde usualmente X representa a população, Y quantifica um indicador social, a é uma constante e $\beta \neq 1$ é o expoente alométrico.

A descoberta de relações alométricas em fenômenos sociais tornou-se uma promissora linha de pesquisa, sendo capaz de estimar o impacto que as relações sociais podem causar em indicadores relacionados à dinâmica das cidades (GOMEZ-LIEVANO; YOUN; BETTENCOURT, 2012; IGNAZZI, 2014; HANLEY; LEWIS; RIBEIRO, 2016; ALVES *et al.*, 2015b; ARCAUTE *et al.*, 2016; COTTINEAU *et al.*, 2016; LEITÃO *et al.*, 2016; BETTENCOURT, 2013; ARBESMAN; KLEINBERG; STROGATZ, 2009). Digno de menção é o trabalho de Bettencourt *et al.* (BETTENCOURT *et al.*, 2007), que revelou que relações alométricas estavam presentes em muitos aspectos infraestruturais e dinâmicos de cidades americanas. Os autores utilizaram população residente como medida de dimensão de cidades e estudaram o efeito que o crescimento das mesmas exerce sobre indicadores urbanos.

Dentre os seus principais resultados, os autores observaram uma relação alométrica superlinear ($\beta > 1$) característica entre a quantidade de população residente e o número de crimes sérios, que indica que o crescimento populacional de uma cidade ocorre a custo de um crescimento maior que o proporcional da sua quantidade de crimes. Posteriormente, Melo *et al.* (MELO *et al.*, 2014) confirmaram esse comportamento para as cidades brasileiras, no entanto encontraram forte evidência quantitativa de que suicídios escalam de forma alométrica sublinear ($\beta < 1$) com população residente.

1.2 Motivação e Questões de Pesquisa

Grande parte dos trabalhos que buscam compreender a dinâmica das cidades e o impacto que a população exerce sobre indicadores sociais e/ou ambientais relacionados à vida urbana, em especial os que buscam compreender a dinâmica do crime em aglomerados urbanos, fazem-no considerando a existência de uma relação alométrica intercidades

explicada pela presença de população residente. Apesar da importância dos resultados apresentados nesses trabalhos, seus impactos no planejamento urbano, mais especificamente no desenvolvimento de políticas públicas, são limitados devido à sua macroescala, diferente de um estudo intracidade que objetiva um entendimento mais profundo das causas que levam a tal comportamento desproporcional. Desta forma, uma abordagem em microescala, baseada no estudo da relação entre população e indicadores urbanos em sub-regiões dentro das cidades, tornou-se a principal motivação desta pesquisa visando ampliar o entendimento acerca dos resultados obtidos. Isso nos levou à formulação da primeira questão de pesquisa desta tese:

QP₁ - Há relações alométricas entre população e crime dentro de uma cidade?

No percurso de exploração dessa primeira questão de pesquisa, verificou-se que a literatura científica, tanto na criminologia, como nas ciências sociais, enfatizava o papel determinante da movimentação das pessoas no espaço urbano e das relações sociais que nele ocorrem (COHEN; FELSON, 1979; CLARKE; FELSON, 1993). Um exemplo marcante é a Teoria das Atividades Rotineiras, proposta por Cohen e Felson (COHEN; FELSON, 1979), que afirma que crimes, como roubos e furtos, ocorrem pela convergência das rotinas de um agressor motivado a cometer um crime, com uma vítima vulnerável, somada a ausência de um guardião capaz de proteger essa vítima. Essa convergência de rotinas é evidentemente determinada pelo padrão de movimentação das pessoas na cidade. Na verdade, vários outros estudos criminológicos levam em conta a movimentação das pessoas dentro das cidades para explicar a Jornada para Crime (*Journey to Crime*) (RENGERT, 2004) e a Vitimização Repetida (*Repeat Victimization*) (LAURITSEN; QUINET, 1995), para mencionar alguns. Dependendo do tipo de crime, a movimentação das pessoas pode ter maior ou menor relevância em gerar relações sociais que possam provocar crimes. Em certos crimes ou delitos, as relações de vizinhança seriam mais determinantes o que justificaria considerar os dados da população residente. Em outros, como roubos e furtos, os dados relativos aos deslocamentos das pessoas seriam mais determinantes de relações sociais que levariam a crimes.

Com base nisso, construiu-se a questão de pesquisa *QP₂*, uma especificação da primeira. Visa-se explorar se há relações alométricas em regiões de uma cidade considerando tanto população flutuante como população residente.

QP₂ - A quantidade de população residente e flutuante é igualmente importante

para explicar a quantidade de crimes em diferentes regiões de uma cidade?

1.3 Desenvolvimento e Resultados

A busca por respostas para as questões de pesquisa elaboradas nesta tese trouxeram desafios técnicos à parte, quais sejam:

- (i) Estimar a população flutuante de uma cidade com um nível de granularidade que permitisse verificar a relação entre população e crime em sub-aglomerados dentro da cidade. Para tal efeito, desenvolveu-se um método que permite estimar a movimentação das pessoas baseado em dados de bilhetagem de ônibus e do GPS dos ônibus.
- (ii) Estimar o tamanho e a forma dos sub-aglomerados urbanos adequados para a identificação de relações alométricas. Desenvolveu-se uma metodologia fazendo uso do algoritmo de aglomeração *City Clustering Algorithm* (CCA) (MAKSE *et al.*, 1998; ROZENFELD *et al.*, 2008; GIESEN; ZIMMERMANN; SUEDEKUM, 2010; ROZENFELD *et al.*, 2011; DURANTON; PUGA, 2013; GALLOS *et al.*, 2012; DURANTON, 2015; EECKHOUT, 2004).

A aplicação da metodologia desenvolvida se deu a partir de dados georreferenciados de chamadas à polícia para crimes contra o patrimônio e perturbação de sossego alheio, registrados na cidade brasileira de Fortaleza, entre 2014 e 2016. Também foram utilizados dados de população residente, fornecidos pelo Instituto Brasileiro de Geografia e Estatística (IBGE) ¹. A estimativa de população flutuante foi feita com base em dados de bilhetagem e GPS (*Global Positioning System*) de ônibus do ano de 2015.

Dentre os resultados obtidos verificou-se que a incidência de crimes contra o patrimônio tem relação alométrica superlinear com a população flutuante em diversas áreas de Fortaleza. Este resultado implica que o aumento do fluxo de pessoas em uma determinada área da cidade acontecerá a custo de uma taxa proporcionalmente maior de crimes na mesma região. Esse comportamento superlinear dentro de aglomerados na cidade amplia o entendimento acerca dos resultados intercidades encontrados em (BETTENCOURT *et al.*, 2007; MELO *et al.*, 2014), pois, em microescala, é a população

¹ disponível em <http://www.ibge.gov.br/>

flutuante a responsável por criar a relação superlinear evidenciada em macroescala. Também foi encontrada uma relação alométrica superlinear entre população residente e o número de chamadas de perturbação de sossego alheio. Esse resultado mostra que o efeito da influência social deve estar adequadamente correlacionado com a população residente ou flutuante, dependendo do tipo de crime considerado.

Diante do maior entendimento acerca das relações entre população e crime dentro de uma cidade, buscou-se avaliar como esse entendimento pode alterar políticas de segurança pública. Foi desenvolvido um *framework* com módulos de mineração de dados (de população e crime) e alocação policial. Esse *framework* permitiu o estudo do impacto que a população, especialmente a flutuante, deveria exercer na atividade de alocação policial, essencialmente devido a constatação de que uma lei de potência conduz a relação entre população flutuante e crimes contra o patrimônio dentro de uma cidade. Foram comparadas duas estratégias de alocação policial, ambas baseadas no modelo de alocação por alta densidade de crimes, que aloca a quantidade de recursos proporcionalmente em função da quantidade de crimes na região. A primeira é uma estratégia convencional de alocação, onde os recursos policiais são distribuídos por unidades administrativas de terreno, normalmente definidas a partir de estatísticas de população residente. A segunda estratégia aloca os mesmos recursos por aglomerados de população flutuante estimados pelo CCA. Observou-se uma diferença substancial entre as quantidades de policiais alocados de acordo com as duas estratégias.

1.4 Estrutura da tese

Esta tese de doutorado é dividida em seis capítulos, incluindo esta introdução. No capítulo 2 é apresentada a fundamentação teórica que cerca este trabalho. No capítulo 3 será detalhado como foram estimados os padrões de mobilidade dos cidadãos de Fortaleza e como esses padrões quantificam o volume de população flutuante em diversas regiões da cidade. No capítulo 4 será realizada uma discussão a respeito de como uma cidade pode ser dividida para compreensão da dinâmica do crime. Adicionalmente serão apresentados os conjuntos de dados utilizados nesta pesquisa. No capítulo 5 será demonstrado como foram definidas as fronteiras da influência social na cidade, também será explicitado como foram constatadas as relações alométricas entre população e crime. No capítulo 6 será apresentado um exercício de aplicação motivado pela existência de uma relação superlinear entre população flutuante e crimes contra o patrimônio. Especificamente será discutido a respeito de como esse conhecimento poderia ser aplicado à alocação de recursos policiais.

Por fim, no capítulo 7, serão feitas considerações finais acerca deste trabalho e apresentada uma discussão a respeito dos trabalhos futuros identificados.

2 Fundamentação teórica

Este capítulo tem como objetivo descrever os principais estudos que investigaram aspectos relacionados a este trabalho. Na seção 2.1, serão explicitados trabalhos que fazem uso de técnicas quantitativas para compreender fenômenos sociais, com foco principal em identificação de Leis de Escala em indicadores urbanos. Na seção 2.2, serão apresentadas algumas das principais teorias da sociologia e da criminologia que, de alguma maneira, relacionam a ocorrência de crimes com as rotinas diárias e mobilidade das pessoas. Na seção 2.3 serão descritos trabalhos que utilizaram dados de mobilidade humana para compreender fenômenos sociais e urbanos.

2.1 Análise quantitativa para compreensão de fenômenos sociais e urbanos

Métodos quantitativos têm sido aplicados amplamente no contexto da compreensão de fenômenos sociais e urbanos. Enquanto métodos de Regressão Logística têm sido utilizados para compreender o crescimento de cidades (HU; LO, 2007) e Modelos de Regressão para detectar padrões de mobilidade e de expansão urbana (SAMPSON; RAUDENBUSH, 1999), o método de Regressão Linear (descrito no Apêndice I) tem sido utilizado para estimar correlações entre inúmeros indicadores, provendo explicação quantitativa para diversos fenômenos a nível de escala (BETTENCOURT *et al.*, 2007; MELO *et al.*, 2014; OLIVEIRA; ANDRADE; MAKSE, 2014).

Em um contexto mais amplo que apenas a compreensão de fenômenos sociais e urbanos, é observado que Leis de Escala estão presentes na ciência há séculos. Em 1838, (RAMEAUX; SARRUS, 1838) propuseram que a produção de calor em mamíferos era proporcional à potência de $2/3$ da sua respectiva massa corporal. Essa hipótese ficou conhecida como a Lei de Superfície e sua verificação experimental foi observada alguns anos depois por (RUBNER, 1883), que mostrou que a taxa metabólica de cães escalava com a massa corporal elevada a uma potência de $2/3$. Em 1932, (KLEIBER, 1932) mostrou que a taxa metabólica basal e a massa corporal de uma ampla gama de mamíferos estavam relacionadas por uma potência de $3/4$ ao invés de $2/3$. Tal resultado ficou conhecido como a Lei de Kleiber e pôs fim à hipótese defendida pela Lei de Superfície, uma vez que os

resultados obtidos por Kleiber eram irrefutáveis. Vale ressaltar que a Lei de Kleiber é uma das leis de escala mais famosas da Biologia, uma vez que ela é satisfeita para vários outros seres vivos, de organismos unicelulares até grandes mamíferos (KLEIBER *et al.*, 1961; BROWN, 2000; SIMINI *et al.*, 2010). A Figura 1 ilustra a lei de escala observada por Kleiber: o autor descobriu que a taxa metabólica de diversos organismos escalava com a sua massa corporal elevada a uma potência de $3/4$.

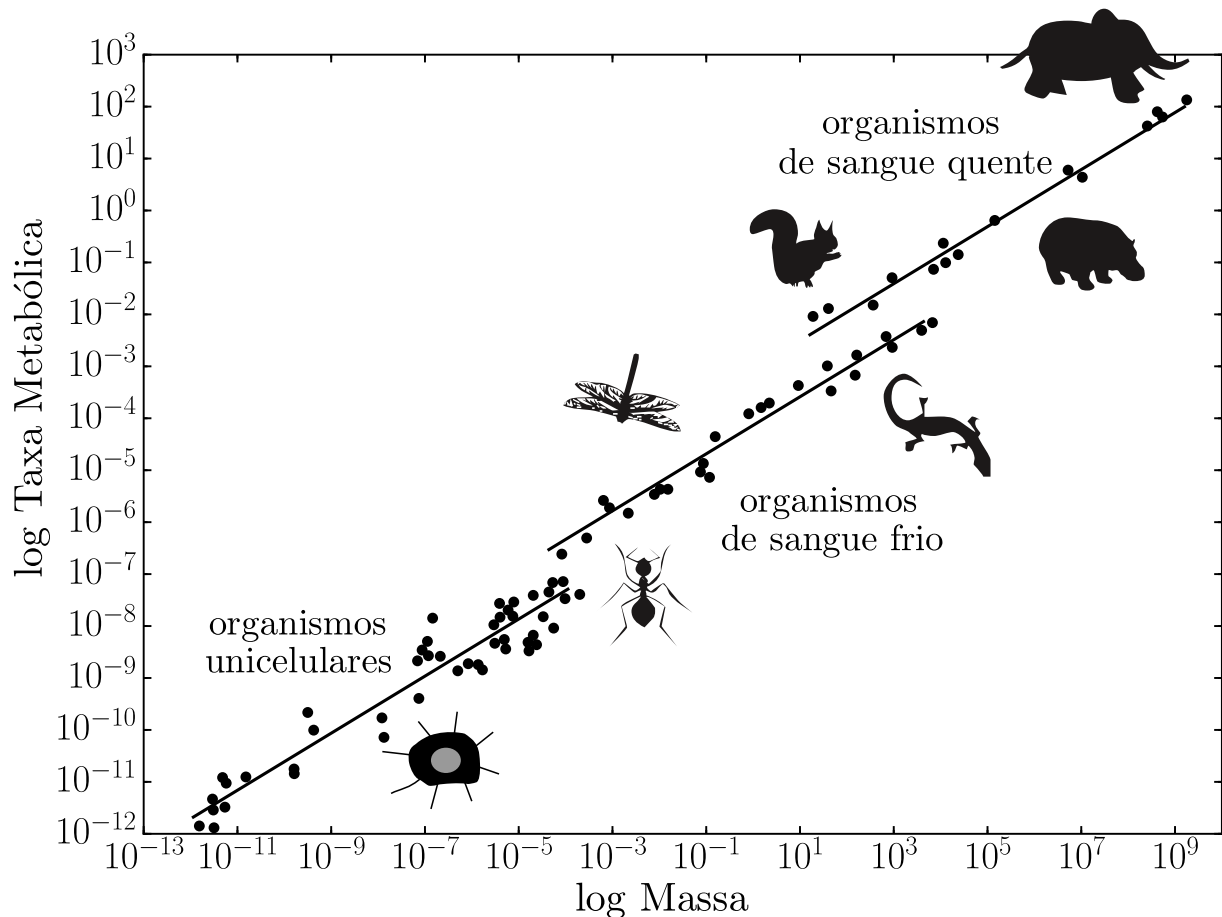


Figura 1 – **Lei de escala observada por Kleiber.** Mostrou-se que a taxa metabólica basal e a massa corporal de uma ampla gama de seres vivos estavam relacionadas por uma potência de $3/4$.

O termo “alometria” foi usado para descrever leis de escala biológicas gerais durante décadas. Formalmente, uma equação alométrica descreve o crescimento correlacionado de uma variável Y em função de outra variável X , através de uma função $Y = aX^\beta$, onde a é o coeficiente alométrico e β é o expoente alométrico. O coeficiente alométrico, a , é responsável por dimensionar a diferença de escala entre X e Y . Por exemplo, se X e Y têm crescimento correlacionado, e os valores iniciais de X estão na ordem de 10^3 e Y na ordem de 10^2 , a assume valor aproximado de 0.1. Caso os valores iniciais de X e Y estejam na mesma ordem de grandeza, $a \approx 1$. Caso os valores iniciais de X estejam na ordem de

10^3 e Y na ordem de 10^4 , por exemplo, $a \approx 10$.

O expoente alométrico, β , é responsável por explicar o crescimento de Y em função de X a nível de proporcionalidade. Quando $\beta \approx 1$ é observado que o crescimento de Y ocorre de maneira proporcional a X , evidenciando uma relação isométrica entre X e Y . $\beta > 1$ indica que Y tem crescimento maior que o proporcional em função do crescimento de X , sendo evidenciada, nesse caso, uma relação alométrica superlinear. Por fim, quando $\beta < 1$, é observado que X cresce a custo de um crescimento menor que o proporcional de Y , indicando uma relação alométrica sublinear. A Figura 2 ilustra a variação de a e β para valores de X e Y em escala linear e logarítmica. Nos exemplos gerados com valores de X , a e β sintéticos, o coeficiente alométrico assumiu os valores 0.1 (a-b), 1 (c-d) e 10 (e-f), já o expoente alométrico assumiu valores sublineares, isométricos e superlineares, respectivamente, 0.75 (linhas azuis), 1 (linhas contínuas pretas) e 1.25 (linhas vermelhas). As linhas pontilhadas pretas representam limiares aceitáveis (BETTENCOURT *et al.*, 2007) para classificar uma relação como isométrica, respectivamente, as linhas pontilhadas superiores e inferiores foram geradas para $\beta = 1.05$ e $\beta = 0.95$.

Nos anos seguintes surgiram os primeiros trabalhos de alometria em estudos não biológicos. Nesses trabalhos foi observado o crescimento de indicadores sociais e urbanos em função de medidas de dimensão de cidades. Uma medida de dimensão de cidade é um atributo que quantifica o tamanho de uma cidade, *e.g.*, população ou características espaciais. Alguns trabalhos investigaram o tamanho da população e a organização interna das cidades, exemplos incluem: o trabalho de Zipf, em 1950, sobre o tamanho das cidades e o número de estabelecimentos de manufatura (ZIPF, 1950); o trabalho de Naroll e Bertalanffy, em 1956, sobre o tamanho do maior assentamento em tribos primitivas, o número de especialidades ocupacionais e o número de tipos organizacionais (NAROLL; BERTALANFFY, 1956); o trabalho de Woldenberg, no ano de 1973, para áreas residenciais, instalações urbanas e uso da terra (WOLDENBERG, 1973); e o trabalho de Newling que, em 1966, observou uma relação alométrica a partir de dados de densidade populacional urbana (NEWLING, 1966).

No entanto, em 2007, (BETTENCOURT *et al.*, 2007) trouxeram a alometria em estudos urbanos de volta à discussão acadêmica após extenso período. Em um trabalho realizado com diversas cidades americanas, chinesas e alemãs, os autores descobriram relações alométricas e isométricas entre população residente e diversos indicadores urbanos. Ao utilizar população residente como medida de dimensão de cidades, os autores acabaram

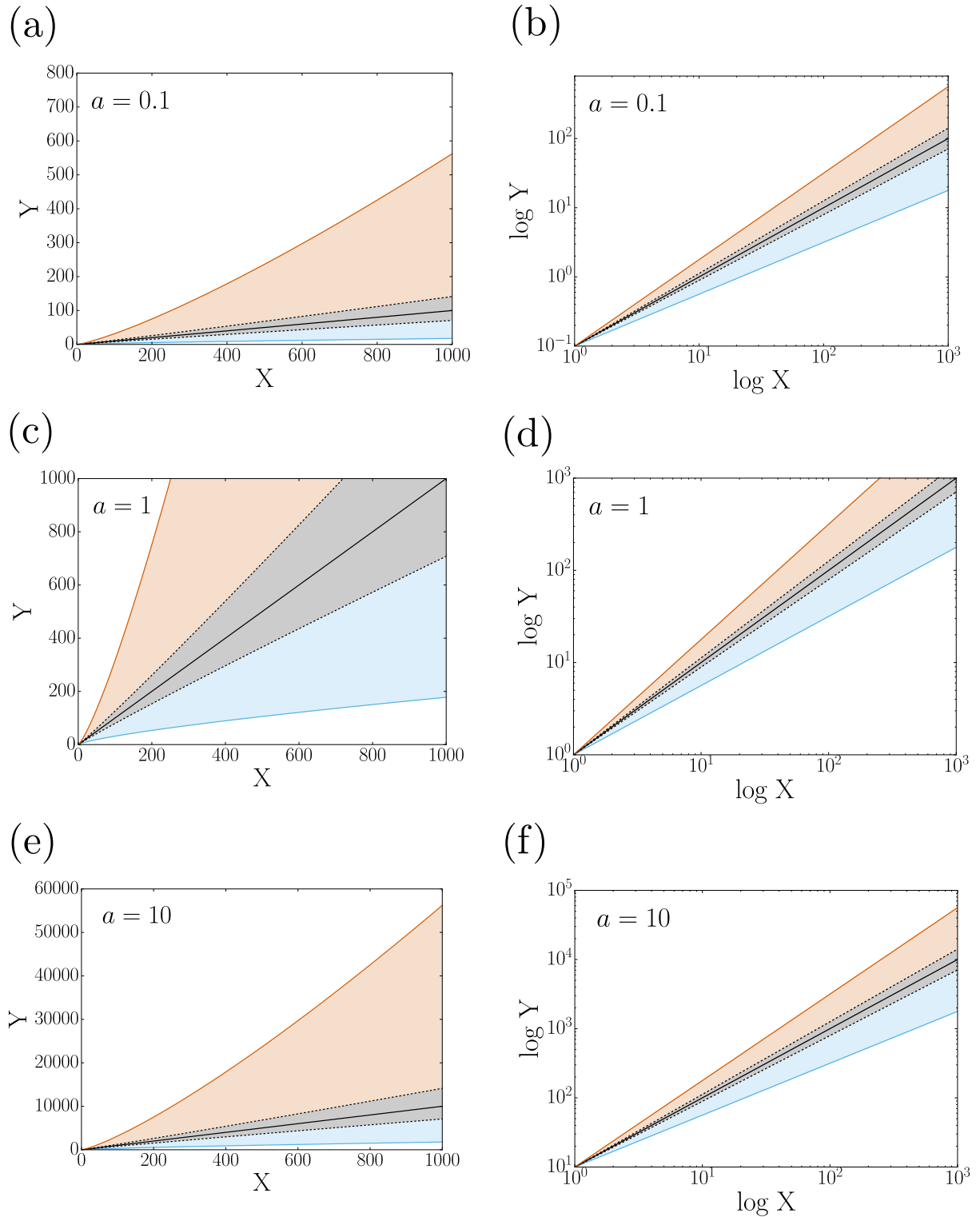


Figura 2 – **Variação do coeficiente alométrico e expoente alométrico.** Em (a) é ilustrada a variação do expoente alométrico ao fixar o coeficiente alométrico com valor $a = 0.1$. Em (c) o processo é repetido, no entanto, para $a = 1$. Por fim, em (e), a variação do expoente alométrico é ilustrada para um valor fixo de $a = 10$. E (b), (d) e (f), são ilustradas as mesmas distribuições de (a),(c) e (e) respectivamente, no entanto os valores das distribuições são ilustrados em escala logarítmica.

por mensurar indiretamente o volume de influência social exercido sobre as cidades. Já as relações alométricas e isométricas encontradas dimensionaram o papel que essa influência social tem sobre indicadores urbanos a nível de escala. De forma análoga aos trabalhos realizados na biologia, os autores mensuraram essa relação por uma função do tipo $Y = aX^\beta$, no entanto, no trabalho de Bettencourt *et al.*, X é a quantidade de população residente e Y corresponde a quantidade de um indicador urbano. Cada ponto plotado nos gráficos de dispersão de Bettencourt *et al.* correspondia a uma cidade. Os autores delimitaram as cidades pelas suas fronteiras administrativas.

Dentre os principais resultados obtidos por (BETTENCOURT *et al.*, 2007), destacam-se as observações de que as grandes cidades potencializam a produção de inovação e de novas patentes. Observou-se uma relação alométrica superlinear entre população residente e quantidade de novas patentes e de invenções, em outras palavras, quando a população de uma cidade dobra, a quantidade de novas patentes e invenções mais do que dobra. Os autores mostraram também que existe uma relação alométrica sublinear entre população residente e, por exemplo, a quantidade de postos de gasolina. Nesse ponto os autores apontam que as grandes cidades alcançam eficiência similar a de sistemas biológicos (Lei de Kleiber), devido a constatação de que se uma cidade dobra a sua população é necessário menos que o dobro de postos de gasolinas para atender a sua demanda. Por fim, ainda foi observado que alguns indicadores se relacionavam de forma isométrica com a população, o aumento dos indicadores urbanos lineares são proporcionais ao tamanho da população das cidades refletindo as necessidades individuais comuns de cada ser humano, como o consumo de água, o número de empregos e o número de residências. A Tabela 1 ilustra as relações estatísticas observadas por Bettencourt *et al.*

O trabalho de (BETTENCOURT *et al.*, 2007) teve ampla divulgação na comunidade científica e meios de imprensa. Um dos fatos mais discutidos a respeito desse trabalho foi a relação superlinear encontrada entre população residente e crimes sérios, com expoente alométrico $\beta = 1.16 \pm 0.04$, em cidades dos Estados Unidos no ano de 2003. Posteriormente, uma relação alométrica do mesmo tipo, entre população residente e crimes violentos, foi observada também para cidades brasileiras, com expoente alométrico $\beta = 1.15 \pm 0.03$ (BETTENCOURT *et al.*, 2010).

Ainda sobre relações superlineares entre população e crime, (MELO *et al.*, 2014) encontram forte evidencia quantitativa de que homicídios em cidades brasileiras escalam, com expoente $\beta = 1.23 \pm 0.005$, de maneira superlinear com população residente. Os

Tabela 1 – Relações alométricas e isométricas observadas por Bettencourt e coautores. Retirado de (BETTENCOURT *et al.*, 2007).

Y	β	C.I.	R^2	Observações	País Ano
Novas patentes	1.27	[1.25, 1.29]	0.72	331	US 2001
Inventores	1.25	[1.22, 1.27]	0.76	331	US 2001
Empregos de P&D	1.34	[1.29, 1.39]	0.92	266	US 2002
Empregos supercriativos	1.15	[1.11, 1.18]	0.89	287	US 2003
Estabelecimentos de P&D	1.19	[1.14, 1.22]	0.88	287	US 1997
Empregos de P&D	1.26	[1.18, 1.43]	0.93	295	China 2002
Salários	1.12	[1.09, 1.13]	0.96	361	US 2002
Depósitos bancários	1.08	[1.03, 1.11]	0.91	267	US 1996
PIB	1.15	[1.06, 1.23]	0.96	295	China 2002
PIB	1.26	[1.09, 1.46]	0.64	196	EU 1999-2003
PIB	1.13	[1.03, 1.23]	0.94	37	Alemanha 2003
Consumo elétrico total	1.07	[1.03, 1.11]	0.88	392	Alemanha 2002
Novos casos de AIDS	1.23	[1.18, 1.29]	0.76	93	US 2002-2003
Crimes Sérios	1.16	[1.11, 1.18]	0.89	287	US 2003
Casas	1.00	[0.99, 1.01]	0.99	316	US 1990
Empregos	1.01	[0.99, 1.02]	0.98	331	US 2001
Consumo elétrico doméstico	1.00	[0.94, 1.06]	0.88	377	Alemanha 2002
Consumo elétrico doméstico	1.05	[0.89, 1.22]	0.91	295	China 2002
Consumo de água doméstico	1.01	[0.89, 1.11]	0.96	295	China 2002
Postos de gasolina	0.77	[0.74, 0.81]	0.93	318	US 2001
Vendas de gasolina	0.79	[0.73, 0.80]	0.94	318	US 2001
Comp. da fiação elétrica	0.87	[0.82, 0.92]	0.75	380	Alemanha 2002
Superfície da estrada	0.83	[0.74, 0.92]	0.87	29	Alemanha 2002

autores observaram ainda a existência de uma relação sublinear entre população residente e suicídios, com expoente alométrico $\beta = 0.83 \pm 0.009$, e relação isométrica entre população residente e acidentes de trânsito ($\beta = 0.98 \pm 0.007$). Foram utilizadas as fronteiras administrativas definidas pelo governo para delimitar as cidades brasileiras. Na discussão do trabalho os autores explicam que a influencia social potencializa a propagação de crimes no espaço urbano, embora também apoie para que ocorram menos suicídios. A Figura 3 ilustra resultados reproduzidos a partir do trabalho de (MELO *et al.*, 2014).

Trabalhos recentes demonstraram que unidades administrativas de terreno (*e.g.* bairros, setores censitários ou fronteiras municipais) são imprecisas para compreender fenômenos urbanos, principalmente porque estas são definidas com restrições que buscam simplificar atividades de censo, como normalizações de suas fronteiras por estatísticas de população residente (OLIVEIRA; ANDRADE; MAKSE, 2014; ARCAUTE *et al.*, 2015;

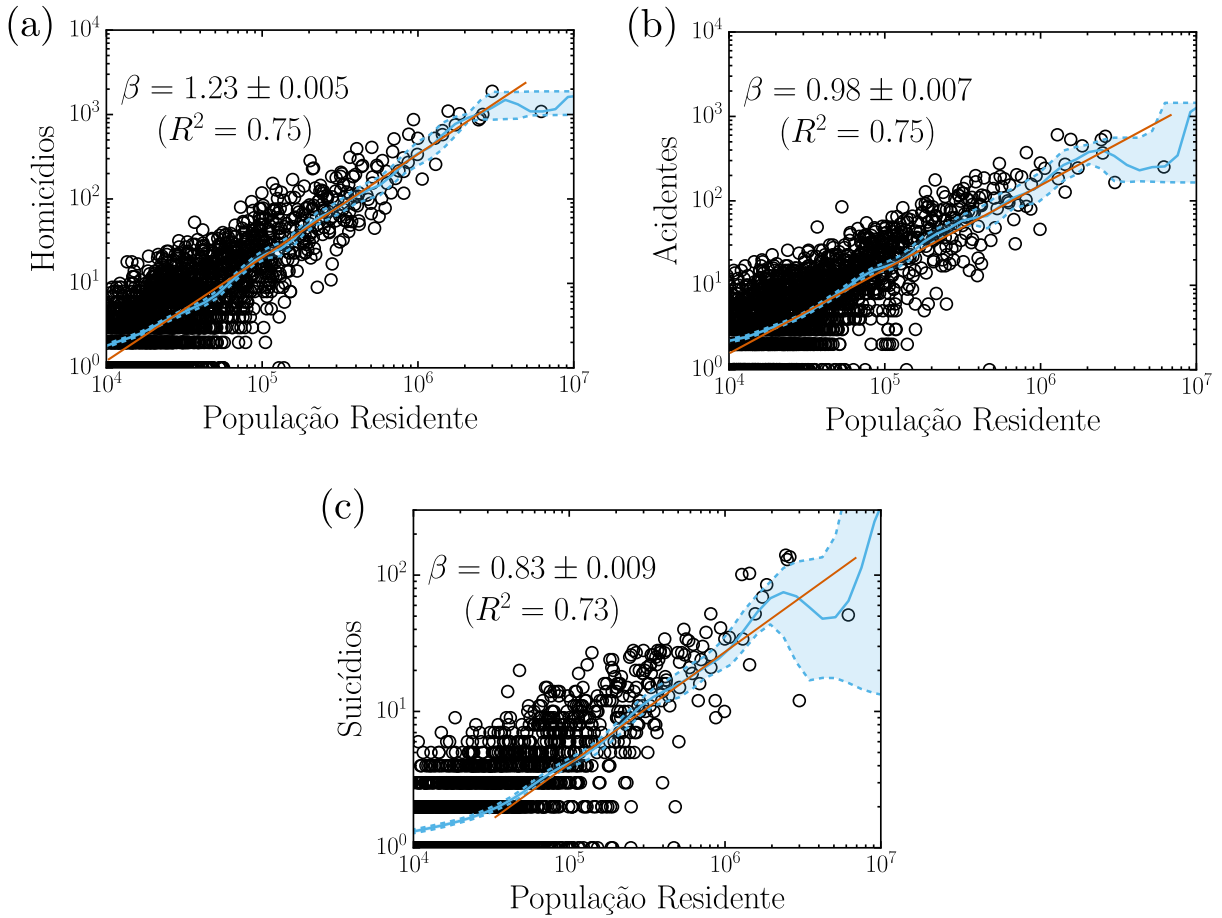


Figura 3 – **Relações alométricas e isométricas observadas por Melo e coautores.**

(a) Relação alométrica superlinear entre população residente e homicídios ($\beta = 1.23 \pm 0.005$). (b) Relação isométrica entre população residente e acidentes de trânsito ($\beta = 0.98 \pm 0.007$). (c) Relação alométrica sublinear entre população residente e suicídios ($\beta = 0.83 \pm 0.009$). Em todas as figuras os círculos pretos representam cidades brasileiras e as retas vermelhas representam regressões lineares aplicadas aos dados. As linhas contínuas azuis foram estimadas pelo método Nadaraya-Watson (NADARAYA, 1964; WATSON, 1964) e as linhas tracejadas azuis delimitam o intervalo de confiança de 95% estimado por *bootstrap* (RACINE; LI, 2004; LI; RACINE, 2004). Ambos os eixos estão em escala logarítmica.

COTTINEAU *et al.*, 2016). Existem diferentes métodos para reconstruir sistemas urbanos, por exemplo através do crescimento populacional (ROZENFELD *et al.*, 2008; GIESEN; ZIMMERMANN; SUEDEKUM, 2010; ROZENFELD *et al.*, 2011; DURANTON; PUGA, 2013; GALLOS *et al.*, 2012; DURANTON, 2015; ECKHOUT, 2004), ou métodos que utilizam a agregação por percolação e limitação de difusão (MAKSE *et al.*, 1998; MAKSE; HAVLIN; STANLEY, 1995; MURCIO; SOSA-HERRERA; RODRIGUEZ-ROMO, 2013; FLUSCHNIK *et al.*, 2014).

Recentemente, (ARCAUTE *et al.*, 2015) desenvolveram um *framework* para definir

idades além de suas fronteiras administrativas. A parte principal desse *framework* é um algoritmo de aglomeração que utiliza a densidade populacional como parâmetro principal, pois esta é uma propriedade intrínseca de espaços urbanizados. Os autores definiram o parâmetro de densidade de população, p_0 , para situar-se dentro do intervalo [1-40], tendo sido esse parâmetro mensurado em pessoas por hectare. Para cada limiar inteiro p_0 no intervalo, foram agrupadas todas as unidades de aglomeração adjacentes com densidade p_w tal que $p_w \geq p_0$. Se uma unidade de aglomeração k tiver uma densidade $p_k < p_0$, mas é cercada por outra unidade de modo que, para cada unidade adjacente (w), $p_w \geq p_0$, a unidade k também é incluída no aglomerado. Uma das principais limitações desse algoritmo é que ele só produz aglomerados com superfície contínua. Dentro do intervalo de variação do parâmetro, os autores estimaram 40 divisões diferentes de sistemas de cidades para Inglaterra e País de Gales. A Figura 4 ilustra o efeito da variação de p_0 na formação de aglomerados urbanos em um país inteiro.

Um ano depois, (ARCAUTE *et al.*, 2016) também utilizaram percolação (STAUFER; AHARONY, 1994) para escolher o melhor valor de p_0 na definição dos aglomerados. Os autores mediram o tamanho do maior aglomerado enquanto variavam p_0 em busca de uma transição de fase (STANLEY, 1971). Mais precisamente, os autores verificaram em que momento o maior aglomerado agregaria o segundo maior aglomerado, momento esse dito como o ponto crítico do sistema, que ocorre em uma transição de fase. Comumente é escolhido o valor do parâmetro de agregação anterior a esse ponto crítico. A Figura 5 ilustra o processo de percolação em uma agregação sistemática de unidades administrativas de terreno da cidade de Fortaleza.

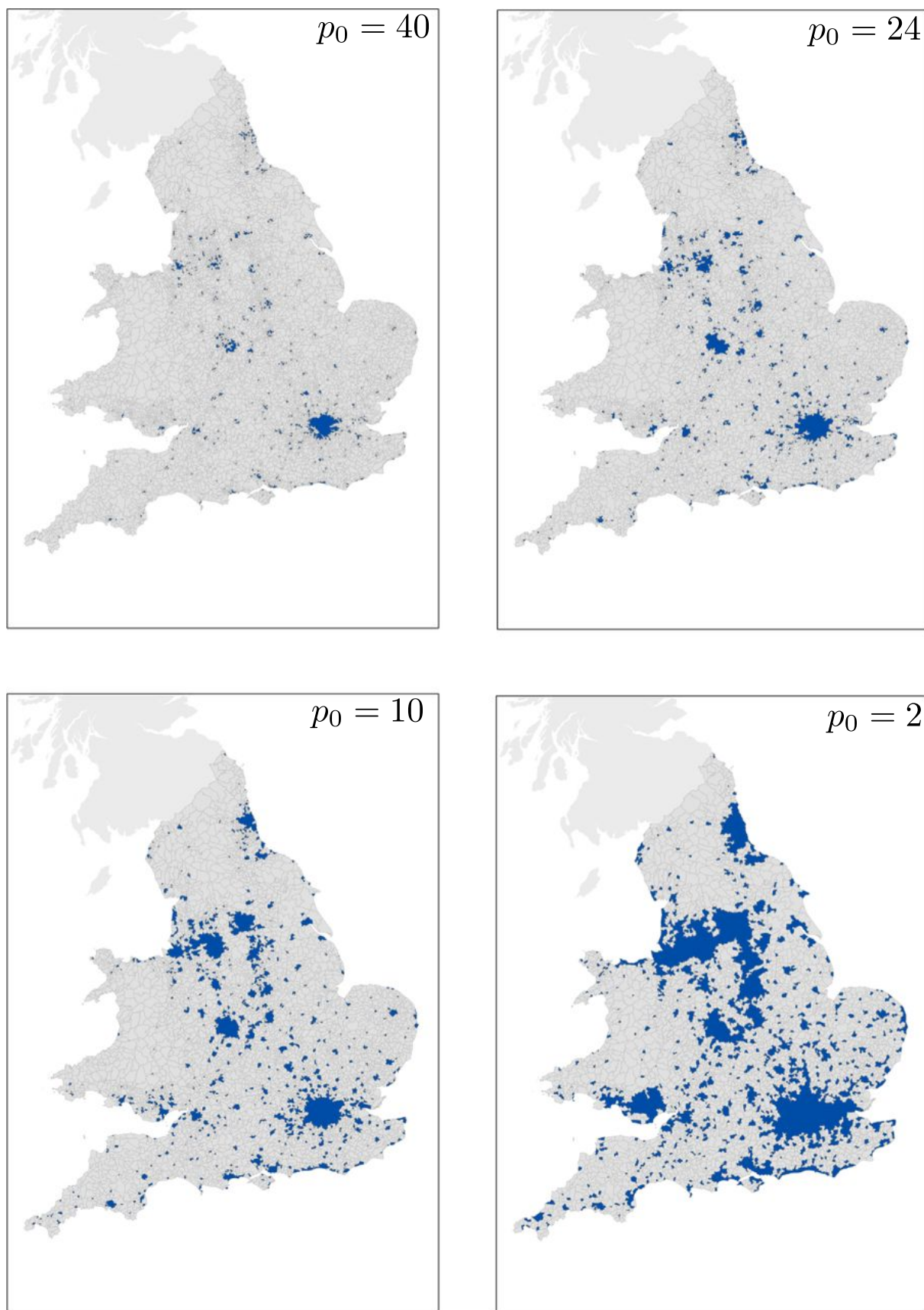


Figura 4 – Efeito da variação do parâmetro de densidade populacional na formação de aglomerados urbanos. Adaptado de (ARCAUTE *et al.*, 2015).

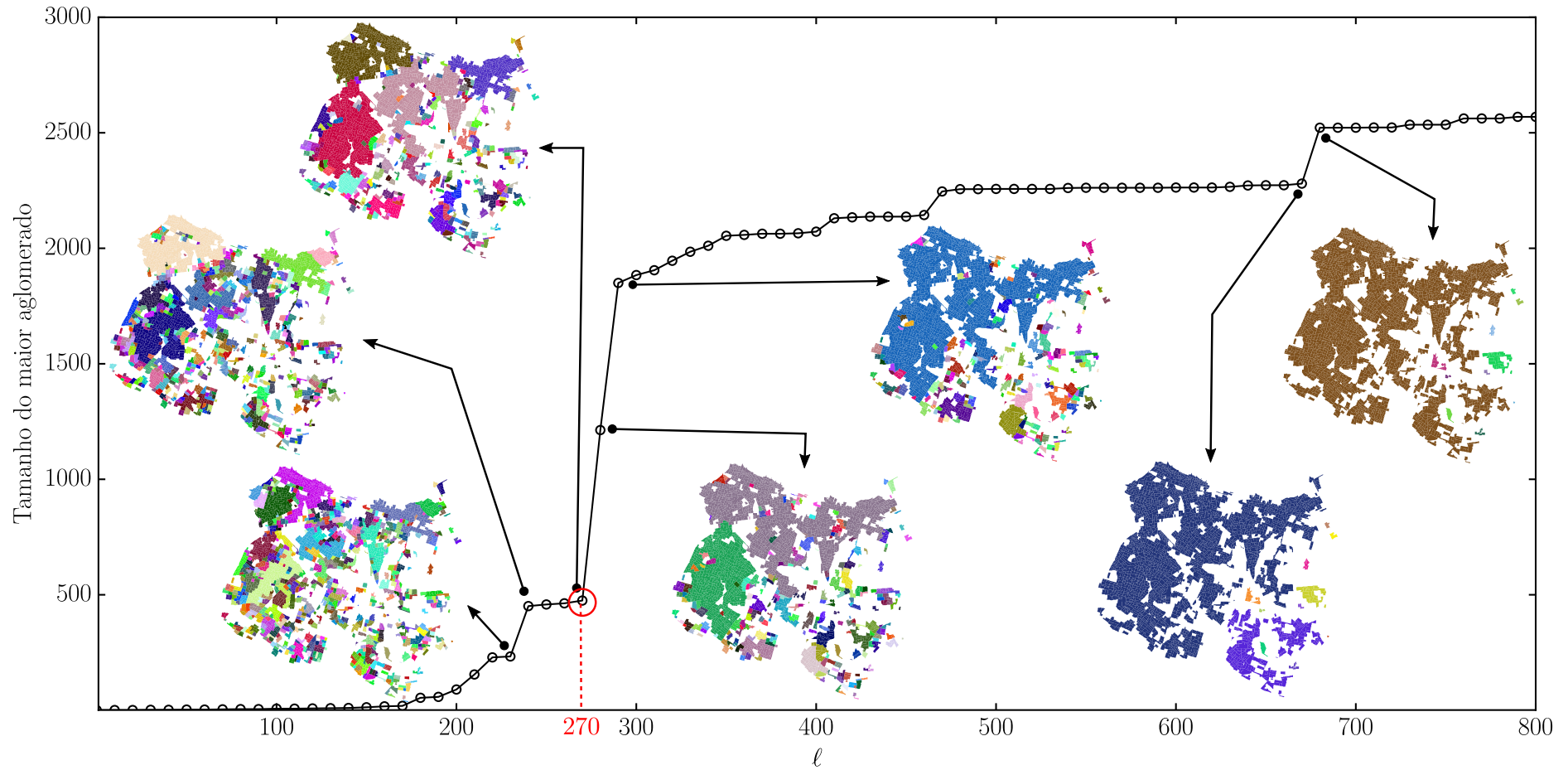


Figura 5 – **Percolação em unidades administrativas de terreno da cidade de Fortaleza.** É ilustrado o crescimento do maior aglomerado em função do incremento de um limiar de distância (ℓ). Nos mapas embutidos, cada cor representa um aglomerado construído. Foi utilizado o algoritmo de aglomeração *City Clustering Algorithm* (CCA) para agrupar setores censitários da cidade de Fortaleza. É identificada uma transição de fase ao incrementar o valor de ℓ de 270 para 280 metros, momento em que ocorre o maior salto no tamanho do maior agregado. O tamanho do maior agregado foi mensurado a partir do total de setores censitários agregados no mesmo. O CCA ainda possui um limiar de densidade populacional (D^*), neste experimento foi utilizado $D^* = 6000$ pessoas por km^2 .

Em 2014, (OLIVEIRA; ANDRADE; MAKSE, 2014) investigaram de forma mais profunda a construção de aglomerados urbanos em um estudo com cidades americanas. Foi utilizado o *City Clustering Algorithm* (CCA) para definir as fronteiras das cidades além dos seus limites administrativos. Uma cidade do CCA é definida a partir de dois parâmetros, um limiar de densidade populacional, D^* , e outro de distância, ℓ . Os autores estudaram o efeito que o crescimento populacional tinha sobre os altos índices de emissão de gases, mais precisamente foram estudadas as consequências do crescimento urbano e seus impactos no meio ambiente. É intensamente debatido se grandes cidades podem ser consideradas ambientalmente “verdes”, ou seja, se suas produtividades podem ser associadas a baixos índices de emissão de poluentes (BENTO; FRANCO; KAFFINE, 2006; KAHN, 2007; BROWNSTONE; GOLOB, 2009; DODMAN, 2009; PUGA, 2010; GLAESER; KAHN, 2010). Alguns estudos relatam que o nível de comutação das pessoas, isto é, o processo que as pessoas fazem diariamente para ir de casa para o trabalho e do trabalho para casa, tem uma grande contribuição para a relação entre as emissões de poluentes e tamanho da cidade (BENTO; FRANCO; KAFFINE, 2006; BROWNSTONE; GOLOB, 2009; GLAESER; KAHN, 2010). Como consequência, as cidades compactas seriam mais verdes, devido à atenuação da duração do percurso das pessoas durante a comutação. Oliveira *et al.* (OLIVEIRA; ANDRADE; MAKSE, 2014) mostraram que as relações alométricas entre as populações de cidades nos Estados Unidos e suas respectivas emissões de dióxido de Carbono (CO^2) são superlineares, concluindo que cidades grandes são menos verdes, isto é, poluem proporcionalmente mais do que cidades pequenas. Os autores tiveram como principal resultado a estimativa do expoente alométrico $\beta = 1.38 \pm 0.03$. A Figura 6 ilustra um resultado reproduzido a partir do trabalho de Oliveira *et al.* (OLIVEIRA; ANDRADE; MAKSE, 2014).

2.2 Crime e mobilidade humana: uma visão sociológica e criminológica

Ao longo dos anos, foram elaboradas uma série de teorias com objetivo de explicar a dinâmica da criminalidade. A teoria da Escolha Racional, por exemplo, parte do princípio de que as ações humanas são ações racionais, fruto de decisões que envolvem a consideração de diversos fatores. Neste contexto, a decisão de praticar um crime envolve a avaliação dos riscos e benefícios decorrentes de diversos fatores, alguns deles presentes no ambiente onde o indivíduo pretende consumir o ato criminoso, ainda que essa avaliação seja limitada

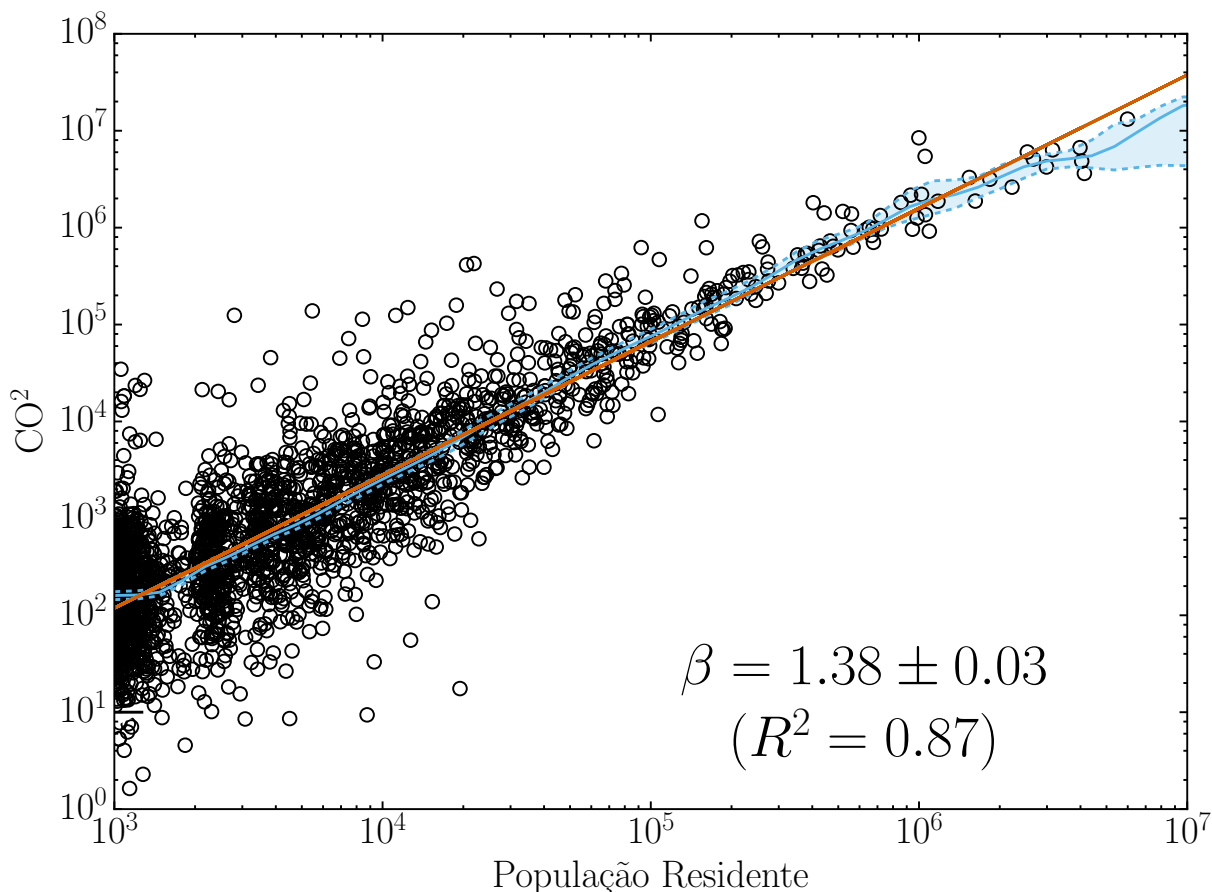


Figura 6 – **Relação alométrica superlinear observada por Oliveira e coautores.** Foi encontrado expoente alométrico $\beta = 1.38 \pm 0.03$ entre população residente e emissão de gás carbônico em cidades americanas. Os círculos pretos representam cidades americanas e a reta vermelha ilustra uma regressão linear aplicada aos dados. A linha contínua azul foi estimada utilizando o método Nadaraya-Watson (NADARAYA, 1964; WATSON, 1964) e as linhas tracejadas azuis delimitam o intervalo de confiança de 95% estimado por *bootstrap* (RACINE; LI, 2004; LI; RACINE, 2004). Ambos os eixos estão em escala logarítmica.

pelo não-conhecimento de todos os riscos envolvidos (CENTRO, ; ANSELIN *et al.*, 2000).

Outra teoria de grande relevância, especialmente para este trabalho, denominada teoria das Atividades Rotineiras, foi proposta por Cohen e Felson (COHEN; FELSON, 1979) em 1979. Os autores julgam que as atividades diárias criam a convergência no tempo e espaço de três elementos necessários para que um crime ocorra: um agressor motivado; um alvo vulnerável; e a ausência de um guardião capaz. Um agressor motivado é fruto de uma desorganização social onde, a partir de oportunidades, indivíduos cometem crimes com objetivo de maximizar seus lucros. Alvos vulneráveis podem ser pessoas, locais e/ou produtos. Se o crime é um arrombamento, por exemplo, o alvo adequado deve ser um local em que se acredita haver um objeto de valor. Por outro lado, se o crime é um roubo a

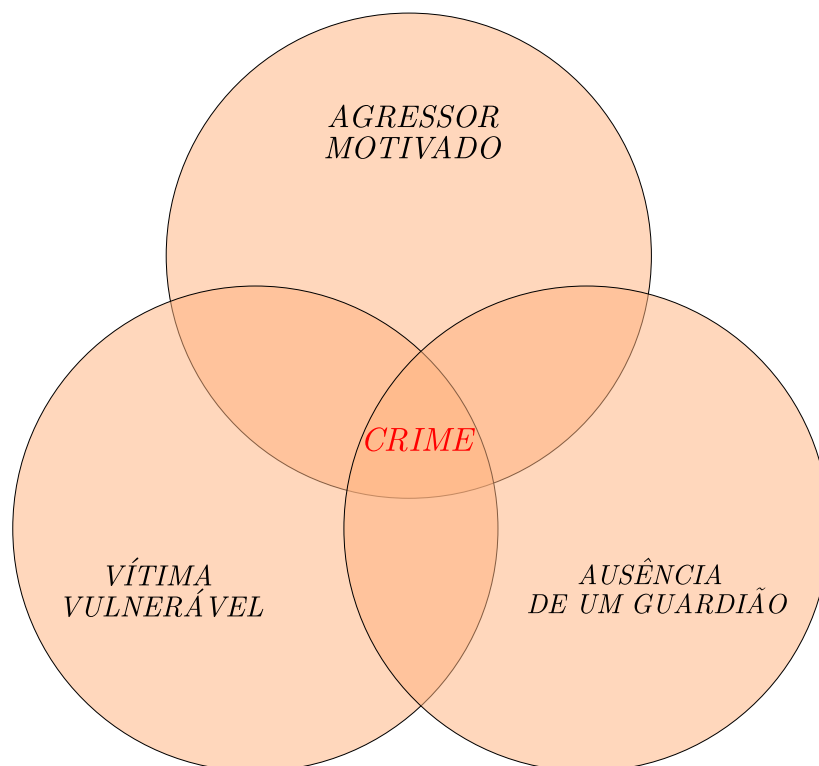
pessoa, o alvo adequado será um indivíduo que é percebido carregando objetos de valor, desprotegido e, possivelmente, sem condições de reagir. Por fim, um guardião capaz é uma pessoa ou equipamento que desencoraje a prática do crime. Esse guardião pode ser formal (policiais ou sistemas de segurança) ou informal (testemunhas). A Figura 7 ilustra o modelo gráfico clássico dessa teoria.

Motivados pela grande dificuldade que os estudos contemporâneos apresentavam para explicar as mudanças anuais nas tendências da taxa de criminalidade nos Estados Unidos, essencialmente no período pós Segunda Guerra, os autores iniciaram uma interessante discussão a respeito de como o incremento nas oportunidades de desfrutar dos benefícios da vida também aumentam a oportunidade de violações predatórias. Por exemplo, os automóveis proporcionam liberdade de movimento aos infratores, bem como aos cidadãos comuns e oferecem alvos vulneráveis para que roubos ocorram. A matrícula na faculdade, a participação da força de trabalho feminina, a urbanização, a suburbanização, as férias e os novos bens duráveis eletrônicos oferecem várias oportunidades de escapar dos confins da família enquanto aumentam o risco de vitimização predatória.

A teoria ainda argumenta que as oportunidades disponíveis são um componente importante na construção de um crime. Escolhas no estilo de vida por parte de potenciais vítimas podem criar ou reduzir oportunidades de cometer crimes para o criminoso motivado.

Alguns conceitos da teoria das Atividades Rotineiras foram aplicados por Brahtingham e Brahtingham na elaboração da teoria dos Padrões Criminais (ANSELIN; VARGA; ACS, 2000). Os autores argumentam que a relação entre ambiente e crime não deve ser avaliada sobre uma perspectiva espacial simples. Existem características do ambiente que são potencialmente favoráveis à ocorrência de eventos criminais e são percebidas por delinquentes e associadas à sua motivação pessoal para cometer crimes, essencialmente, no contexto de seus deslocamentos cotidianos. Através da interação entre percepção, cognição e comportamento, o potencial criminoso constrói padrões criminais mentais para suas ações, ajudando-o a avaliar um tipo particular de objeto, lugar ou situação, num contexto que os autores denominam Mosaico Urbano. Por esse motivo, a Criminologia Ambiental (*Environmental criminology*), como esse campo de estudo é chamado, constitui uma abordagem que envolve conhecimentos de diversas áreas (BRANTINGHAM; BRANTINGHAM, 1981).

A teoria das Janelas Quebradas explica o efeito normativo e sinalizador da



Convergência no espaço e tempo

Figura 7 – **Modelo gráfico da Teoria das Atividades Rotineiras.** São ilustrados círculos que simbolizam as rotinas de três agentes. A teoria afirma que um crime ocorre pela convergência espaçotemporal (interseção dos círculos) das rotinas desses três agentes: Um agressor motivado; uma vítima desprotegida; e a ausência de um guardião capaz de impedir a transgressão.

desordem urbana e do vandalismo sobre o crime e o comportamento antissocial. A teoria afirma que a manutenção e monitoramento de ambientes urbanos para prevenir pequenos crimes, como vandalismo e uso excessivo de bebida alcoólica, ajuda a criar uma atmosfera de ordem e legalidade, impedindo assim que pessoas que trafegam pelo espaço urbano venham a cometer mais atos ilegais. A teoria foi introduzida em 1982 pelos sociólogos James Q. Wilson e George L. Kelling ([WILSON; KELLING, 1982](#); [KELLING; COLES, 1997](#)), desde então tem sido objeto de grande debate tanto no âmbito das ciências sociais quanto no âmbito da esfera pública. A teoria foi utilizada durante muitos anos como motivação para várias reformas na política criminal norte americana.

Antes mesmo da introdução dessa teoria, o psicólogo Zimbardo organizou um experimento testando o seu conceito principal em 1969 ([ZIMBARDO, 1969](#)). Zimbardo utilizou um automóvel sem placa de licença e o estacionou ocioso em um bairro onde o espaço urbano estava deteriorado e um segundo automóvel, na mesma condição, em

outro bairro, onde não haviam sinais de deterioração. O primeiro carro foi atacado poucos minutos depois de seu abandono. Zimbardo observou que os primeiros praticantes de vandalismo a chegar eram uma família - um pai, uma mãe e um filho - que removeram o radiador e a bateria do veículo. Dentro de vinte e quatro horas de seu abandono, tudo de valor tinha sido retirado do veículo. Depois disso, as janelas do carro foram quebradas, estofados rasgados, e as crianças estavam usando o carro como um *playground*. Ao mesmo tempo, o segundo veículo permaneceu intacto por mais de uma semana até que Zimbardo se aproximou do veículo e o despedaçou deliberadamente com uma marreta. Logo depois observou-se que outras pessoas passaram também e cometer atos de vandalismo com o veículo. Zimbardo ainda observou que a maioria dos adultos vândalos, em ambos os casos, eram principalmente pessoas bem vestidas e aparentemente indivíduos respeitáveis, muitas vezes vindos de outras regiões da cidade. Acredita-se que, em um bairro cujo o espaço urbano é deteriorado, onde é predominante a presença de propriedades abandonadas, por exemplo, roubos são mais prevalentes e vandalismos ocorrem muito mais rapidamente. Eventos semelhantes podem ocorrer em qualquer comunidade civilizada quando as barreiras comunais - o sentido de respeito mútuo e obrigações de civilidade - são apequenadas por ações que sugerem apatia.

Após a criação da teoria das Janelas Quebradas e diante da constatação recente de que os estilos de vida das pessoas influenciam na ocorrência de crimes (COHEN; FELSON, 1979), em 1984 (BRANTINGHAM; BRANTINGHAM, 1984) foi fortalecida a necessidade de investigar a movimentação das pessoas. Na criminologia é estabelecido que os criminosos não se envolvem em crimes em áreas distantes do seu local de residência (BRANTINGHAM; BRANTINGHAM, 1984). É extensa a lista de estudos que têm, consistentemente, demonstrado que, em média, os infratores residem a uma distância de duas milhas das áreas onde cometem seus crimes (GROFF; MCEWEN, 2012). Esse fenômeno é descrito como Degradação na Distância do Crime, pois na medida que a distância entre a residência de um agressor e um local - que propicie oportunidades de cometer crimes - aumenta, o número de crimes cometidos pelo infrator diminui. De acordo com a pesquisa, esse padrão é resultado da relutância dos infratores em viajar para áreas que não conhecem (BRANTINGHAM; BRANTINGHAM, 1981), pois as mesmas proporcionariam um incremento nas chances de apreensão. Embora destinado a explicar padrões de mobilidade dos criminosos, a degradação na distância do crime encontrou também alguma validade na explicação dos padrões de vitimização. Estudiosos que examinaram os padrões de mobilidade das vítimas, de fato, descobriram que a vitimização

(semelhante aos infratores) tende a ocorrer em áreas próximas da residência do indivíduo vítima (BULLOCK, 1955; CAYWOOD, 1998; MESSNER; TARDIFF, 1985).

A partir da degradação na distância do crime, Pizarro *et al.* (PIZARRO; CORSARO; YU, 2007) decidiram examinar os padrões de mobilidade das vítimas de homicídios e dos infratores. A motivação para tal estudo veio a partir da observação de que existiam algumas limitações na literatura até então, pois poucos estudos examinavam os padrões de mobilidade das vítimas e dos infratores (BULLOCK, 1955; CAYWOOD, 1998; GROFF; MCEWEN, 2012; MESSNER; TARDIFF, 1985; POKORNY, 1965; RAND, 1986; TITA; GRIFFITHS, 2005). Basicamente, Pizarro *et al.* estavam interessados em responder três questões de pesquisa relacionadas a homicídios:

- (i) A distância percorrida por suspeitos e vítimas a partir de suas respectivas residências para o local do incidente varia de acordo com o fato que motivou o homicídio?
- (ii) A razão pela qual as vítimas e suspeitos de homicídio viajam para o local do incidente variam de acordo com o tipo de motivo de homicídio?
- (iii) Que características da vítima e suspeito predizem significativamente a distância percorrida da residência para a localização do incidente?

As análises dos autores sobre os dados da unidade de homicídios do Departamento de Polícia de Newark, mostraram que existem diferenças estatisticamente significativas entre os tipos de homicídios em termos de duração das viagens das vítimas e dos suspeitos.

Ainda a respeito de teorias criminológicas, a teoria da Vitimização Repetida (*Repeat Victimization*) (LAURITSEN; QUINET, 1995) também é de grande relevância. De acordo com muitas das suas definições, na repetição da vitimização, ou revitimização, o mesmo tipo de incidente criminal é experienciado pela mesma vítima, - ou virtualmente a mesma - ou alvo, dentro de um período de tempo específico. Um alvo considerado "virtualmente" o mesmo, pode ser representado por duas ou mais pessoas distintas, que estão conectadas por um mesmo contexto, como por exemplo, trafegar por um determinado local, portando um mesmo objetivo de valor, na mesma faixa de horário. Uma característica crítica e consistente da repetição da vitimização é que as infrações repetidas ocorrem rapidamente - muitas repetições ocorrem dentro de uma semana da ofensa inicial, e algumas até ocorrem dentro de 24 horas. Um estudo inicial sobre essa teoria mostrou o maior risco

de um roubo repetido foi durante a primeira semana após um roubo inicial (WARTELL; VIGNE, 2004).

Em 1995, Lauritsen e Quinet (LAURITSEN; QUINET, 1995) expandiram os conhecimentos existentes sobre a vitimização, descrevendo os padrões temporais de risco e desenvolvendo e testando modelos explicativos do vínculo entre os riscos passados e futuros. As análises baseadas em dados de painel do *National Youth Survey* suportam a dependência do estado e as interpretações de heterogeneidade da correlação no risco ao longo do tempo. Em outras palavras, a vitimização prévia prevê o risco futuro, em parte, porque altera algo sobre o indivíduo, e porque indica uma propensão não mensurada para a vitimização que persiste ao longo do tempo. As implicações teóricas desses achados, incluindo a viabilidade de uma perspectiva de rotulagem da vítima, foram discutidas no trabalho.

Mais recentemente, em 2008, Daigle *et al.* (DAIGLE; FISHER; CULLEN, 2008) perceberam um grau significativo de repetição em crimes de violência contra mulheres americanas em uma análise sobre dois conjuntos de dados de nível nacional. Os autores observaram que uma pequena proporção de mulheres da faculdade são vítimas de uma grande proporção de violências sexuais. Também foi constatado que as mulheres são mais propensas a sofrer uma repetição de vitimização sexual do que repetir incidentes de violência. Observou-se que a repetição da vitimização tende a acontecer no mesmo mês da vitimização inicial, e o próximo tipo de vitimização mais provável é, de longe, do mesmo tipo. Os autores ainda mostram que, entre as mulheres vitimadas, a repetição da vitimização é uma experiência comum, atingindo entre 14% e 26% delas durante um ano letivo. De maneira adicional é mostrado que a repetição da vitimização ocorre rapidamente, com o risco de outro pico de vitimização no tempo imediatamente após a vitimização inicial e, em seguida, diminuindo ao longo do tempo. Por fim, os autores reforçam que a repetição da vitimização, é pouco compreendida e não é sistematicamente abordada por programas de prevenção sexual ou de violência.

2.3 Estimação de padrões de mobilidade

Recentemente se percebeu um considerável crescimento na quantidade de artigos científicos que fazem uso de dados de mobilidade humana para estudar os mais diversos fenômenos. Para prever, desde a disseminação de vírus humanos e eletrônicos, até fazer

planejamento urbano e gerenciamento de recursos em comunicação móvel, mostrou-se ser fundamental a utilização de dados precisos de mobilidade. Apesar de ainda ser limitado o acesso a esses dados, devido a, essencialmente, questões de privacidade, o avanço tecnológico e, principalmente, o considerável incremento no número de sensores digitais, permite que, nos dias de hoje, alguns cientistas estudem a mobilidade das pessoas. Atualmente, observa-se que as informações mais detalhadas a respeito desse tipo de dado são coletadas por operadoras de telefonia móvel (GONZALEZ; HIDALGO; BARABASI, 2008; SONG *et al.*, 2010; HIDALGO; RODRIGUEZ-SICKERT, 2008; EAGLE; PENTLAND; LAZER, 2006; GONZÁLEZ; LIND; HERRMANN, 2006; EAGLE; PENTLAND; LAZER, 2009; LAMBIOTTE *et al.*, 2008), no entanto são inúmeros os trabalhos que utilizam dados de *survey* (LIANG *et al.*, 2013) e bilhetagem eletrônica (GORDILLO, 2006; CAMINHA *et al.*, 2016a; CAMINHA *et al.*, 2016b) para compreender fenômenos relacionados à mobilidade das pessoas.

A respeito da possibilidade de se inferir padrões de mobilidade através de dados de dispositivos móveis, Gonzalez *et al.* (GONZALEZ; HIDALGO; BARABASI, 2008), em 2008, estudaram a trajetória de 100000 usuários de telefones celulares anônimos, cuja posição foi monitorada por um período de seis meses. Foi constatado que, em contraste com as trajetórias aleatórias preditas por modelos como *Lévy Flight* e *Random Walk* (BROCKMANN; HUFNAGEL; GEISEL, 2006), as trajetórias humanas mostram um alto grau de regularidade temporal e espacial, sendo cada indivíduo caracterizado por uma distância de viagem independente do tempo e uma probabilidade significativa de retornar a alguns locais altamente frequentados. Os padrões individuais de viagem convergem em uma única distribuição de probabilidade espacial, indicando que, apesar da diversidade dos dados históricos de viagem, os seres humanos seguem padrões reproduzíveis simples. Os autores argumentam que esta semelhança inerente nos padrões de viagem poderia impactar em todos os fenômenos impulsionados pela mobilidade humana, tais como prevenção de epidemias e planejamento urbano.

O trabalho de Gonzalez *et al.* (GONZALEZ; HIDALGO; BARABASI, 2008) inspirou outras produções científicas, sempre objetivando prever a mobilidade das pessoas. Nesse aspecto, destaca-se o trabalho de Chaoming Song *et al.* (SONG *et al.*, 2010) que exploraram os limites da previsibilidade na dinâmica do deslocamento humano. Os autores estudaram padrões de mobilidade de usuários de telefones celulares anônimos e ao medir a entropia da trajetória de cada indivíduo, foi encontrado que é possível potencialmente

prever 93% da mobilidade de usuários utilizando dados históricos de telefonia móvel.

Após se perceber que é possível identificar padrões claros de deslocamento a partir de dados de telefonia móvel, uma série de pesquisadores buscaram compreender as relações sociais de indivíduos a partir de padrões de mobilidade. Nesse aspecto é relevante o trabalho de Hidalgo e Rodriguez (2008) (HIDALGO; RODRIGUEZ-SICKERT, 2008), que definiram e mediram a persistência de laços de relacionamento em um período de um ano usando dados de atividade de todas as chamadas de voz realizadas por uma operadora de telefonia móvel de um país industrializado. Foi construída uma rede de relacionamentos e mostrado que a persistência dos laços depende de características topológicas dessa rede. Mais precisamente, os autores mostraram que os laços persistentes tendem a ser recíprocos e são mais comuns para pessoas com baixo grau (ALBERT; BARABÁSI, 2002) e coeficiente de agrupamento alto (HOLLAND; LEINHARDT, 1971).

Ainda em 2008, Lambiotte *et al.* (LAMBIOTTE *et al.*, 2008), detectaram um padrão espacial de relacionamento entre pessoas a partir de dados de mobilidade. Mais precisamente, os autores mostraram que a probabilidade de dois usuários manterem uma relação, segue um modelo de gravidade (ANDERSON; WINCOOP, 2003), ou seja, diminui como d^{-2} , onde d é a distância entre esses usuários. Foram utilizados dados de uma empresa de telefonia móvel, que possuía até o momento da pesquisa 2.5 milhões de clientes e 810 milhões de comunicações (chamadas telefônicas e mensagens de texto) durante um período de seis meses.

Em 2009, Eagle *et al.* (EAGLE; PENTLAND; LAZER, 2009) formularam a seguinte hipótese: Os dados coletados de telefones celulares têm o potencial de fornecer uma visão sobre a dinâmica dos relacionamentos das pessoas, revelando organizações, comunidades e, potencialmente, sociedades. Os autores validaram sua hipótese mostrando que é possível inferir, com precisão, 95% das amizades com base apenas nos dados de operadoras de telefonia móvel. O autores validaram as amizades inferidas comparando seus resultados com dados de relatórios auto declarados dos usuários. Foi ainda mostrado que os pares de amigos demonstram padrões temporais e espaciais independentes de sua proximidade física e padrões de chamada.

Dados de telefonia móvel são possivelmente os mais precisos para estimar padrões de mobilidade. Diante da dificuldade de obter esse tipo de dado, uma série de pesquisadores buscaram estudar dados de GPS (*Global Positioning System*) e bilhetagem (cobrança

automatizada) de ônibus, com o objetivo, muitas vezes, de estimar os mesmos padrões de movimentação das pessoas. Nesse contexto, Gordillo ([GORDILLO, 2006](#)) analisou dados de bilhetagem e GPS de ônibus em 2006. O resultado da sua pesquisa é uma metodologia para descobrir as origens e destinos específicas para diferentes períodos de tempo, dias da semana e estações do ano de cidadãos de uma grande metrópole. Uma das grandes vantagens de se estimar padrões de mobilidade a partir da análise de dados de cobrança automática é que, essas análises, devem ser capazes de obter uma visão detalhada, contínua e precisa do comportamento da mobilidade das pessoas, por uma fração do custo normalmente obtido em pesquisas baseadas em coleta de dados via *survey* ([LAM; LO, 1991](#); [REMYA; MATHEW, 2013](#)).

Ainda a respeito do problema de estimativa de origens e destinos, enquanto Remya e Mathew (2013) ([REMYA; MATHEW, 2013](#)) utilizaram redes neurais artificiais ([WANG, 2003](#); [PARK *et al.*, 1991](#); [HSU; GUPTA; SOROOSHIAN, 1995](#)) para compreender a demanda de redes de ônibus hipotéticas, Hua-ling (2007) ([HUA-LING, 2007](#)) analisou o impacto de congestionamentos de trânsito na estimativa da dinâmica das origens e destinos das pessoas. Hua-ling fez uso de dados de ocupação de vias e avaliou os trechos de uma cidade e o seu grau de ocupação para propor uma metodologia capaz de estimar as origens e destinos mais frequentes da cidade.

Em 2016, Caminha *et al.* ([CAMINHA *et al.*, 2016a](#)) utilizaram dados de bilhetagem e GPS de ônibus para estimar origens e destinos de usuários do sistema de ônibus de uma grande metrópole. Em um processo de caracterização da rede de ônibus baseado no cálculo de métricas de redes complexas ([ALBERT; JEONG; BARABÁSI, 2000](#); [STROGATZ, 2001](#); [ALBERT; BARABÁSI, 2002](#)), os autores sugeriram a criação de linhas expressas para levar passageiros entre partes de rede que aparentemente possuíam gargalos. Ainda em 2016, os mesmos autores, em outro trabalho ([CAMINHA *et al.*, 2016b](#)), utilizaram as origens e destinos estimadas para reconstruir as rotas dos usuários de ônibus. Em um estudo mais profundo a respeito da oferta e da demanda de uma rede de ônibus, os autores apresentaram uma metodologia para encontrar gargalos microscópicos e desequilíbrios entre oferta e demanda em uma rede de transporte público. Na discussão final dos trabalhos, os autores ainda alertam para o potencial que a reconstrução das rotas dos usuários tem na compreensão da dinâmica de espalhamento de epidemias, como a dengue ([NOGUEIRA *et al.*, 2001](#)).

A respeito disso, é digno de destaque que a mobilidade humana também tem

sido utilizada para explicar a propagação de vírus humanos e eletrônicos. Colizza *et al.* (COLIZZA *et al.*, 2007) mostraram que a avaliação do transporte aéreo é crucial no cálculo da probabilidade de ocorrência de surtos globais de doenças. Já Hufnagel *et al.* (HUFNAGEL; BROCKMANN; GEISEL, 2004) apresentaram um modelo probabilístico que descreve a disseminação mundial de doenças infecciosas e demonstram que uma previsão da propagação geográfica de epidemias é de fato possível. Seu modelo combina uma dinâmica de infecção estocástica local entre indivíduos com transporte estocástico em uma rede mundial. Os autores levaram em conta o tráfego nacional e internacional de aviação civil. Wang *et al.*, em 2009, (WANG *et al.*, 2009), modelaram a mobilidade de usuários de telefones celulares para estudar os padrões de propagação fundamentais que caracterizam um surto de vírus eletrônico móvel. Os autores descobriram que, embora os vírus *bluetooth* possam chegar a todos os aparelhos suscetíveis com o tempo, eles se espalham lentamente devido à mobilidade humana, oferecendo amplas oportunidades para implantar um *software* antivírus.

Em 2011, Andresen (ANDRESEN, 2011) introduziu o conceito de população ambiente, que é uma estimativa média, por período de 24 horas, da quantidade de pessoas em uma determinada área. Andresen utilizou dados do Laboratório Nacional de Oak Ridge para estimar uma taxa denominada população em risco. A taxa em questão mensurava o risco que vítimas corriam ao estar em um determinado local de uma grande metrópole. Esse risco era maior ou menor dependendo do tipo de crime que era correlacionado com essa população ambiente.

Em 2015, Malleson e Andresen (MALLESON; ANDRESEN, 2015) publicaram um artigo de grande relevância, especialmente para este trabalho. Os autores se interessaram por estudar a taxa de criminalidade, uma estatística usada para resumir o risco de eventos criminosos. Motivados por trabalhos anteriores que mostraram que a escolha do denominador apropriado para medir essa taxa não é trivial (ANDRESEN, 2011) e pelo fato de que população residente é a medida populacional mais comumente utilizada para mensurar risco, Malleson e Andresen mostraram que população flutuante é mais adequada para mensurar o risco para alguns tipos de crimes, *e.g.*, roubos e furtos.

Malleson e Andresen utilizaram dados *crowdsourced* - especificamente, da rede social *Twitter* - na cidade de Leeds (Inglaterra) para medir a população em risco considerando os crimes violentos. Diante da dificuldade constatada de se obter dados reais de mobilidade humana, os autores tiveram como primeira contribuição mostrar que população flutuante

pode ser estimada indiretamente a partir de dados de redes sociais. A principal contribuição dos autores foi mostrar que diferentes padrões espaciais de taxas de criminalidade surgem quando se utilizam duas medidas de população em risco diferentes: a população residente (medida pelo censo 2011 do Reino Unido); e a população flutuante (medida pelo número de mensagens do *Twitter*). Possivelmente seu resultado mais relevante esteja relacionado a análise do centro comercial da cidade de Leeds. Embora esta área tenha um grande volume de crimes violentos, a mesma não exibe uma taxa estatisticamente significativa quando a população flutuante é usada para medir a população em risco. Consequentemente, apesar do alto volume de crimes violentos, não há uma elevação estatisticamente significativa no risco dessa região. Os autores ainda reforçam que nenhuma conclusão desse tipo, em relação ao centro da cidade, teria sido alcançada utilizando apenas a população residente.

3 Estimação de população flutuante a partir de dados de GPS e bilhetagem de ônibus

Neste capítulo será descrito o processo de estimativa do volume de população flutuante de diversas sub-regiões da cidade de Fortaleza. Foram utilizados dados gerados por sensores do sistema de ônibus da cidade para mensurar a quantidade média de pessoas que passam por cada setor censitário da cidade no decorrer de um dia útil. Com base em heurísticas encontradas no estado da arte de Engenharia do Transporte, foram estimadas origens e destinos dos usuários do sistema e reconstruídos seus caminhos completos pela rede de ônibus. A partir dessas estimativas foi mensurado o volume de população flutuante nos setores censitários de Fortaleza.

3.1 Contexto

O sistema de mobilidade urbana de uma grande cidade é composto por várias redes interligadas, como redes de metrô, ônibus, bicicletas, táxis e veículos particulares. Os ônibus são o principal meio de transporte para a maioria dos habitantes da cidade de Fortaleza, sendo utilizados por $\sim 700k$ pessoas diariamente. De acordo com o IBGE ¹, Fortaleza tem $\sim 556k$ carros e $\sim 265k$ motocicletas. Supondo que o limite superior para o deslocamento diário utilizando carros e motocicletas seja de ($\sim 821k$), o total de deslocamentos em Fortaleza é $\sim 1.5M$. Portanto, o sistema de ônibus representa pelo menos $\sim 46\%$ da mobilidade urbana dentro de Fortaleza e são conhecidas as rotas de pelo menos $\sim 19\%$ do total de deslocamentos. Levando em conta esse fato, é assumido que a mobilidade urbana dentro da cidade pode ser representada pelo uso do sistema de ônibus. Assim, as trajetórias dos usuários de ônibus serão utilizadas para inferir o volume de população flutuante nos diferentes pontos da cidade.

3.2 Conjuntos de dados de mobilidade

Para compreender o fluxo de pessoas em toda a cidade, foram utilizados quatro conjuntos de dados espaço-temporais relacionados à rede de ônibus de Fortaleza, que são:

¹ <http://www.cidades.ibge.gov.br/v3/cidades/municipio/2304400>

- (i) Paradas de ônibus.
- (ii) Rotas de ônibus.
- (iii) *Global Positioning System* (GPS).
- (iv) Bilhetagem de ônibus (Programa do Bilhete Único).

No total, Fortaleza possui 4783 paradas de ônibus atendidas por 2034 ônibus que circulam em 359 rotas (linhas de ônibus) diferentes. Cada ônibus da cidade é equipado com um sistema de GPS, que registra a posição de ônibus em intervalos de aproximadamente trinta segundos. Em um dia útil, são registrados cerca de quatro milhões de coordenadas geográficas para os ônibus de Fortaleza.

O modelo de transporte integrado adotado pela prefeitura de Fortaleza, nomeado Bilhete Único, permite que os usuários registrados façam uma transferência de ônibus em qualquer lugar da cidade, contanto que seja dentro de duas horas desde a última validação de seu cartão. O processo de validação do Bilhete Único é entendido como o ato de o usuário deslizar o seu cartão no leitor eletrônico localizado próximo a catraca do ônibus ou a catraca de um terminal de ônibus. Geralmente, tal procedimento acontece no início da viagem, já que a catraca está próxima à entrada do ônibus em Fortaleza. Em um dia útil ocorrem, em média, 1.2 milhões de validações do Bilhete Único.

Todos os conjuntos de dados de mobilidade utilizados referem-se a duas semanas do mês de março de 2015, especificamente do dia 4 ao dia 18 de março. A seguir serão detalhadas estimativas de mobilidade dos usuários, buscando-se estimar um comportamento médio de mobilidade de um dia útil na cidade de Fortaleza. Nos dias úteis a rede de ônibus tem seu pico de uso (CAMINHA *et al.*, 2016a; CAMINHA *et al.*, 2016b; FURTADO *et al.*, 2017).

3.3 Estimativa e validação de uma matriz origem-destino

Foi estimada uma matriz de origem-destino dos usuários de ônibus de Fortaleza através de heurísticas retiradas do estado da arte de Engenharia do Transporte. É assumido que o ponto de origem de um usuário é o local da sua primeira validação diária (GORDILLO, 2006; LAM; LO, 1991). Utilizando dados do dia onze de março, para cada usuário foi recuperado o local da sua primeira validação no dia (REMYA; MATHEW, 2013; HUA-

LING, 2007). Objetivando minimizar o problema de que um usuário pode permanecer durante boa parte da viagem na parte de trás do veículo, fazendo assim a validação do seu bilhete em um ponto distante da sua origem, foram analisados dados do seu Bilhete Único durante duas semanas (uma semana antes e uma semana depois), e foi assumido como origem do mesmo o ponto de validação mais próximo do início da linha de ônibus que ele utilizou. De forma similar, um ponto de destino de um usuário pode ser assumido como o local da sua última validação no dia, sendo verificado se o local se repete no intervalo de duas semanas (também uma semana antes e uma semana depois) do dia onze (GORDILLO, 2006; LAM; LO, 1991).

Ao todo, foram estimadas origens e destinos de aproximadamente 40% dos usuários do sistema de ônibus de Fortaleza. É digno de destaque que essa amostra é significativamente maior que amostras extraídas por técnicas de *survey*, onde normalmente são entrevistados entre 0.5% e 1% dos usuários.

Foi ainda realizada uma validação espacial da amostra estimada. Espera-se que o método de estimativa garanta, com certo grau de confiabilidade, que a amostra não esteja polarizada espacialmente. No caso específico da técnica utilizada nesta tese, é desejável que os embarques nos ônibus, usados nas estimativas, sejam proporcionais (considerando cada parada de ônibus) ao número total de embarques. Mesmo tendo em vista que as heurísticas utilizadas garantiriam mais de 90% de acerto nas origens e destinos estimadas (GORDILLO, 2006; LAM; LO, 1991; REMYA; MATHEW, 2013; HUA-LING, 2007), não havia qualquer garantia de que a amostra extraída não fosse polarizada. Para validar espacialmente a amostra, verificou-se a correlação entre os embarques utilizados para estimar os pares origem-destino e o número total de embarques em pontos de ônibus em Fortaleza. A partir da equação:

$$Y = aX^\rho, \quad (3.1)$$

onde X representa o número total de embarques nos pontos de ônibus, Y representa o número de embarques utilizados nas estimativas e a é uma constante de normalização, uma relação linear ou isométrica é evidenciada pelo valor do expoente $\rho \approx 1$, indicando que, proporcionalmente, os embarques utilizados nas estimativas são equivalentes ao número total de embarques em pontos de ônibus, constatando que as amostras foram extraídas de forma aleatória. Foi encontrado $\rho = 0.95 \pm 0.02$, a Figura 8 ilustra a regressão aplicada aos dados.

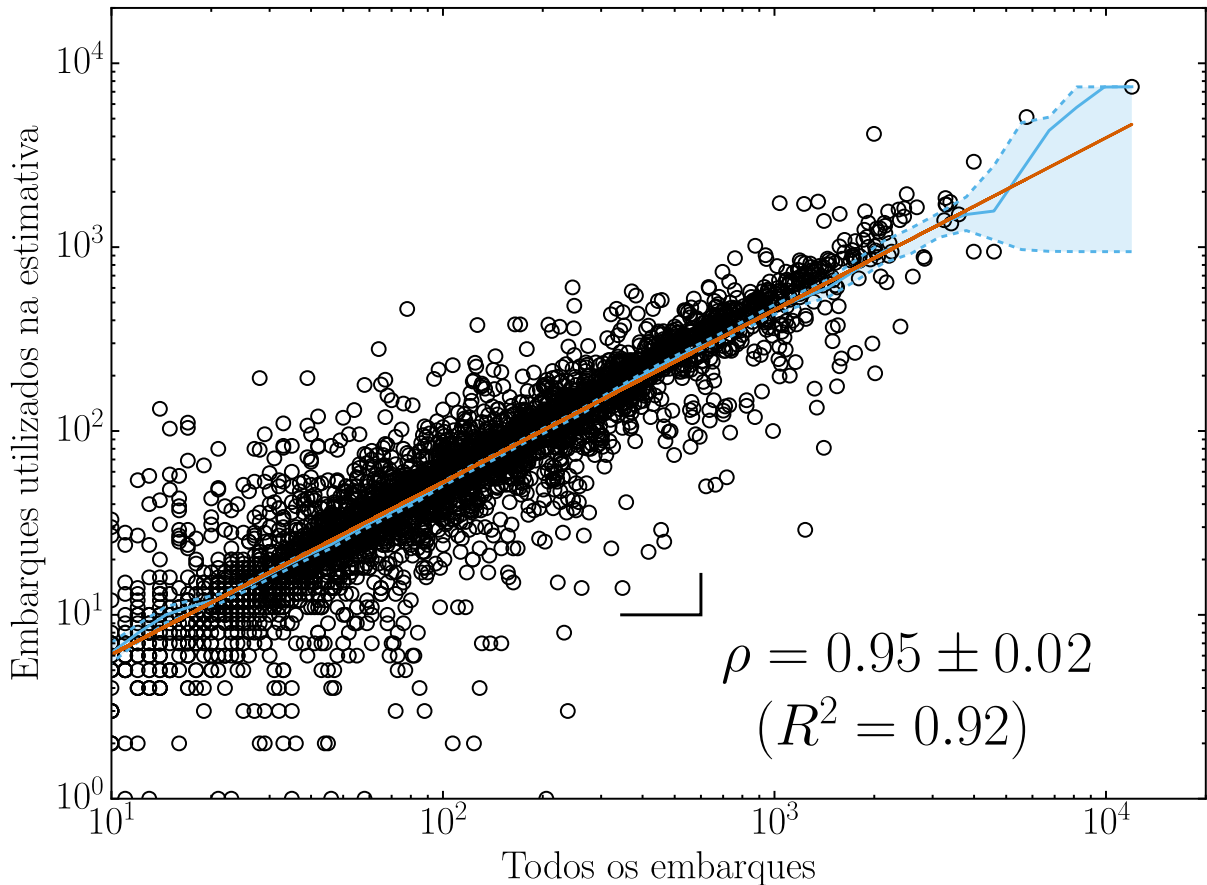


Figura 8 – **Validação estatística das origens e destinos estimadas.** Cada círculo preto representa uma parada de ônibus. A linha vermelha representa a regressão linear aplicada aos dados, a linha contínua azul foi estimada pelo o método Nadaraya-Watson (NADARAYA, 1964; WATSON, 1964) e as linhas tracejadas azuis delimitam o intervalo de confiança de 95% estimado por *bootstrap* (RACINE; LI, 2004; LI; RACINE, 2004). Uma relação isométrica foi encontrada, com expoente $\rho = 0.95 \pm 0.02$ e $R^2 = 0.92$. O R^2 é o coeficiente de determinação da regressão (RAWLINGS; PANTULA; DICKEY, 2001; MONTGOMERY; PECK; VINING, 2015).

3.4 Reconstrução das trajetórias dos usuários

As trajetórias dos usuários de ônibus são definidas pela composição das rotas dos ônibus que os levam entre seus pares origem-destino. O Algoritmo 1 mostra o pseudocódigo de estimativa da rota de um usuário. Em resumo, o algoritmo inicialmente busca um caminho direto entre o par origem-destino (do ponto n_o até o ponto n_d), baseando-se na rota da linha de ônibus (L_0) que o usuário utilizou. Caso esse caminho direto exista, é definido como caminho do usuário o trecho da rota da linha L_0 de n_o a n_d . Caso não exista um caminho direto, busca-se um terminal que tenha alguma linha que o leve até seu destino estimado.

No contexto desta tese, um caminho não direto, ou indireto, pode ser definido como um caminho em que é necessário realizar um processo de baldeação, trocando de veículo antes para chegar a um destino. Em Furtado *et al* (FURTADO *et al.*, 2017) foi mostrado que a estrutura da rede de ônibus de Fortaleza permite que aproximadamente 40% dos seus usuários façam um caminho direto da sua origem até seu destino, considerando que o mesmo aceite se deslocar por até 500 metros a pé, tanto na origem quanto no destino.

3.5 Estimação de população flutuante a partir de trajetórias de usuários de ônibus

Após a estimativa dos caminhos dos usuários dentro da rede de ônibus, foram modeladas as suas trajetórias como um grafo direcionado $G(V, E)$, onde V e E são o conjunto de vértices, v , e arestas, e , respectivamente. Uma aresta, e , entre dois vértices v_i e v_j é definida por um par ordenado (v_i, v_j) . Na abordagem adotada aqui, os vértices representam paradas de ônibus e as arestas representam a demanda de usuários de ônibus entre duas paradas de ônibus consecutivas.

A título de exemplo, a Figura 9 ilustra uma representação hipotética de duas rotas de usuários. No exemplo ilustrado essas duas rotas são combinadas para formar uma pequena rede de fluxo. Em (a) é ilustrada a rota do primeiro usuário (U_1), que visita em sequência as paradas de ônibus representadas pelos vértices v_3, v_4, v_5 e v_6 . Em (b), é ilustrada a rota de um segundo usuário (U_2), que, dentro de um ônibus, visita em sequência as paradas de ônibus representadas pelos vértices v_1, v_2, v_4, v_5, v_7 e v_8 . Por fim, em (c), é ilustrada a rede resultante da combinação das duas rotas. É possível observar que a aresta conectada por v_4 e v_5 teve seu peso incrementado por ser um trecho em comum de passagem para U_1 e U_2 .

Nesta tese, a rede de fluxo de pessoas foi construída a partir da combinação das rotas de ônibus reais de usuários que utilizaram o sistema de ônibus de Fortaleza no dia onze de março de 2015. A Figura 10, ilustra a distribuição espacial dos vértices (paradas de ônibus) dessa rede, cada círculo representa um vértice da mesma. Os vértices maiores e mais claros representam paradas de ônibus que têm maior fluxo de pessoas. Ao todo, essa rede possui 4783 vértices e 5789 arestas. Seu maior componente conexo possui 4768 vértices e essa rede só não é formada por um único componente conexo, porque existem linhas de ônibus que apenas trafegam pelo Campus do Pici (passando por 15 paradas

Algorithm 1 Algoritmo de reconstruo da rota de um usurio

```
1: procedure CONSTROIROTAUSUARIO( $n_o, n_d, L_o$ )
2:    $pathList = \{\emptyset\}$ 
3:    $pathList =$  todos os caminhos diretos entre  $n_o$  e  $n_d$  por  $L_o$ 
4:   if  $pathList$  est vazia then
5:     for each terminal  $t$  que seja um ponto vlido de baldeaco entre  $n_o$  e  $n_d$  do
6:        $path1 = getPath(n_o, t, L_o)$ 
7:        $path2 = getPath(t, n_d)$ 
8:        $pathList.add(join(path1, path2))$ 
9:     end for
10:  end if
11:  if  $pathList$  est vazia then
12:     $hashTerminalis =$  menores caminhos diretos entre cada par de terminais
13:    for each par  $(t_1, t_2)$  de terminais em  $hashTerminal$  do
14:       $path1 = getPath(n_o, t_1, L_o)$ 
15:       $path2 = hashTerminal.get(t_1, t_2)$ 
16:       $path3 = getPath(t_2, n_d)$ 
17:       $pathList.add(join(path1, path2, path3))$ 
18:    end for
19:  end if
20:  retorne o caminho com menor distncia em  $pathList$ 
21: end procedure
```

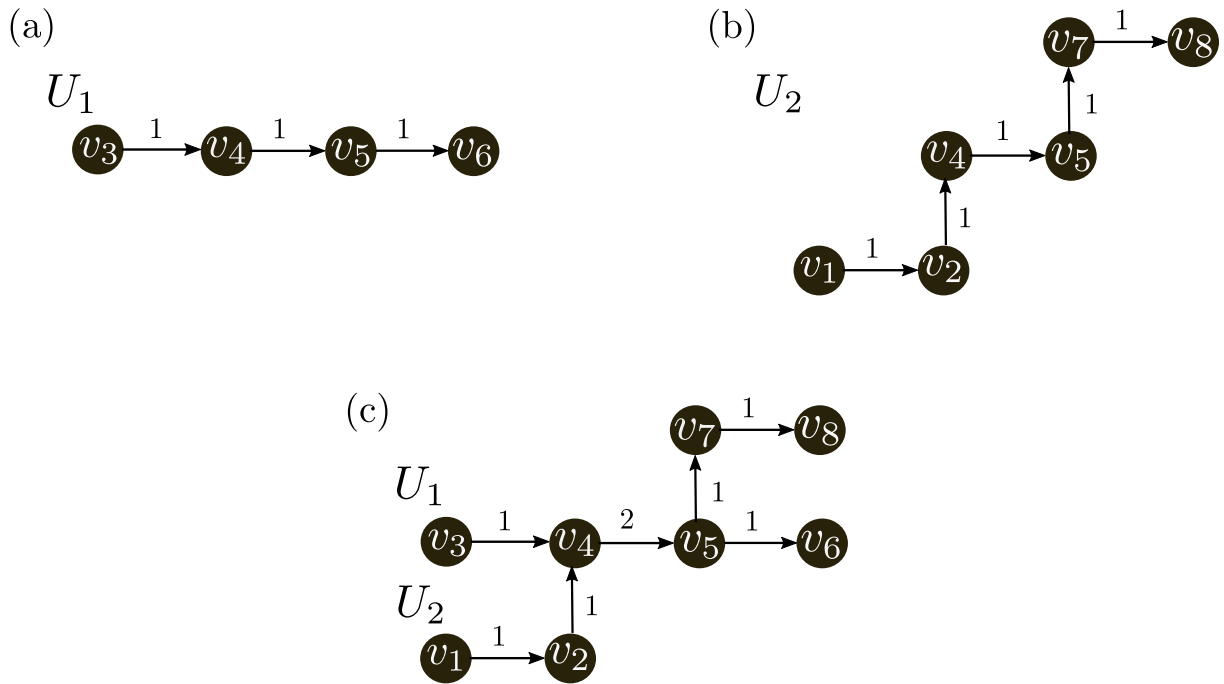


Figura 9 – **Composição das rotas dos usuários na construção de uma rede de fluxo.** Em (a) é ilustrada uma rota hipotética do usuário U_1 . Em (b) é ilustrada a rota também hipotética de um usuário U_2 . Em (c) é ilustrado como é feita a composição das rotas para construir uma rede de fluxo.

de ônibus dentro do campus), da Universidade Federal do Ceará, e nenhuma outra linha de ônibus que circula fora do campus, entra no mesmo, impedindo a conexão dos dois componentes conexos.

Na Figura 11 (a) é ilustrada a distribuição de graus dessa rede: observa-se que vértices com grau dois são os mais frequentes, são quase 3000 ao todo. Em (b) é ilustrada a distribuição de graus ponderados, sendo mais frequentes vértices com grau ponderado entre 0 e 10000, ao todo, são mais de 2500 vértices com essa característica.

Por fim, para estimar o volume de população flutuante presente em cada setor censitário, foi definida uma função, $d(v_i)$, para cada vértice v_i , como a soma dos usuários que passam por v_i . Desta forma, o volume de população flutuante, vpf , de um setor censitário, sc , é definido a partir do somatório dos valores de $d(v_i)$ para cada vértice, i , dentro de sc . Dessa forma, é possível definir formalmente vpf_{sc} como:

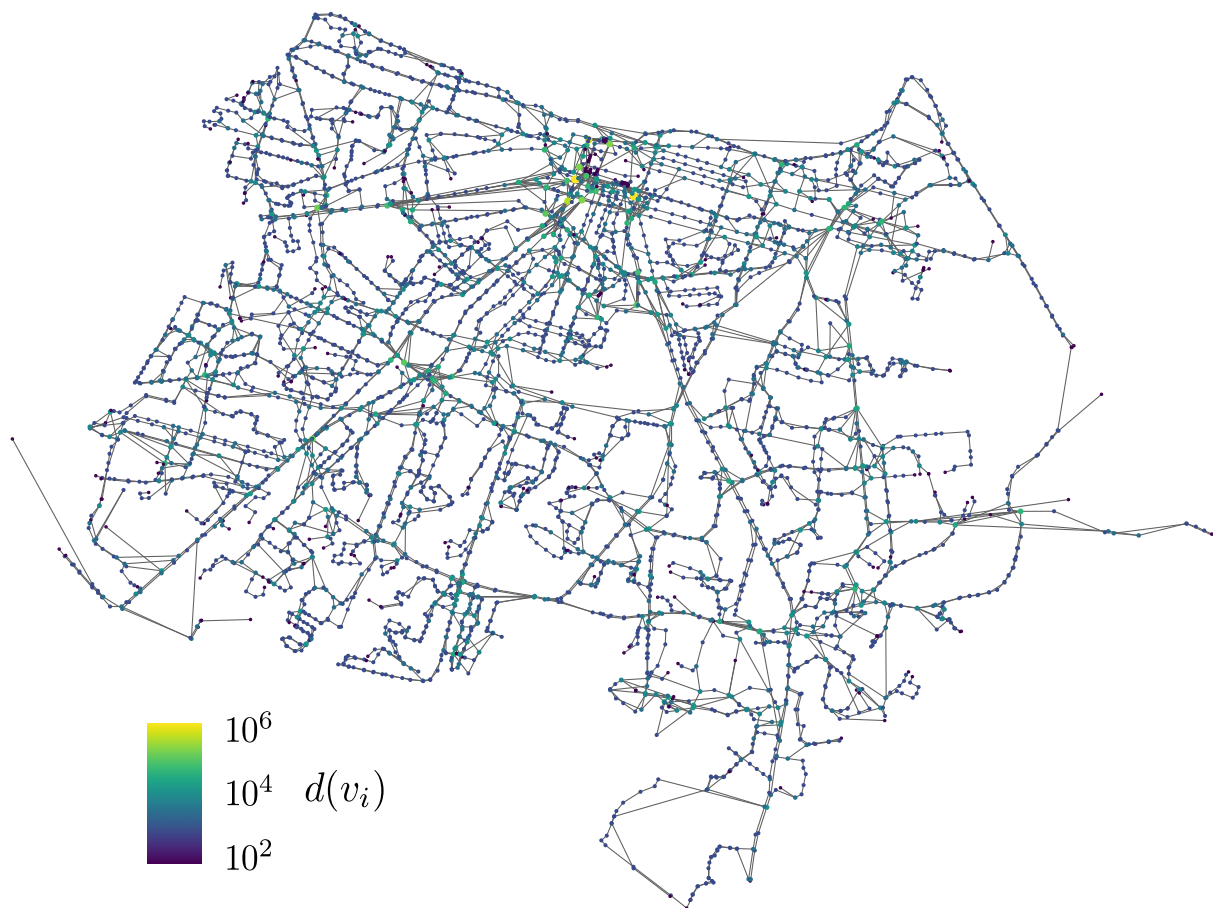


Figura 10 – **Rede de fluxo estimada.** É ilustrada a distribuição espacial dos vértices (que representam paradas de ônibus) dessa rede. Tamanho e cor dos nós são definidos pelo seu grau. Quanto maior e mais claro é o nó, mais conexões ele tem.

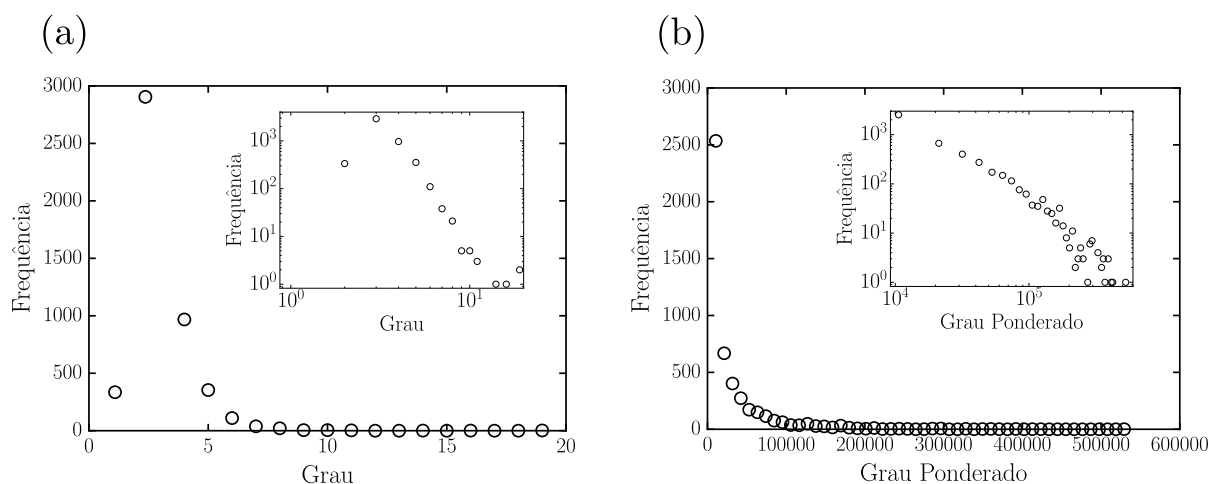


Figura 11 – **Distribuições de graus da rede de fluxo estimada.** (a) Distribuição de graus da rede. (b) Distribuição de graus ponderados: para melhor visualização essa distribuição foi gerada em 50 bins. Em (a) e (b) ainda é possível observar as suas respectivas distribuições em escala logarítmica embutidas nos gráficos.

$$vpf_{sc} = \sum_{i=1}^N d(v_i), \quad (3.2)$$

onde N é a quantidade de vértices (paradas de ônibus) presentes dentro do setor censitário sc_i .

4 Divisões de cidade para compreensão da dinâmica do crime

Neste capítulo busca-se verificar se as Leis de Escala encontradas por Bettencourt *et al.* (BETTENCOURT *et al.*, 2007) e Melo *et al.* (MELO *et al.*, 2014) em estudos intercidades podem ser constatadas também dentro de uma cidade, principalmente, utilizando divisões administrativas de terreno. Será utilizada a divisão por setores censitários, ilustrada na Figura 12. Um setor censitário é uma unidade administrativa de terreno estabelecida para fins de controle cadastral, fornecida pelo Instituto Brasileiro de Geografia e Estatística (IBGE)¹. Ao todo, Fortaleza possui 3043 setores censitários, que somam aproximadamente 2,4 milhões de habitantes, segundo o censo 2010, último realizado a nível de setores censitários no Brasil. De forma complementar, neste capítulo, também serão descritos os conjuntos de dados e variáveis utilizadas neste trabalho.

4.1 Conjuntos de dados

Neste capítulo serão estudadas quatro variáveis, que tiveram seus valores extraídos de três conjuntos de dados. A partir do primeiro conjunto de dados são obtidos os valores da variável *População Residente* (PR). Esse conjunto de dados é fornecido pelo IBGE e quantifica o número de moradores por setor censitário na cidade de Fortaleza.

A partir de um conjunto de dados de mobilidade do sistema de ônibus, detalhado no capítulo 3 desta tese, foi estimada a *População Flutuante* (PF). Para cada setor censitário foi mensurado o volume de população flutuante a partir da rede de fluxo de pessoas produzida através da análise de dados de mobilidade do sistema de ônibus de Fortaleza. PF foi mensurado pelo número de pessoas que trafegam por um setor censitário em um dia. A cidade de Fortaleza possui 2034 ônibus, que circulam por mais de 359 rotas distintas, atendendo aproximadamente 700 mil pessoas que usam diariamente o sistema de transporte público da cidade. Vale ressaltar que, no caso de Fortaleza, os ônibus ainda representam o principal meio de transporte da cidade.

Por fim, a partir do conjunto de dados de chamadas à polícia, disponibilizado

¹ disponível em <http://www.ibge.gov.br/>



Figura 12 – **Mapa de setores censitários de Fortaleza.** Esse tipo de divisão administrativa de terreno segmenta Fortaleza em 3043 sub-regiões, que possuem em média ~ 800 residentes. De uma maneira geral, os setores censitários são muito pequenos, às vezes, menores que um quarteirão. O maior setor censitário da cidade possui 7.92 km^2 , o menor possui pouco mais de 0.001 km^2 (1000 m^2).

pela Coordenadoria Integrada de Operações de Segurança (CIOPS), que possui 172332 chamadas para o serviço 190 sobre *Crimes Contra o Patrimônio* (CCP) e 97890 chamadas ao mesmo serviço sobre reclamação de *Perturbação de Sossego Alheio* (PSA)². Todas as chamadas à polícia foram feitas entre setembro de 2014 e março de 2016.

Aqui é assumido que mudanças maciças no ambiente urbano da cidade não podem ser produzidas no período de investigação (intervalo entre 4 e 6 anos). Mudanças relevantes nesse intervalo de tempo só existiriam se a sociedade estivesse enfrentando uma severa ruptura social, devido, por exemplo, a desastres naturais, graves crises econômicas ou guerras. O Apêndice II pode ser consultado para obter informações adicionais sobre todos

² disponível em <http://wikicrimes.org/dados-oficiais/crimes.csv>

os conjuntos de dados utilizados neste estudo, incluindo a URL para *download*.

4.2 Relação entre população e crime a partir de análises sobre setores censitários

Os mapas de calor nas Figuras 13(a)-13(d) fornecem a densidade local, em escala logarítmica, de PR, PF, PSA e CCP, respectivamente, em Fortaleza. Observa-se alguma correlação espacial tanto entre PR e PSA quanto em PF e CCP. Em especial, há uma evidente maior incidência de *hot spots* em (b) e (d) se comparado com (a) e (c). Além disso, no centro da cidade, destacado por círculos pretos em cada mapa, a alta densidade de PR é compatível com as altas taxas de CCP, enquanto baixas densidades de PR parecem explicar a baixa frequência de queixas PSA. Particularmente, o centro comercial de Fortaleza é uma região de característica populacional única, enquanto praticamente não há pessoas residindo no local, essa é a região da cidade com maior fluxo de pessoas. A aparente correlação espacial entre PR e PSA sugere que reclamação de perturbação de sossego é feita por residentes, possivelmente quando estão em casa, momento que é intuitivo pensar que um indivíduo deseja descansar e desta forma é mais sensível à perturbação. Vale ressaltar que os dados confirmam essa intuição: quase 80% das chamadas à polícia por PSA ocorrem entre oito horas da noite e uma hora da manhã, intervalo que a maior parte da população se encontra em casa, que representa pouco mais de 20% do tempo de um dia.

Apesar de parecer trivial sugerir que há alguma correlação entre PR e PSA, assim como entre PF e CCP a partir dos mapas de densidade ilustrados na 13, os respectivos gráficos de dispersão visíveis na Figura 14 falham em capturar a aparente correlação existente, devido à desagregação dos conjuntos dos dados de ambas populações. No presente momento, conjectura-se que tais correlações existam de fato, mas estão escondidas pelo nível de granularidade dos setores censitários. A maioria dos setores censitários tem uma área pequena, às vezes do tamanho de um quarteirão, e é provável que tal escala de granularidade seja insuficiente para capturar as correlações e, portanto, revelar o impacto da influência social sobre PSA e CCP. Adicionalmente, no caso de PR, a população tende a ser igualmente distribuída entre os setores censitários e isto impossibilita a percepção do fenômeno a nível de escala. De uma maneira geral, os setores censitários têm entre 600 e 800 residentes cada.

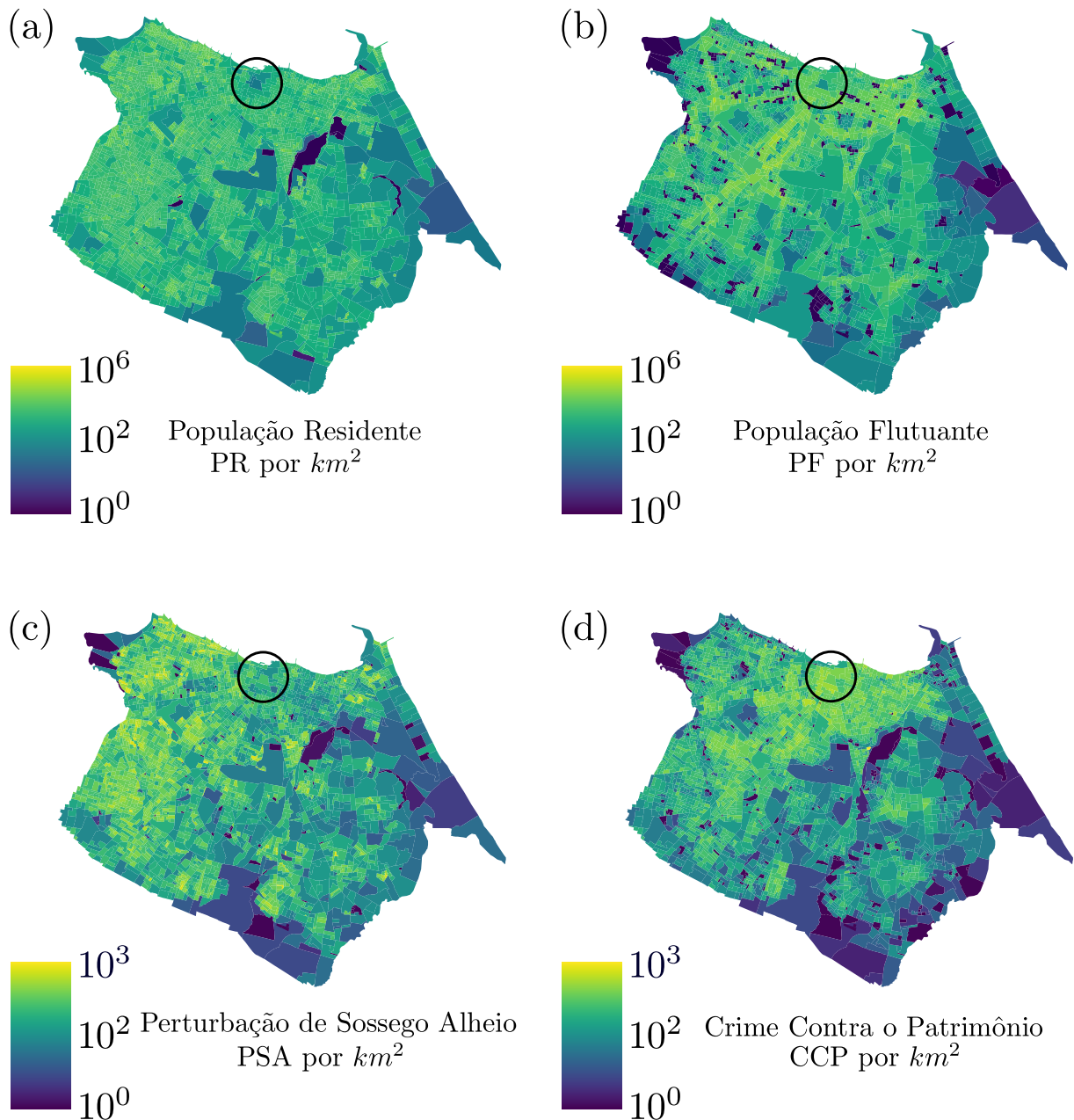


Figura 13 – Mapas de densidade das variáveis estudadas em Fortaleza. (a) População residente (PR) por (km^2). (b) População flutuante (PF) por km^2 . (c) Perturbação de sossego alheio (PSA) por km^2 . (d) Crimes contra o patrimônio (CCP) por km^2 . O círculo preto destaca o centro da cidade, essa região tem uma baixa densidade tanto de residentes quanto de reclamações de perturbação de sossego alheio, em contra partida é densa em fluxo de pessoas e crimes contra o patrimônio.

4.3 Discussão

No presente capítulo buscou-se verificar se as leis de escala observadas por Bettencourt *et al.* (BETTENCOURT *et al.*, 2007) e Melo *et al.* (MELO *et al.*, 2014), em estudos intercidades, poderiam estar presentes dentro da cidade de Fortaleza. Apesar da aparente

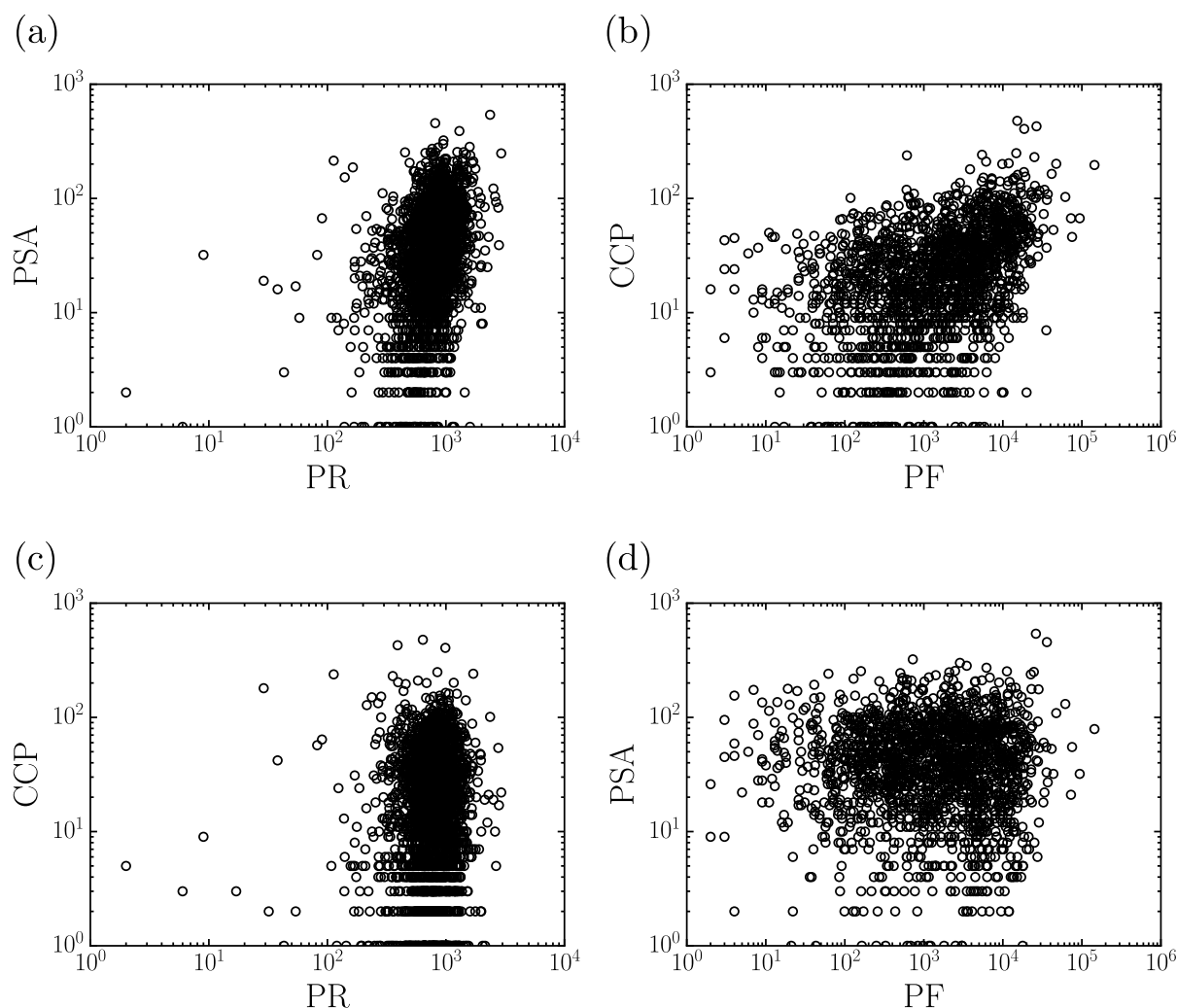


Figura 14 – Gráficos de dispersão aplicados às variáveis estudadas. (a)-(d) Revelam a ausência de correlação nas variáveis estudadas a nível de setor censitário. Cada círculo preto representa um setor censitário e em todos os gráficos foi estimado coeficiente de determinação (RAWLINGS; PANTULA; DICKEY, 2001; MONTGOMERY; PECK; VINING, 2015) $R^2 < 0.15$.

correlação visual nos mapas de densidade apresentados no painel da Figura 13, quando plotadas as informações em gráficos de dispersão (Figura 14) não foi possível verificar qualquer correlação estatística entre as variáveis estudadas.

Apesar dos gráficos de dispersão (Figura 14) apresentados neste capítulo sugerirem que não há qualquer correlação estatística entre população e crime em Fortaleza, é precipitado descartar a hipótese de que exista uma relação alométrica entre população e crime dentro da cidade. A literatura mostra que unidades administrativas de terreno são imprecisas para compreender fenômenos urbanos, essencialmente porque elas são definidas com restrições que buscam simplificar atividades de censo e controle cadastral, como normalizações por estatísticas de população residente (OLIVEIRA; ANDRADE; MAKSE,

2014; ARCAUTE *et al.*, 2015; COTTINEAU *et al.*, 2016).

Mesmo sabendo que setores censitários são definidos pela presença de população residente é difícil capturar uma correlação estatística utilizando uma unidade de terreno tão granular, mesmo para indicadores se são explicados pela presença desses residentes. Setores censitários têm área reduzida, às vezes do tamanho de uma quadra. Para uma possível correlação entre PR e PSA, pode-se imaginar um cenário, por exemplo, em que ocorre uma grande festa em uma quadra da cidade. Sabendo que grandes festas têm potencial de gerar reclamações de PSA muito além de uma quadra de distância, para compreender a relação entre a ocorrência dessa festa e suas reclamações de PSA, seria necessário agregar alguns setores censitários próximos. Vale salientar que mesmo que fossem utilizadas unidades administrativas de terreno menos granulares, como a divisão por bairros, ainda assim haveria a questão de que essas unidades também tem restrições de normalização por população residente na definição das suas fronteiras, dificultando assim a compreensão de fenômenos a nível de escala. Em Fortaleza, por exemplo, a maior parte dos bairros têm entre 30000 e 50000 residentes.

Por tudo que foi discutido neste capítulo, conjectura-se que a influência social que a população de uma cidade exerce sobre indicadores urbanos não pode ser explicada de maneira consistente utilizando divisões administrativas de terreno, sendo necessário estimar as fronteiras dessa influência social utilizando algoritmos de agrupamento isentos de qualquer tipo de restrição na definição dessas fronteiras. Baseando-se na conjectura recém apresentada, foi considerado fazer agrupamento das unidades territoriais de Fortaleza, utilizando a malha de setores censitários como base, devido ser a unidade com máxima resolução disponível, a fim de estimar as fronteiras de população flutuante e residente em Fortaleza.

5 Relações alométricas entre população e crime em agregados de população dentro de uma cidade

Este capítulo tem como objetivo estimar estatisticamente o impacto que a influência social exerce sobre o crime na cidade de Fortaleza. Para alcançar tal objetivo, serão estudados tanto aglomerados de população residente, quanto aglomerados de população flutuante, definidos além das fronteiras das unidades administrativas de terreno dos setores censitários. Busca-se encontrar a correlação espacial visualmente sugerida pela Figura 13, mas estatisticamente negada pelo gráfico de dispersão ilustrado na Figura 14. Conjectura-se que essa correlação exista, mas que a mesma está sendo escondida pelo nível de desagregação dos setores censitários.

5.1 Influência social mensurada a partir de agregados de população residente e flutuante

Para definir limites espaciais além de fronteiras administrativas, foi considerada a noção de continuidade espacial através da agregação de setores censitários que estão próximos uns dos outros fazendo uso do *City Clustering Algorithm* (CCA) (MAKSE *et al.*, 1998; ROZENFELD *et al.*, 2008; GIESEN; ZIMMERMANN; SUEDEKUM, 2010; ROZENFELD *et al.*, 2011; DURANTON; PUGA, 2013; GALLOS *et al.*, 2012; DURANTON, 2015; EECKHOUT, 2004). O CCA encontra as fronteiras populacionais de uma área urbana considerando dois parâmetros, o primeiro, D^* , um limiar de densidade populacional e o segundo, ℓ , um limiar de distância. Para um setor censitário i , a densidade populacional D_i é localizada em seu centro geométrico, se $D_i > D^*$, então o setor censitário i é considerado populado. O limiar de distância, ℓ , representa a distância de corte entre os setores censitários para considerá-los como espacialmente contíguos, mais precisamente, todos os setores censitários que estão em distâncias menores que ℓ são agrupados. Assim, um aglomerado encontrado pelo CCA é definido por áreas povoadas dentro de uma distância ℓ , como pode ser observado esquematicamente na Figura 15. Embora o algoritmo inicie de um setor censitário semente arbitrário, ele não produz aglomerados distintos ao variar esta

mente. Os dois únicos fatores que são responsáveis pelo comportamento aglomerativo do CCA são os parâmetros ℓ e D^* . Estudos recentes (OLIVEIRA; ANDRADE; MAKSE, 2014; DURANTON; PUGA, 2013; DURANTON, 2015) demonstraram que os resultados produzidos pelo CCA são fracamente dependentes de D^* e ℓ para uma faixa dos valores dos parâmetros. Neste trabalho, ℓ será quantificado em metros e D^* em população residente ou flutuante por km^2 .

Para determinar o efeito da parametrização sobre o valor do expoente β , foi buscado um intervalo dentro dos parâmetros onde β tem baixa sensibilidade a essa variação. A Figura 16 ilustra o comportamento do expoente β em função da variação dos parâmetros CCA. Conforme é ilustrado nas Figuras 16 (a) e (b), o valor do expoente β , estimado utilizando o método de regressão linear (mais detalhes no Anexo I), para PR contra PSA permanece praticamente insensível aos parâmetros CCA na faixa $180 \geq \ell \geq 300$, independentemente dos valores de D^* adotados no processo de estimativa. Além disso, a média $\beta = 1.17 \pm 0.06$ fornece forte evidência de uma relação superlinear entre essas variáveis. Um comportamento semelhante pode ser observado entre PF e CCP, mas agora o expoente β permanece praticamente invariável dentro do intervalo $320 \geq \ell \geq 510$. O valor médio de $\beta = 1.14 \pm 0.04$, também nesse caso, indica a presença de uma relação alométrica superlinear. Nos itens (c) e (d) não se pode sugerir nenhum tipo de relação entre as variáveis, primeiro, devido a maior flutuação entre valores sublineares, isométricos e superlineares, segundo, devido ao maior valor médio do Erro Padrão do Coeficiente β , representado pelas sombras no gráfico. Este resultado inclusive pode ser comparado com a variação do expoente alométrico para diferentes processos de aglomeração urbana (OLIVEIRA; ANDRADE; MAKSE, 2014; ARCAUTE *et al.*, 2015; COTTINEAU *et al.*, 2016).

Neste ponto, é necessário determinar um critério para selecionar um valor adequado do parâmetro D^* . São preferíveis pequenos valores de ℓ , pois estes conduzem a formação de muitos aglomerados no CCA, aumentando a quantidade de observações a serem incluídas na estatística. Também são desejáveis pequenos valores de D^* , pois desta forma poucos setores censitários são eliminados do mapa, incluindo uma parcela maior da população na análise.

Adicionalmente, é proposto que a escolha de D^* esteja associada a uma distribuição espacial mais homogênea da população (OLIVEIRA; ANDRADE; MAKSE, 2014). Em outras palavras, deseja-se evitar que a divisão encontrada produza alguns aglomerados com

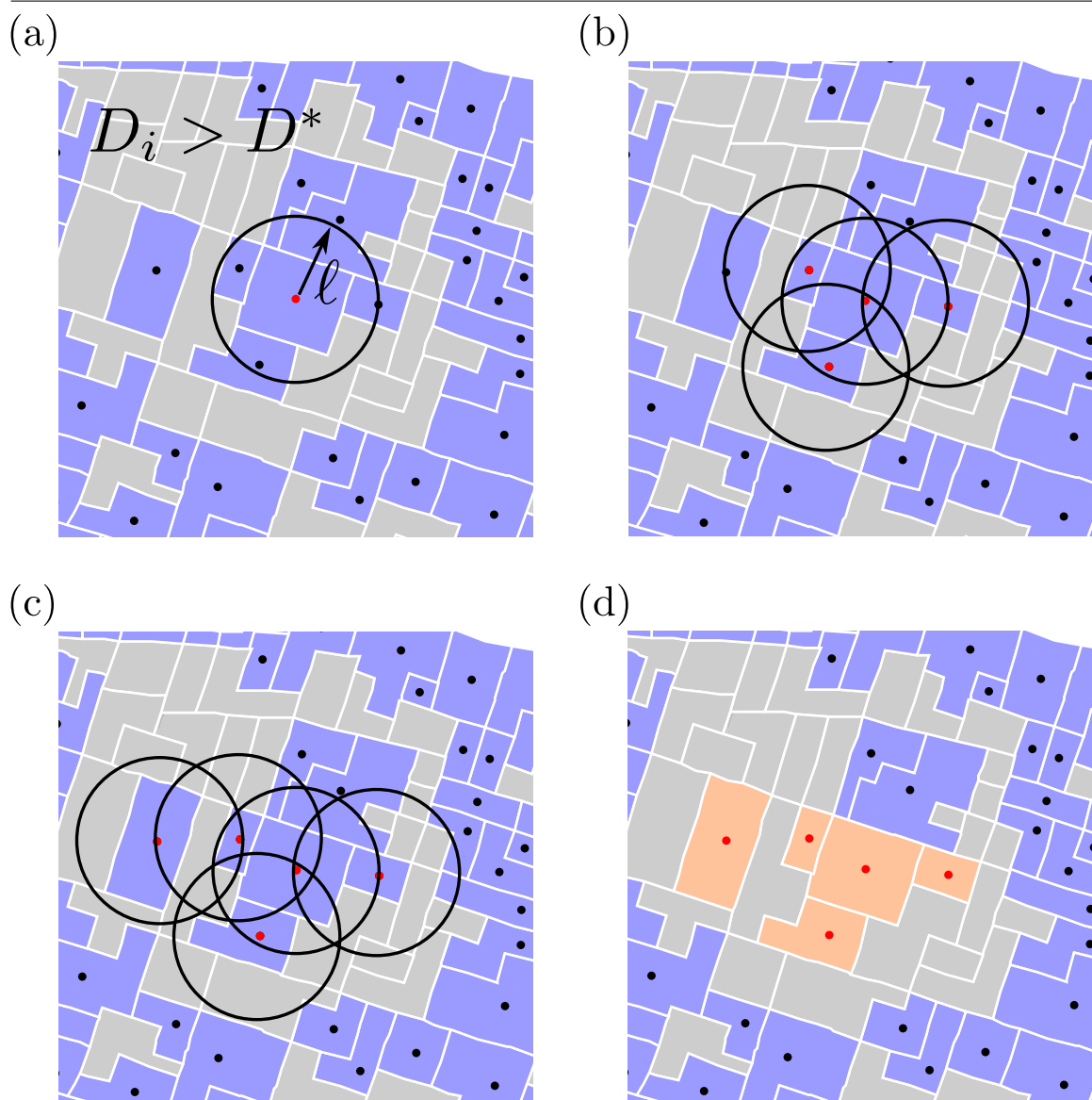


Figura 15 – **O comportamento aglomerativo do (CCA).** Cada polígono representa uma unidade de agrupamento, especificamente no caso deste trabalho, setores censitários. Os polígonos na cor azul claro são candidatos a serem agrupados ($D_i > D^*$). Em contrapartida, os polígonos na cor cinza não podem ser agrupados ($D_i \leq D^*$). (a) O ponto vermelho representa o centro geométrico do setor censitário i e o círculo preto com raio ℓ procura vizinhos pertencentes ao mesmo aglomerado. (b)-(c) A mesma operação de busca é feita para os outros setores censitários até que não haja mais vizinhos dentro do raio de operação. (d) O algoritmo termina a execução e o aglomerado é encontrado.

uma concentração muito maior (ou muito menor) de pessoas que outros. A justificativa para evitar fazer análises mais profundas em divisões da cidade com essa característica é que não se sabe ao certo o efeito que a concentração de pessoas tem sobre o crime (BETTENCOURT *et al.*, 2007; OLIVEIRA; ANDRADE; MAKSE, 2014; MELO *et al.*, 2014). Por exemplo,

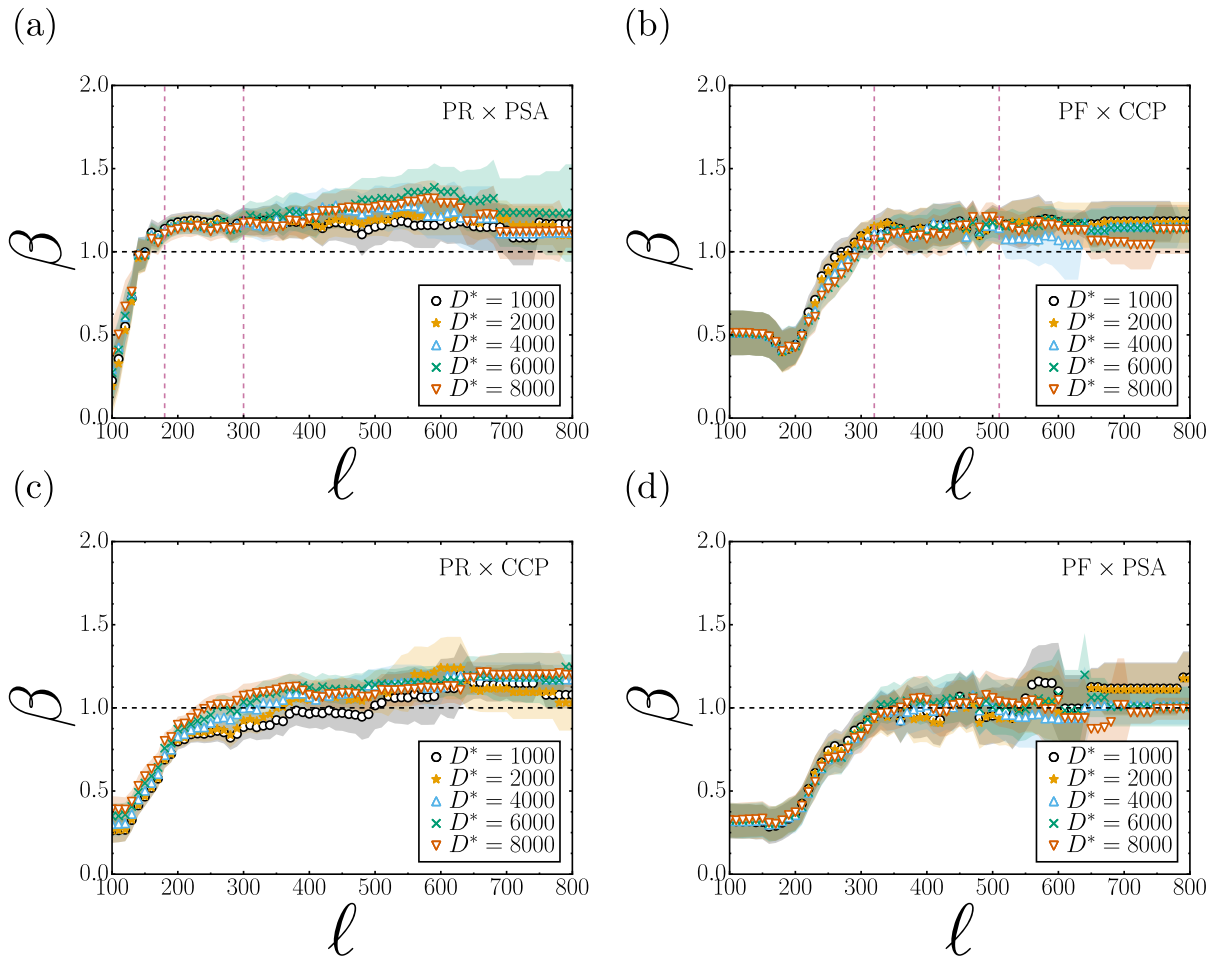


Figura 16 – **Comportamento do expoente β ao variar os parâmetros do CCA, ℓ e D^* .** Em (a) é ilustrada a variação de β na correlação entre PR e PSA. Em (b) a variação é ilustrada para a correlação entre PF e CCP. Em (c) são ilustrados os valores de β da relação entre PR e CCP. Por fim, em (d), são ilustrados os valores do expoente β para a relação entre PF e PSA. Em todas as Figuras, (a-d), o eixo x representa o valor de ℓ , que foi variado a partir de 100 até 800 metros (momento em que o maior aglomerado encontrado consome quase toda a cidade). O valor do expoente β é exibido no eixo y . As cores das linhas representam a variação do parâmetro D^* , que correspondente à densidade de população residente nos itens (a) e (c), e a densidade de população flutuante nos itens (b) e (d). D^* foi variado a partir de 1000 até 8000. As sombras representam o erro padrão do coeficiente β . Os gráficos também mostram linhas tracejadas vermelhas, entre essas linhas é destacado o intervalo onde, independentemente da parametrização, o expoente β tem intervalos menores de variação. As linhas pretas pontilhadas destacam o expoente $\beta = 1$, situação em que a relação entre variáveis é isométrica. Em (a), a relação é superlinear a partir de $\ell \geq 180$, já em (b), a superlinearidade aparece em $\ell \geq 320$. Em todas as figuras, as sombras coloridas representam o Erro Padrão do Coeficiente, a cor da sombra indica a que valor de D^* o erro padrão está associado.

locais com densidade populacional extremamente alta podem, naturalmente, inibir que atividade criminosa ocorra, sendo esse possivelmente um fator que traz insegurança a

agressores motivados. Em contrapartida, alguns locais com densidade populacional muito baixa podem fazer com que as rotinas de criminosos, vítimas e guardiões jamais entrem em convergência (COHEN; FELSON, 1979; FELSON, 2002). Para isolar esse fator, será escolhida uma divisão de agregados que tenha a distribuição de densidade populacional mais próxima de uniforme possível.

Uma configuração de divisão por aglomerados da cidade, que tem distribuição de densidade populacional uniforme, pode ser obtida ao se buscar agrupamentos do CCA cujas áreas se aproximem de forma mais isométrica possível com os dados populacionais. Em outras palavras, é desejável escolher divisões que tenham a seguinte característica: Quando a população cresce, a área do aglomerado cresce proporcionalmente. Formalmente, uma relação isométrica entre população e área dos aglomerados do CCA, pode ser definida a partir da seguinte função:

$$Y = aX^\alpha, \quad (5.1)$$

com $\alpha \approx 1$, onde X é a população, Y é a área em km^2 dos aglomerados, e a é uma constante.

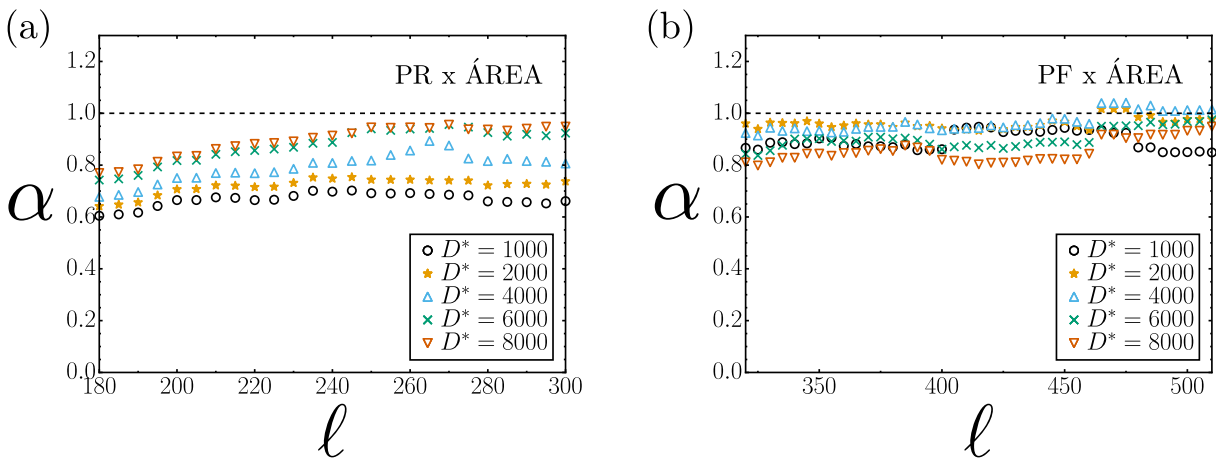


Figura 17 – **Comportamento do expoente α ao variar os parâmetros do CCA, ℓ e D^* .** (a) Variação de α nas correlações entre população residente (PR) e área em quilômetros quadrados (km^2) dos aglomerados descobertos pelo CCA. (b) Variação dos expoentes das correlações entre a população flutuante (PF) e área. Em (a) e (b), O eixo x representa o parâmetro ℓ , e o eixo y representa o expoente α . As cores das linhas representam a variação do parâmetro D^* . D^* foi variado a partir de 1000 até 8000. As linhas pretas pontilhadas destacam o expoente $\beta = 1$, situação em que a relação entre variáveis é isométrica.

Seguindo o procedimento previamente descrito, a partir da Figura 17a, obtém-se $\ell = 270$ e $D^* = 6000$ correspondendo ao par de parâmetros do CCA que conduzem à relação isométrica mais próxima entre a área dos aglomerados e PR. No caso de PF e área

dos aglomerados, foram escolhidos os valores $\ell = 320$ e $D^* = 2000$, a partir da Figura 17b. A Figura 18 ilustra as correlações encontradas entre as populações estudadas e a área dos seus aglomerados. Em (a) foi estimado o valor do expoente $\alpha = 0.95 \pm 0.02$ ($R^2 = 0.92$) para PR contra a área dos seus aglomerados. Já em (b) é ilustrada a correlação entre PF e a área dos seus aglomerados, cujo foi estimado expoente $\alpha = 0.96 \pm 0.05$ ($R^2 = 0.78$).

Outra abordagem para definir D^* poderia se basear na maximização R^2 . Infelizmente, no caso deste trabalho, R^2 não se mostra um bom indicador, pois ele se mantém praticamente constante ao variar ℓ e D^* , como é possível visualizar na Figura 19. Outro problema de usar R^2 como indicador é que o aumento dos valores de ℓ e D^* pode conduzir a um aumento artificial de R^2 , devido à acentuada diminuição do número de aglomerados, levando a uma configuração com apenas dois ou três pontos no gráfico de correlação. Neste trabalho, buscou-se usar o menor valor de D^* possível para se ter uma grande representação da população da cidade.

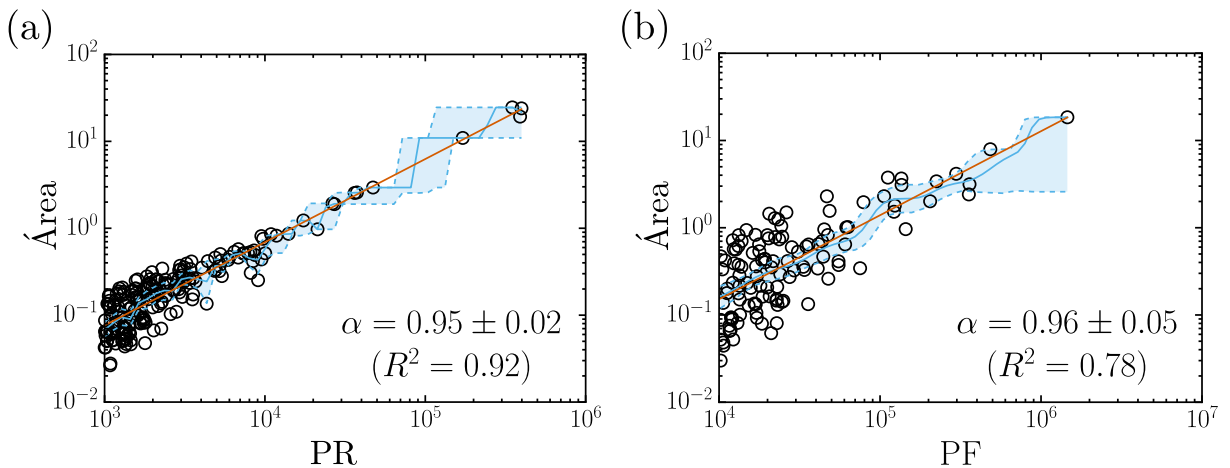


Figura 18 – **Relação isométrica entre população residente (PR) e população flutuante (PF) com a área de seus aglomerados em quilômetros quadrados.** (a) Correlação entre PR e área dos aglomerados encontrados pelo *City Clustering Algorithm* (CCA) para $D^* = 6000$ residentes por km^2 e $\ell = 270$ metros. (b) Correlação entre PF e área para $D^* = 2000$ pessoas passando por km^2 e $\ell = 320$ metros. A linha vermelha representa uma regressão *Ordinary Least Square* (OLS) aplicada ao logaritmo dos dados (RAWLINGS; PANTULA; DICKEY, 2001; MONTGOMERY; PECK; VINING, 2015). A linha contínua azul indica a regressão de kernel Nadaraya-Watson (NADARAYA, 1964; WATSON, 1964). Finalmente, as linhas tracejadas azuis delimitam 95% de intervalo de confiança estimado a partir de 500 amostras de aleatórias com substituição. R^2 é o Coeficiente de Determinação da regressão (RAWLINGS; PANTULA; DICKEY, 2001; MONTGOMERY; PECK; VINING, 2015).

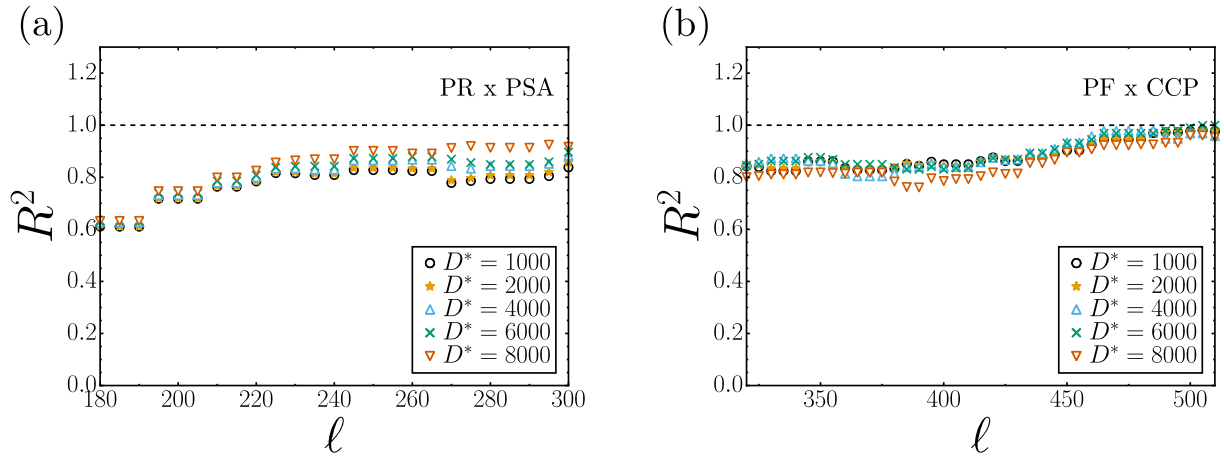


Figura 19 – **Comportamento do Coeficiente de Determinação ao variar os parâmetros do CCA, ℓ e D^* .** (a) A variação de R^2 na correlação entre população residente (PR) e perturbação de sossego alheio (PSA) é ilustrada. Em (b) é ilustrada a variação para correlações entre população flutuante (PF) e crimes contra o patrimônio (CCP). D^* foi variado a partir de 1000 até 8000. As linhas pretas pontilhadas destacam o expoente $\beta = 1$, situação em que a relação entre variáveis é isométrica.

5.2 Resultados

Os setores censitários foram agrupados, usando o CCA, por PR e PF (Fig 20). Na Figura 20a, a divisão alcançada por PR é ilustrada, a cidade foi dividida usando $\ell = 270$ metros e $D^* = 6000$ residentes por km^2 . Na Figura 20b é ilustrada a divisão encontrada para PF, usando $\ell = 320$ metros e $D^* = 2000$ pessoas passando por km^2 em um dia. Ressalta-se a existência de maiores lacunas no mapa de PR (Fig 20a) do que ocorre no mapa de PF (Fig 20b). Tal característica se dá pelo fato de Fortaleza ter regiões de natureza apenas comercial, em outras palavras, regiões onde não existe uma grande presença de residentes. Quanto a população flutuante, há pessoas se movendo praticamente por toda a cidade, tanto em áreas comerciais, quanto em áreas residenciais.

Ao comparar com os resultados apresentados na Figura 14, a aplicação do CCA nos dados de população divulga um cenário diferente para as correlações entre as variáveis investigadas neste trabalho. Primeiro, como ilustrado na Figura 21a e 21b, relações superlineares em termos de leis de potência, $Y = aX^\beta$, são reveladas entre PF e CCP, bem como entre PR e PSA, com expoentes $\beta = 1.15 \pm 0.04$ e $\beta = 1.18 \pm 0.04$, respectivamente. Em contrapartida, as relações obtidas entre PF e PSA, bem como entre PR e CCP estão mais próximas de uma relação isométrica (linear), com expoentes $\beta = 0.93 \pm 0.10$ e $\beta = 1.01 \pm 0.06$ respectivamente, contudo, os valores baixos dos coeficientes de determinação correspondentes indicam que estes resultados devem ser interpretados com cautela.

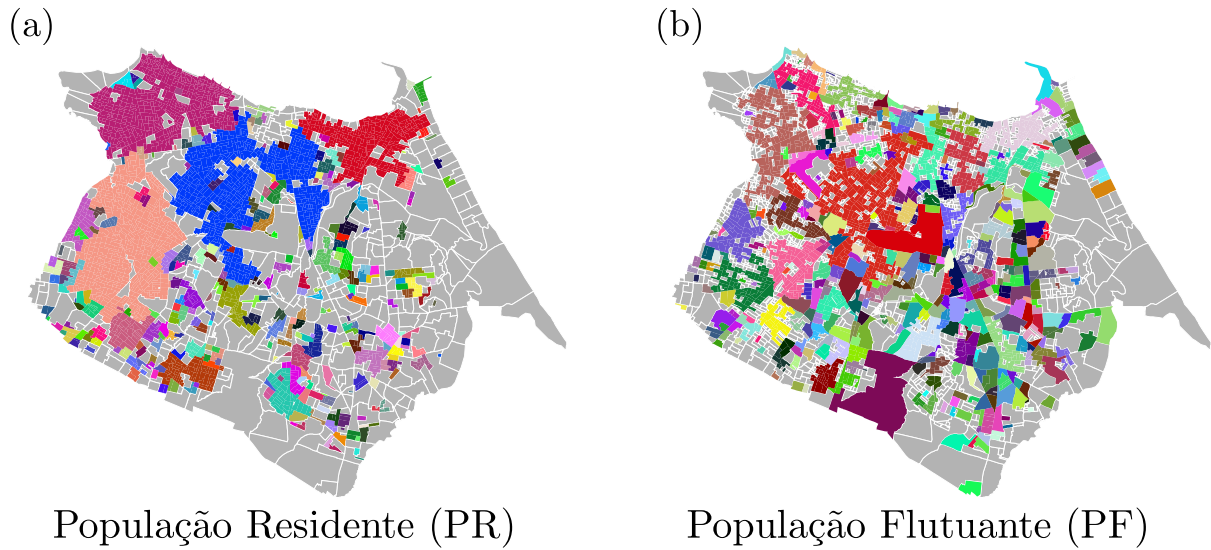


Figura 20 – CCA aplicado à população residente (PR) e população flutuante (PF) em Fortaleza. Cada cor representa um aglomerado, as áreas na cor cinza claro correspondem a setores censitários que não foram agrupados por terem $D_i < D^*$. (a) densidade populacional foi utilizada para encontrar os limites dos aglomerados com $\ell = 270$ metros e $D^* = 6000$ pessoas residindo por km^2 . (b) divisão encontrada considerando a mobilidade urbana é ilustrada, o mapa foi gerado para $\ell = 320$ metros e $D^* = 2000$ pessoas passando por km^2 em um dia em Fortaleza.

A relação alométrica superlinear entre PR e CCP, implica que o aumento do volume de população flutuante em uma região da cidade acontecerá a custo de uma taxa proporcionalmente maior de crimes na mesma região. Mais importante ainda, esse comportamento superlinear ocorrendo em microescala (dentro de uma cidade) fornece uma explicação plausível para a alometria de crimes sérios encontrados por Bettencourt *et al.* (BETTENCOURT *et al.*, 2010) e Melo *et al.* (MELO *et al.*, 2014) em estudos realizados com dados de cidades brasileiras e estadunidenses, em escala macrodinâmica. Diferente do que se afirmava, não é a população residente que explica o comportamento superlinear de crimes sérios, mas a movimentação das pessoas dentro dos aglomerados urbanos.

É digno de menção ainda que, o resultado da correlação entre PR e CCP, está de acordo com a Teoria das Atividades Rotineiras (COHEN; FELSON, 1979), que afirma que um crime ocorre pela convergência das rotinas de um agressor motivado, de uma vítima desprotegida, bem como a ausência de um guardião capaz de prevenir a transgressão. Além de fornecer apoio quantitativo para essa teoria, mostrando que a convergência das rotinas dos agentes aumenta o número de crimes, este estudo também indica o fato notável de que esse aumento é não-linear. Em outras palavras, este estudo provê a primeira explicação do

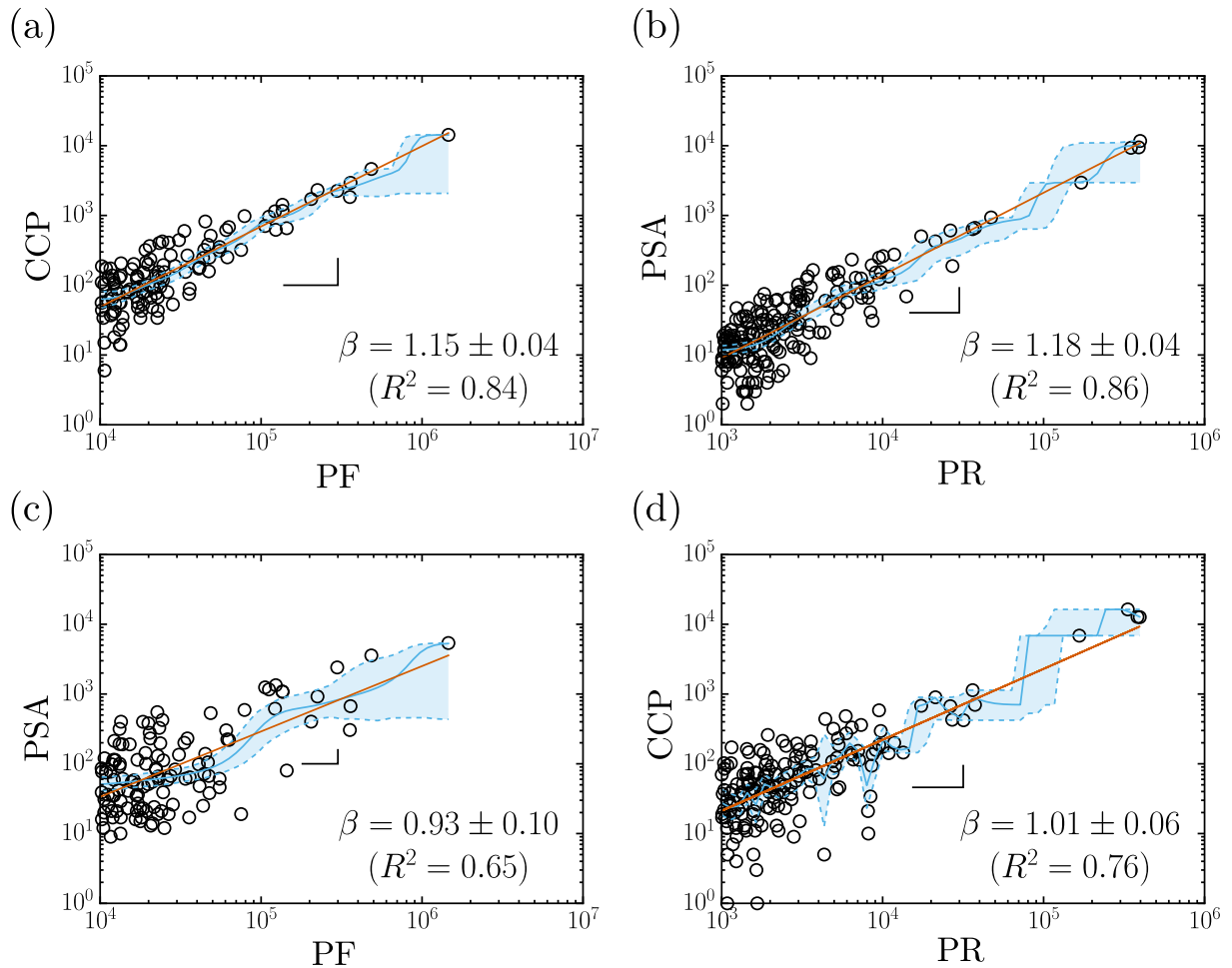


Figura 21 – Gráficos de dispersão calculados a partir dos aglomerados encontrados pelo CCA. As linhas vermelhas representam as regressões lineares aplicadas aos dados, as linhas contínuas azuis representam o método Nadaraya-Watson (NADARAYA, 1964; WATSON, 1964) e as linhas tracejadas azuis delimitam o intervalo de confiança de 95% estimado por *bootstrap* (RACINE; LI, 2004; LI; RACINE, 2004). (a) Uma relação superlinear foi encontrada, com expoente $\beta = 1.15 \pm 0.04$, entre população flutuante (PF) e crimes contra o patrimônio (CCP). (b) Uma relação superlinear também foi encontrada entre a população residente (PR) e perturbação de sossego alheio (PSA), com expoente $\beta = 1.18 \pm 0.04$. (c)-(d) Os gráficos de dispersão de PF com PSA e PR com CCP mostraram uma relação isométrica entre as variáveis, mas com correlações menores que (a) e (b). O R^2 é o Coeficiente de Determinação das regressões.

fenômeno a nível de escala, mostrando que esse fenômeno não-linear ocorre em aglomerados onde passam dezenas de milhares, centenas de milhares e até milhões de pessoas em um dia.

5.3 Discussão

Os resultados obtidos ao fim deste capítulo respondem as questões de pesquisa expostas no capítulo 1 desta tese.

QP₁ - Há relações alométricas entre população e crime dentro de uma cidade?

Sim. Foram encontradas relações alométricas entre população e crime na cidade de Fortaleza. Utilizou-se o CCA para delimitar as fronteiras da influência social, mensurada indiretamente pela densidade de PR e PF em diversas regiões da cidade. Foi encontrado que PF escala de maneira alométrica com CCP, com expoente $\beta = 1.15 \pm 0.04$ e PR escala com chamadas de PSA, também de forma superlinear, com expoente $\beta = 1.18 \pm 0.04$. Variando os parâmetros ℓ e D^* do CCA, Fortaleza foi dividida de 3500 formas diferentes por estatísticas de população residente e mais 3500 por estatísticas de população flutuante (conforme ilustrado na Figura 16). Em mais de 80% dessas divisões, foram constadas relações alométricas superlineares de PR contra PSA e PF contra CCP, provendo forte evidência estatística de que existem tais relações.

QP₂ - A quantidade de população residente e flutuante é igualmente importante para explicar a quantidade de crimes em diferentes regiões de uma cidade?

Não. Conforme já mencionado em *QP₁*, o aumento no número de chamadas de PSA é correlacionado com o crescimento de PR e o mesmo ocorre entre CCP e PF. No entanto as correlações substancialmente mais fracas encontradas entre PR contra CCP e PF contra PSA, sugerem que PR e PF não são adequadas para explicar a ocorrência de CCP e PSA, respectivamente. Esse resultado mostra que, diferente do se pensava, não é a grande concentração de população residente que explica o crescimento desproporcional de crimes violentos em muitas cidades, mas o processo diário de comutação das pessoas, que em microescala, propicia que haja convergência das rotinas de vítimas e criminosos, conforme é definido pela Teoria das Atividades Rotineiras (COHEN; FELSON, 1979).

Os resultados descritos aqui trazem alternativas para a implementação de práticas inovadoras para gestores públicos dentro de cidades. A mais óbvia delas se refere ao fato de que, ao mostrar a correlação de diferentes tipos de crimes não só com população residente, mas também com a população flutuante, estratégias de alocação da força policial devem ser implementadas através da análise de diferentes bases populacionais, dependendo do tipo de crime que se deseja prevenir. Por exemplo, a alocação de policiamento comunitário,

mais apropriada para resolver conflitos que potencialmente podem emergir da perturbação de sossego, deve ser planejada a partir de uma configuração de aglomerados e uma análise de *hot spots* que foram produzidos da perspectiva da densidade da população residente. Quando é necessário estabelecer uma política de alocação de uma polícia uniformizada para mitigar os crimes contra o patrimônio, a alocação da força policial deve ser realizada a partir de uma análise do movimento das pessoas.

Além dessas estratégias de alocação policial, os resultados aqui descritos constituem importantes indicadores para a formulação de políticas públicas de uso do solo e de projeto ambiental em geral. Trabalhos nesta linha foram desenvolvidos em (TAYLOR; HARRELL, 1996), onde foi proposto um *framework* para associar espaços físicos e o sentimento de segurança, bem como (BRANTINGHAM; BRANTINGHAM, 1981), que lançou a criminologia ambiental, focando seu estudo criminológico sobre fatores ambientais ou de contexto que podem influenciar a atividade criminosa. Esses fatores incluem espaço, tempo, lei, agressor e alvo ou vítima. Estes cinco componentes são uma condição necessária e suficiente, pois sem um, os outros quatro, mesmo juntos, não constituirão um incidente criminal. A descoberta que existe uma relação superlinear entre crime e população (residente ou flutuante) em aglomerados dentro das cidades, reforça a alegação de que as mudanças no espaço urbano podem levar à redução da criminalidade como discutido em (KINNEY *et al.*, 2008). Neste contexto, acredita-se que existam duas estratégias possíveis para reduzir os crimes nas cidades. Em um curto período de tempo, pode-se tentar modificar a rota do transporte público, a fim de evitar uma alta convergência espaço-temporal das pessoas. Em um longo período de tempo, estimulando com isenções fiscais, por exemplo, poderiam ser criados diversos centros autônomos na cidade, isso certamente reduziria o deslocamento entre esses centros altamente convergentes.

6 Uma ferramenta de apoio na tarefa de alocação policial

Diante da descoberta da existência de uma relação alométrica superlinear entre o PF e CCP na cidade de Fortaleza, buscou-se avaliar o impacto que a mobilidade urbana deveria exercer sobre a alocação de recursos policiais na cidade. Para avaliar esse impacto, foi desenvolvido um *framework* de apoio a atividade de alocação policial (MELO; BELCHIOR; FURTADO, 2005; TELLA; SCHARGRODSKY, 2004; GELMAN; FAGAN; KISS, 2007; AGNEW, 2007; FERRETT, 2007; GUEDES; FURTADO; PEQUENO, 2014; KENNEDY; FORDE, 1990; BEATO; SILVEIRA, 2014). Esse *framework* possui dois módulos, no primeiro, denominado módulo de análise de dados, é utilizada uma ferramenta de *business intelligence* para fazer mineração de dados de crimes e população em aglomerados urbanos. Essa ferramenta gera como saída uma divisão da cidade, baseada em escolhas do usuário, que terá acesso a alguns dos gráficos expostos no capítulo 5 desta tese para dar apoio a sua decisão. O segundo módulo, denominado módulo de alocação, é um *software* que recebe como entrada um arquivo *Keyhole Markup Language* (KML), com a divisão da cidade obtida a partir do primeiro módulo e a quantidade de recursos policiais disponíveis para alocação. Esse *software* aloca os recursos policiais de forma proporcional à quantidade de crimes que ocorrem nas regiões da cidade, seguindo o modelo de alocação baseado em alta densidade de crimes (SHERMAN; GARTIN; BUERGER, 1989; SHERMAN, 1995; WEISBURD; BRAGA, 2006; RATCLIFFE, 2006; WORTLEY; TOWNSLEY, 2016; GROFF; VIGNE, 2002; BERK, 2011; KENNEDY; CAPLAN; PIZA, 2011).

Além de descrever o *framework* desenvolvido, este capítulo tem como objetivo realizar um exercício de aplicação para a descoberta de que a mobilidade humana é a chave para entender a dinâmica de crimes contra o patrimônio em uma grande metrópole. Para realizar tal exercício, será utilizado o *framework* desenvolvido para gerar os aglomerados de população flutuante estimados na seção 5.1 desta tese. Esses aglomerados serão utilizados em uma estratégia de alocação policial onde os recursos policiais serão distribuídos por divisões de terreno definidas por estatísticas de população flutuante. Essa estratégia será comparada com uma estratégia de alocação em que os agentes da polícia são distribuídos por divisões administrativas de terreno, comumente definidas a partir de estatísticas de

população residente.

6.1 Descrição do framework

6.1.1 Módulo de análise de dados

O módulo de análise de dados foi desenvolvido utilizando a plataforma de *business intelligence* Qlik Sense ¹, que possibilita o tratamento e visualização de grandes volumes de dados. Foi desenvolvido um *dashboard* protótipo, que possui três painéis de visualização. O primeiro painel apoia a análise de dados brutos de crimes e população, o principal propósito desse painel é permitir que o usuário se familiarize com os dados, sendo possível verificar inconsistências ou buscar faixas dos dados que merecem passar por algum processo de higienização. O segundo painel dá suporte à análise de agregações de unidades terreno realizadas pelo CCA, onde é possível variar os parâmetros do algoritmo, avaliar a sensibilidade do expoente alométrico em função dessa variação e ainda analisar a relação entre a área dos aglomerados e sua população (tal qual foi apresentado na seção 5.1 desta tese). Por fim, o terceiro painel ilustra as correlações entre população e crime com seus respectivos expoentes alométricos encontrados. Foi incluído nesse módulo de análise de dados uma funcionalidade de exportação de delimitações definidas pela parametrização escolhida pelo usuário. As Figuras 22, 23 e 24 ilustram os painéis de visualização desenvolvidos. Todos os painéis são interativos, sendo possível realizar filtros por áreas de mapas e barras ou pontos de gráficos.

¹ <http://www.qlik.com/us/products/qlik-sense>

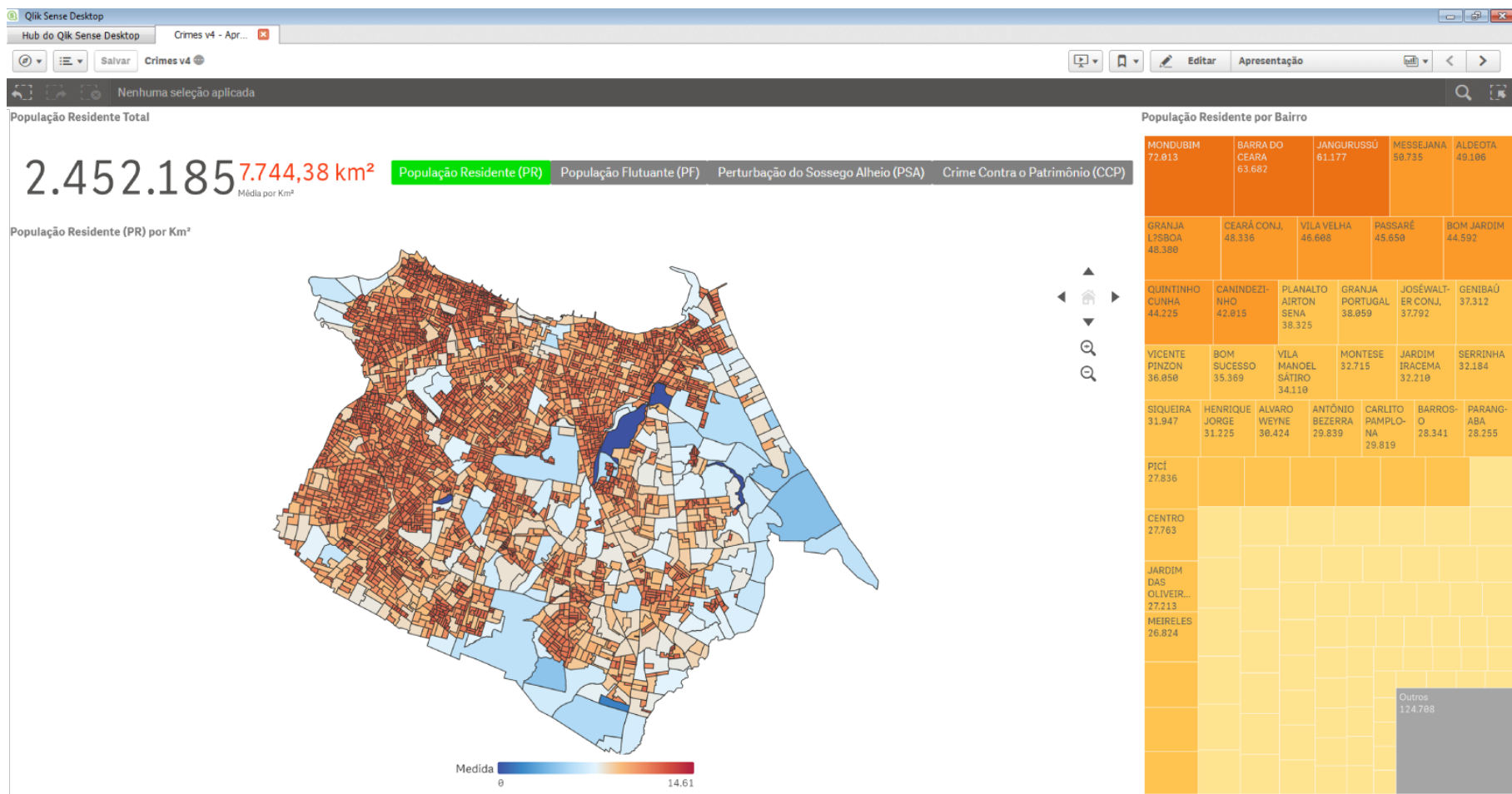


Figura 22 – **Painel de análise de dados brutos.** O mapa central ilustra a densidade de crimes ou população, dependendo da escolha do usuário. É possível observar ainda a distribuição de crimes por tipo, por bairro e por agência (*e.g.* PM, SAMU e DETRAN). Esse painel tem grande utilidade na verificação de inconsistências nos dados. A título de exemplo, foram observados erros de georreferenciamento nos dados de crime. Ao selecionar um bairro (no gráficos em tons de laranja à direita), observou-se que cerca de 5% das latitudes e longitudes apontavam para regiões fora do bairro. Devido a tal observação, esses dados foram removidos das análises.



Figura 23 – Painel de análise de agregações de unidades terreno realizadas pelo CCA. Esse painel permite avaliar o efeito da parametrização do CCA sobre o expoente alométrico nas relações entre população e crime. Os gráficos ilustrados são inspirados nas Figuras 16 e 17 desta tese.

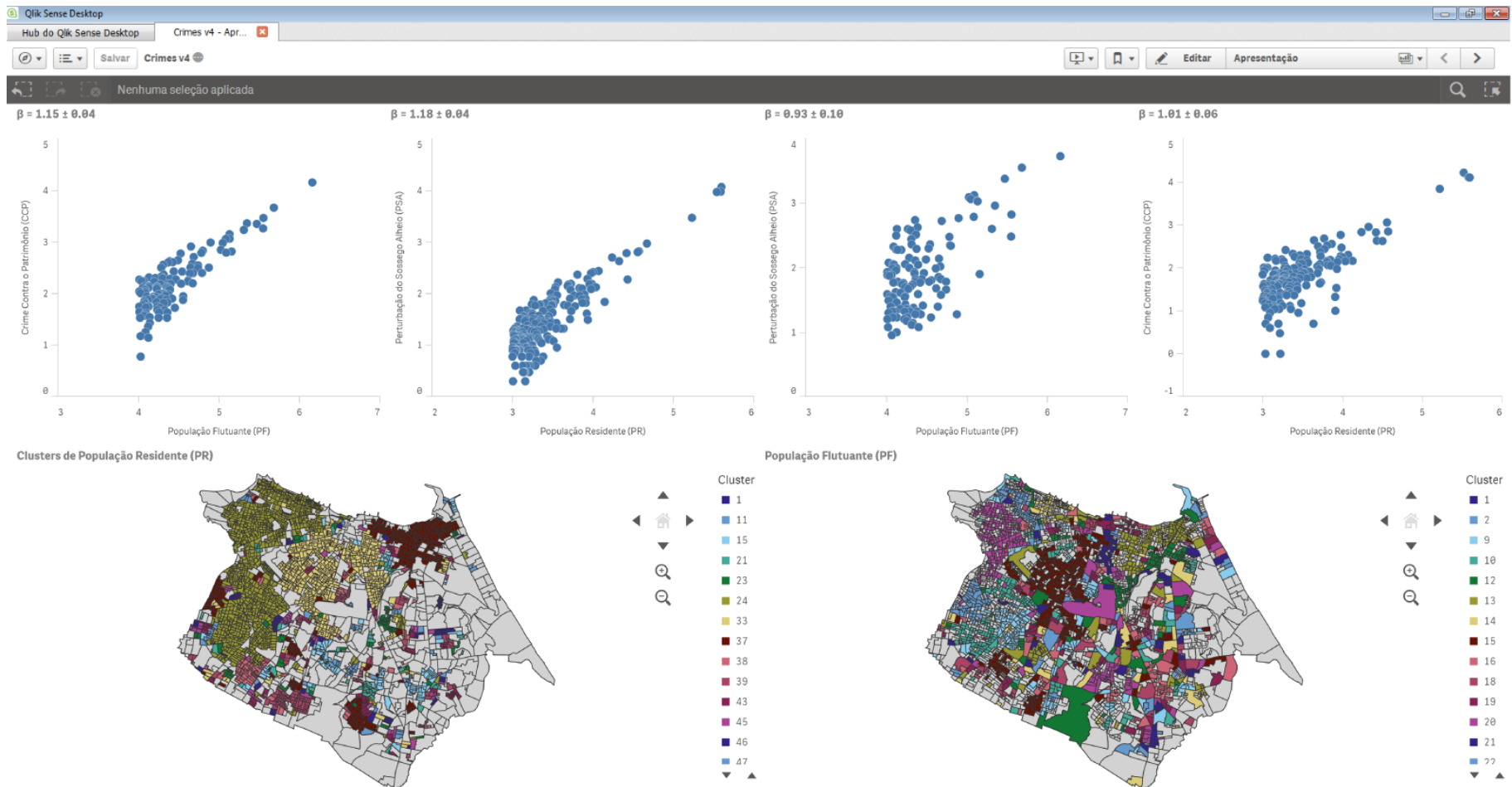


Figura 24 – **Correlações entre população e crime com seus respectivos expoentes alométricos encontrados.** A partir da seleção de um ponto (que representa uma configuração dos parâmetros do CCA) nos gráficos ilustrados no segundo painel de visualização, é possível verificar a dispersão dos dados de população e crime para a configuração do CCA escolhida. Esse terceiro painel também ilustra a divisão espacial dos aglomerados encontrados, tanto para população residente, quando para população flutuante.

6.1.2 Módulo de alocação

O módulo de alocação policial é um *software*, desenvolvido utilizando a linguagem de programação Java ², atualmente na versão 1.8. Esse módulo tem como entradas um arquivo KML, com uma divisão de uma cidade, a quantidade (T) de policiais disponíveis para alocação e informações georreferenciadas de crimes. O *software* distribui os recursos policiais por diferentes locais da cidade de forma proporcional à quantidade de crimes existentes no local. Desta forma, a parte de um recurso policial, T_{s_i} , alocado em uma sub-região do espaço urbano (seja um aglomerado ou uma unidade administrativa de terreno), $s_i \in S$, a partir da quantidade de crimes ocorridos em s_i , C_{s_i} , pode ser definido formalmente como:

$$T_{s_i} = \frac{T * C_{s_i}}{C}, \quad (6.1)$$

onde T corresponde ao total de policiais disponíveis para a alocação e C ao total de crimes ocorridos em todo o espaço urbano disponível para alocação.

Foi ainda adotada uma política de alocação interna, mais precisamente a nível de s_i . Tanto aglomerados de população, quanto unidades administrativas de terreno (*e.g.* divisão por bairros ou zonas) são compostos por setores censitários e internamente é também feito um direcionamento de recursos de forma proporcional a quantidade de crimes de cada setor dentro de s_i . Em outras palavras, dentro de cada sub-região s_i , setores com mais crimes recebem mais policiais. Essa política de sub-alocação é justificada pela necessidade de comparar as duas estratégias de alocação. A seguir isso será discutido de maneira mais profunda.

A arquitetura geral do *framework* desenvolvido pode ser visualizada na Figura 25.

6.2 Estratégias

Serão comparadas aqui duas estratégias de alocação policial, as quais se inspiram no modelo de alocação mais popular, o modelo baseado em alta densidade de crimes (SHERMAN; GARTIN; BUERGER, 1989; SHERMAN, 1995; WEISBURD; BRAGA, 2006; RATCLIFFE, 2006; WORTLEY; TOWNSLEY, 2016; GROFF; VIGNE, 2002; BERK, 2011; KENNEDY; CAPLAN; PIZA, 2011), que aloca o recurso policial proporcionalmente em função da densidade de crimes nos locais.

² <http://www.java.com>

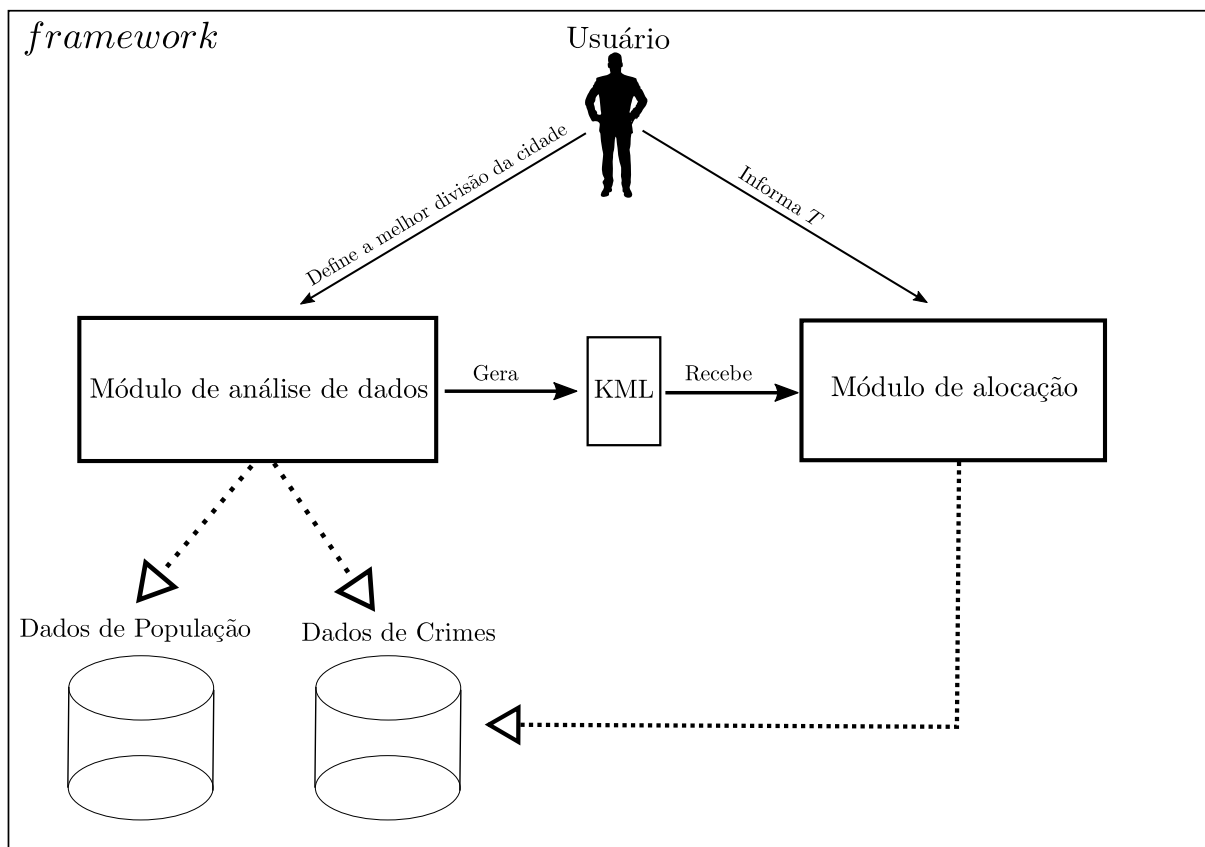


Figura 25 – **Arquitetura geral do framework desenvolvido.** O usuário utiliza o módulo de análise de dados para definir a melhor divisão da cidade para a alocação de uma polícia especializada para combater um determinado tipo de crime. O módulo de análise de dados gera como saída um arquivo KML com a divisão definida pelo usuário e essa divisão é utilizada no módulo de alocação policial. O usuário informa a quantidade de policiais disponíveis para a alocação. O módulo de análise de dados acessa informações de bancos de dados de crimes e população de uma cidade, já o módulo de alocação acessa apenas um banco de dados de crimes.

A primeira estratégia, denominada Estratégia de Alocação por População Residente (APR), uma estratégia cujos recursos são distribuídos de forma proporcional à quantidade de ocorrências em divisões administrativas de terreno, normalmente definidas por estatísticas de população residente. Será adotada a divisão por bairros³, pois apesar da divisão administrativa por setores censitários também estar disponível, a mesma é por demais segmentada, com alguns setores sendo menores que um quarteirão, sendo assim inviável de ser utilizada em uma política real de alocação.

A segunda estratégia de alocação utilizada, denominada Estratégia de Alocação por População Flutuante (APF), também distribuirá os recursos policiais de forma proporcional a quantidade de chamadas à polícia em uma divisão espacial, no entanto, nessa estratégia

³ disponível em <http://dados.fortaleza.ce.gov.br/>

serão utilizados os aglomerados de fluxo de pessoas estimados na seção 5.1 desta tese, ilustrados na Figura 20b. Foi utilizado o módulo de análise de dados do *framework* desenvolvido para gerar um arquivo KML com a divisão de aglomerados por população flutuante ($\ell = 320$ e $D^* = 2000$).

6.3 Comparação das estratégias

Ao aplicar APR e APF em Fortaleza simulando a disponibilidade de um recurso policial total $T = 10000$, obtém-se os mapas de calor ilustrados na Figura 26, itens (a) e (b) respectivamente. Observam-se *hot spots* mais intensos em APF, principalmente no centro comercial da cidade, destacado pelo círculo preto em ambas as figuras. Isso ocorre devido APF não alocar recursos policiais em áreas consideradas não populadas ($D_i > D^*$), concentrando mais policiais nas regiões mais críticas da cidade.

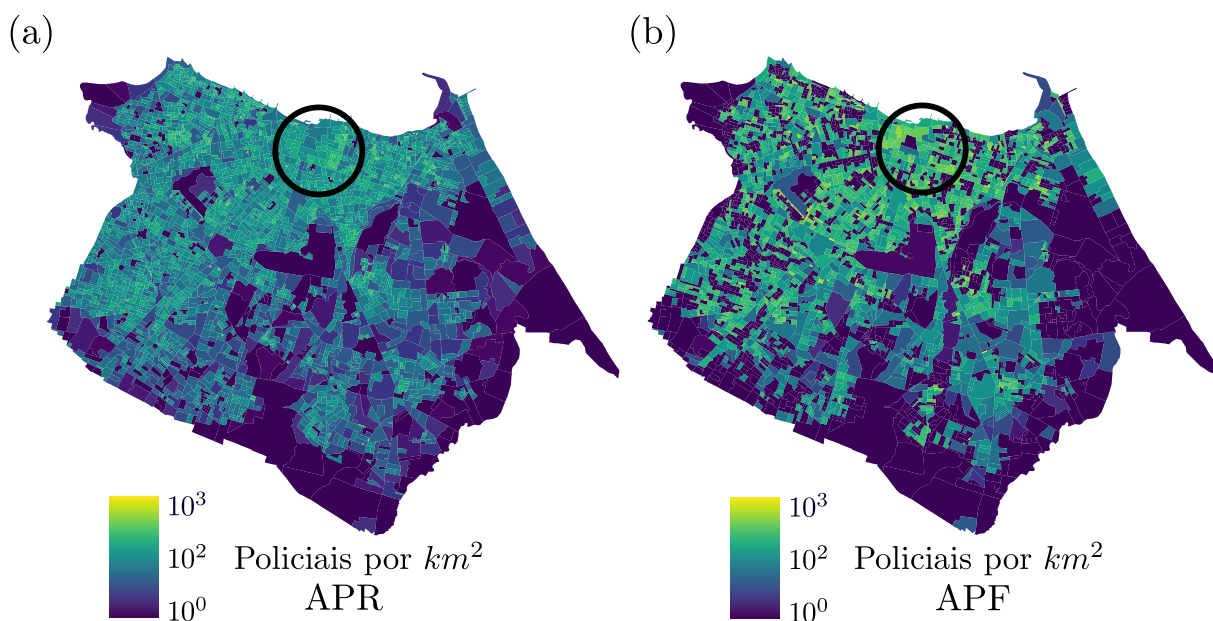


Figura 26 – **Alocação policial utilizando as duas estratégias estudadas.** Em (a) é ilustrado mapa de densidade de policiais alocados utilizando APR, em (b) é ilustrado mapa de densidade de policiais alocados utilizando APF. Os círculos pretos destacam o centro comercial de Fortaleza, área de grande concentração de PF e por consequência, grande concentração de CCP.

Para efeito de comparação, foi calculada a quantidade de policiais alocados por bairro utilizando APF. Foi somada a quantidade de policiais nos setores censitários localizados dentro de cada bairro (A Tabela 2 ilustra a quantidade de policiais por bairro). Após isso, foi calculada a diferença percentual entre a quantidade de policiais alocados por bairro nas duas estratégias. Na Figura 27, itens (a) e (b), são ilustrados os bairros onde a alocação é mais semelhante e mais diferente respectivamente.

Tabela 2 – Quantidade de policiais alocados por bairro pelas duas estratégias de alocação policial estudadas.

Id Bairro	APR	APF	Id Bairro	APR	APF	Id Bairro	APR	APF
35	67	93	36	5	14	54	137	99
33	13	18	34	61	71	50	131	103
39	50	28	37	39	52	52	43	111
38	165	167	43	231	242	53	100	98
42	68	69	41	89	94	46	225	215
40	10	0	22	16	18	51	37	63
23	562	571	24	17	27	44	144	115
25	131	163	26	5	3	47	181	120
27	66	131	28	61	60	48	19	14
29	71	58	3	385	349	45	97	75
2	64	61	1	20	28	61	167	139
0	44	62	30	40	43	49	19	17
7	29	33	6	87	115	63	46	59
32	96	96	5	119	120	60	53	61
31	18	20	4	95	74	65	48	49
9	50	62	8	106	128	62	82	111
19	24	30	17	60	60	55	69	82
18	37	48	15	199	159	64	32	23
16	125	118	13	130	137	57	170	118
14	36	53	11	55	64	56	25	36
12	85	65	21	99	70	59	143	88
20	83	87	109	42	34	58	59	61
108	40	63	107	109	147	75	69	59
106	103	63	105	141	175	76	57	36
104	88	76	103	5	5	73	148	144
99	121	72	102	7	0	74	29	39
101	110	102	100	85	101	71	39	43
98	92	103	97	31	22	72	63	30
96	56	77	95	35	38	68	202	205
94	61	62	93	78	165	70	153	137
92	4	4	91	39	28	66	42	54
90	122	111	10	271	278	69	199	232
88	125	67	89	58	57	85	10	3
79	176	88	114	69	96	67	26	32
78	49	42	115	138	167	87	42	22
77	123	91	112	100	133	84	43	58
113	95	117	110	173	190	81	30	14
111	31	26	82	54	59	86	24	6
83	15	24	80	138	181	-	-	-

De uma forma geral, observou-se menor diferença percentual nas alocações dos bairros com maior presença de PF. Esses bairros estão próximos ao centro comercial da cidade ou localizados em regiões com grande concentração de residentes (normalmente locais que são origem de fluxo de pessoas). Observou-se ainda que os bairros que apresentaram maior diferença percentual entre as quantidades de policiais alocados usando estratégias de alocação estudadas, são aqueles que possuem mais setores censitários não populados, ou seja, com densidade de PF abaixo do limiar D^* estimado na seção 5.1 desta tese.

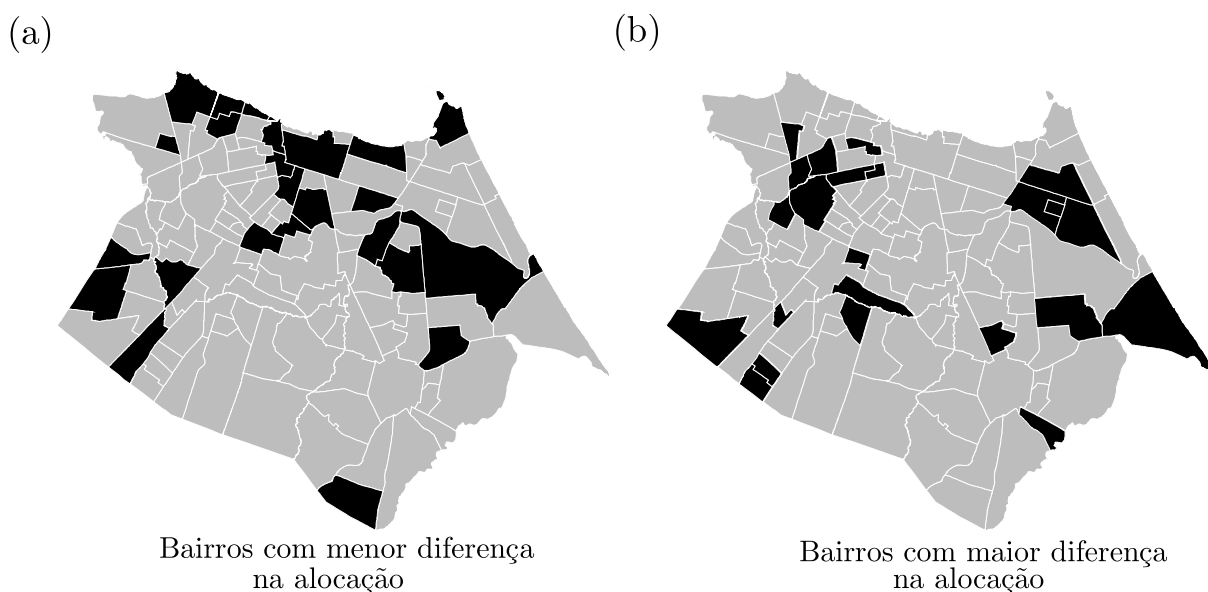


Figura 27 – **Diferenças e semelhanças entre as alocações estudadas.** Em (a) são destacados na cor preta os bairros que tiveram alocação mais parecida utilizando APR e APF. Em (b) são destacados os bairros com maior diferença na quantidade de policiais alocados. Em ambas as figuras foram destacados 24 bairros, 20% do total da cidade.

Na Figura 28 pode ser observada uma comparação mais precisa entre as duas estratégias de alocação. Em (a) são ilustradas as funções de interpolação (BOOR *et al.*, 1978) dos bairros pelo número de policiais alocados pelas duas estratégias estudadas. A interseção das áreas formadas pelas curvas da interpolação e o eixo x revela aproximadamente 15% de dissimilaridade entre as alocações. Essa dissimilaridade pode ser observada de forma mais clara na Figura 28 (b), na qual são ilustradas as funções de interpolação dos histogramas gerados a partir da quantidade de policiais alocados por bairros segundo as duas estratégias. A linha azul representa a função de interpolação dos dados de APR, já a linha vermelha representa a função estimada para APF. A região na cor azul claro demarca a interseção entre as distribuições. As regiões na cor vermelho claro representam faixas dos dados onde não houve interseção. Essas regiões somadas representam 15% da área total.

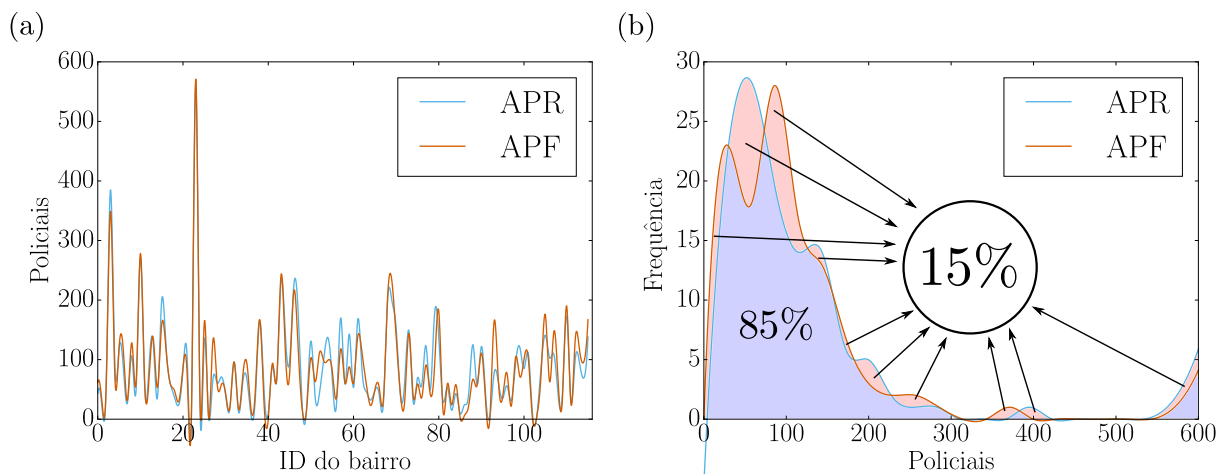


Figura 28 – **Comparação entre APR e APF.** Em (a) é ilustrada a quantidade de policiais alocados por bairro. A linha azul representa uma interpolação por *splines* cúbicos (BOOR *et al.*, 1978) (mais detalhes no Apêndice I) aplicada aos valores encontrados para APR. A linha vermelha representa a mesma interpolação aplicada para as quantidades de policiais alocados utilizando APF. Em (b) são ilustrados os histogramas das distribuições de alocação nos bairros da cidade. Para melhor visualização, os histogramas foram gerados em 20 *bins* (WAND, 1997).

A diferença constatada entre as estratégias de alocação estudadas pode ser fruto da ineficiência de APR. Enquanto a alocação produzida por APF é fortemente correlacionada com o fluxo de pessoas, APR falha ao distribuir a mesma quantidade de recursos policiais seguindo as leis de escala encontradas na seção 5.2 desta tese. Na referida seção foi observada relação superlinear, com expoente $\beta = 1.15 \pm 0.04$, entre CCP e PF. A Figura 29 ilustra as correlações entre a quantidade de policiais alocados, pelas duas estratégias estudadas, e população flutuante nos aglomerados de fluxo de Fortaleza. Em (a) é ilustrada a correlação entre as alocações produzidas por APF e o fluxo de pessoas, observa-se uma evidente relação superlinear, com expoente $\beta = 1.18 \pm 0.05$ e alto coeficiente de determinação (RAWLINGS; PANTULA; DICKEY, 2001; MONTGOMERY; PECK; VINING, 2015) ($R^2 = 0.83$), similar à encontrada na seção 5.2 desta tese. Em (b), apesar da aparente relação superlinear, o menor Coeficiente de Determinação ($R^2 = 0.70$) somado ao maior Erro Padrão do Coeficiente (RAWLINGS; PANTULA; DICKEY, 2001; MONTGOMERY; PECK; VINING, 2015) (± 0.11) relevam uma possível imprecisão de APR em alocar recursos policiais de acordo com as necessidades de Fortaleza. Outro aspecto digno de menção, ainda na Figura 29, é a maior dispersão dos pontos em APR. Essa dispersão também pode revelar imprecisão dos métodos de alocação por divisões administrativas. Em (b), são destacados quatro aglomerados de PF, que mesmo possuindo considerável nível de fluxo de pessoas, poucos policiais são alocados para atender suas respectivas regiões. Isso

ocorre porque as fronteiras dos bairros por vezes dividem os aglomerados de fluxo, que são naturalmente formados pela PF, dificultando uma alocação precisa naquela região.

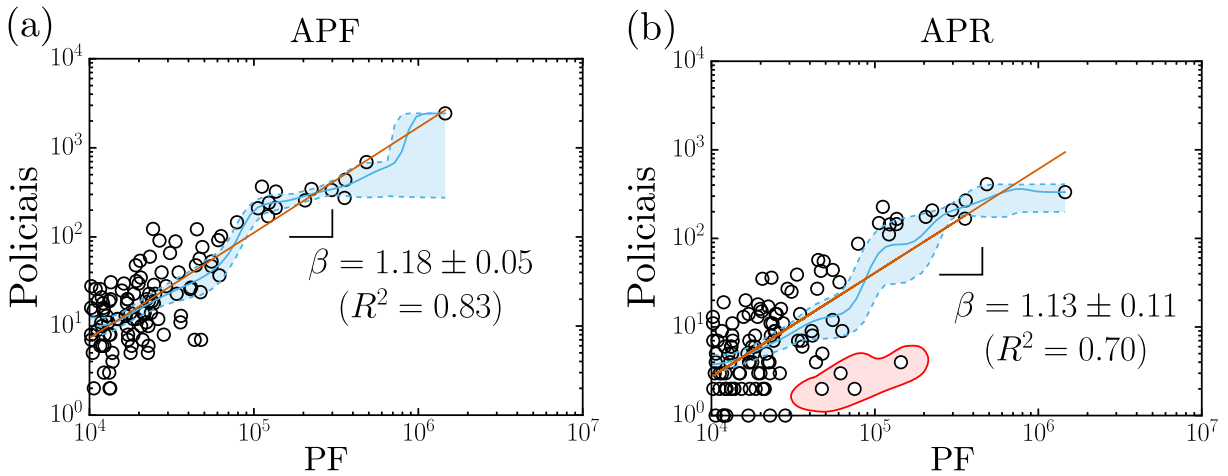


Figura 29 – **Correlações entre policiais alocados e fluxo de pessoas em APR e APF.** (a) e (b) ilustram respectivamente as correlações alcançadas para APF e APR. O eixo x representa a PF e o eixo y a quantidade de policiais alocados. As linhas vermelhas representam as regressões lineares aplicadas aos dados, as linhas contínuas azuis representam o método de Nadaraya-Watson (NADARAYA, 1964; WATSON, 1964) e as linhas tracejadas azuis delimitam o intervalo de confiança 95% estimado por *bootstrap* (RACINE; LI, 2004; LI; RACINE, 2004). Em (b) ainda são destacados quatro aglomerados (bolha vermelha) que têm proporcionalmente um fluxo grande de pessoas para uma pequena presença de policiais.

Existe uma evidente relação de causa e efeito entre PF e CCP. APR é capaz de produzir uma alocação policial superlinear em função do fluxo de pessoas, porém de forma imprecisa. Essa imprecisão se deve ao fato de que os métodos convencionais de alocação policial se baseiam apenas no efeito dessa relação entre quantidade de transeuntes e crimes. Quando APF considera os aglomerados de fluxo de pessoas como divisão territorial (causa) e a densidade de crimes para decidir a proporção de policiais adequada para cada aglomerado (efeito), é possível também alcançar a relação superlinear evidenciada anteriormente (na seção 5.2), no entanto, com maior precisão estatística, mensurada pelo coeficiente de determinação e erro padrão do coeficiente.

6.4 Discussão

Neste capítulo foi especificado um *framework* que apoia o maior entendimento a respeito da relação entre população e crime dentro de uma cidade. Esse *framework* ainda permite simular a alocação de recursos policiais por divisões administrativas de terreno e aglomerados de população. A motivação para a construção desse *framework* se deu pelos

achados apresentados no capítulo 5 desta tese, onde observou-se que população, residente ou flutuante, são correlacionadas com crimes, no entanto essa correlação é mais forte ou mais fraca dependendo do tipo de crime. O módulo de análise de dados desenvolvido permite manusear as informações e avaliar as correlações entre população e crime, para a partir daí, extrair a melhor divisão da cidade. Já o módulo de alocação usa uma divisão da cidade escolhida pelo usuário para simular a alocação de policiais por essa divisão, sendo essa alocação feita utilizando o modelo baseado em alta densidade de crimes.

O *framework* desenvolvido foi utilizado para gerar os aglomerados de população flutuante ilustrados na Figura 20b. Essa divisão da cidade foi utilizada em um estudo comparativo, que revelou que a alocação de recursos policiais em aglomerados de população flutuante conduz a uma distribuição de recursos significativamente diferente de estratégias de alocação baseadas em regiões administrativas, comumente definidas a partir da presença de residentes. Mais ainda, foi mostrado que a alocação tendo como base os aglomerados de população flutuante tende a ser mais adequada para combater o CCP, pois a distribuição de recursos policiais seguirá naturalmente uma lei de potência, o que é desejável, visto que se espera que o crime cresça desproporcionalmente em áreas com alta densidade de PF.

Os aspectos aqui discutidos abrem novas linhas de investigação. Em particular, é importante ressaltar que no capítulo 5 desta tese também mostrou-se que, para PSA, a relação superlinear só é percebida tendo como base aglomerados definidos a partir de características da população residente. Isso indica que é necessário elaborar uma estratégia híbrida, em que diferentes políticas de alocação e diferentes divisões do espaço urbano precisam ser levadas em consideração para cada tipo de crime.

É digno de destaque ainda que existe a possibilidade de carregar no *framework* dados, de população e crimes, correspondentes a apenas uma parte do dia. É possível por exemplo carregar dados de PF e CCP apenas para um turno do dia, permitindo estudo de alocações diferentes por período de um dia. Mesmo no caso de PR, que não há informação nos conjuntos de dados do horário em que as pessoas estão de fato em suas residências, é possível fazer diferentes alocações no decorrer de um dia, pois é sabido que a maior parte das pessoas está em casa no turno da noite e madrugada.

7 Conclusão

Este capítulo é dedicado às considerações finais como conclusão desta tese. A seção 7.1 contém os resultados alcançados com a execução deste trabalho, onde serão apresentadas também as principais contribuições desta pesquisa. Na seção 7.2 são descritas as limitações deste trabalho, será feita uma discussão sobre as principais dificuldades encontradas para ampliar o escopo da pesquisa. Por fim, na seção 7.3, são sugeridas proposições para pesquisas futuras.

7.1 Resultados alcançados e contribuições

Neste trabalho foi identificado que a relação entre população e crime é também alométrica dentro de uma cidade. Fazendo uso do *City Clustering Algorithm* (CCA) (MAKSE *et al.*, 1998; ROZENFELD *et al.*, 2008; GIESEN; ZIMMERMANN; SUEDEKUM, 2010; ROZENFELD *et al.*, 2011; DURANTON; PUGA, 2013; GALLOS *et al.*, 2012; DURANTON, 2015; EECKHOUT, 2004) para determinar aglomerados de população intracidade, foi mensurado volume de influência social com base na presença de população residente e flutuante nos setores censitários de Fortaleza, uma grande metrópole brasileira, localizada no estado do Ceará. Ao contrário de estudos intercidades, onde a influência social foi medida apenas pela presença de residentes, aqui se propõe que, dentro de uma cidade, a mobilidade humana seja considerada para entender a dinâmica de crimes contra o patrimônio. Foram alcançados resultados que mostram que a incidência desse tipo de crime cresce de forma superlinear, seguindo uma lei de potência em função da população flutuante, com expoente alométrico $\beta = 1.15 \pm 0.04$. Esse resultado sugere que o aumento do fluxo de pessoas em uma região da cidade leva a um número desproporcionalmente maior de crimes contra o patrimônio na mesma região.

A correlação observada entre população flutuante e crimes contra o patrimônio está de acordo com a Teoria das Atividades Rotineiras (COHEN; FELSON, 1979), que afirma que um crime ocorre pela convergência das rotinas de um agressor motivado, uma vítima desprotegida e a ausência de um guardião capaz de impedir o delito. Além de fornecer suporte quantitativo para essa teoria, o estudo apresentado nesta tese de doutorado indica o fato de que a convergência dessas rotinas produz um crescimento desproporcional

da criminalidade. Esse resultado contrasta claramente com a incidência de chamadas relacionadas à perturbação de sossego alheio, onde uma relação alométrica também pode ser observada, mas em função de população residente, com expoente alométrico $\beta = 1.18 \pm 0.04$.

Sobre esses resultados, é ampla a discussão a respeito de leis de escala em indicadores urbanos e é sabido que relações superlineares entre população e esses indicadores não são de fato livres de escala (BETTENCOURT *et al.*, 2007; ROZENFELD *et al.*, 2008). Apesar dos efeitos dessas relações crescerem seguindo uma lei de potência em função das suas causas, não é esperado que esse crescimento ocorra indefinidamente, tal qual é observado em estudos biológicos. No caso de uma relação alométrica entre população e homicídios (MELO *et al.*, 2014), por exemplo, é intuitivo pensar que em algum momento essa relação assumirá comportamento isométrico ou sublinear, pois basicamente existem duas possibilidades: ou a população crescerá e os homicídios diminuirão, atenuando o comportamento superlinear, ou ocorrerão tantos homicídios que será impossível que a população cresça, inviabilizando a percepção da relação superlinear para ordens de grandeza superiores. Um fato que pode indicar que uma relação superlinear está a caminho de sofrer uma transição para uma relação isométrica é a presença de observações do fenômeno abaixo da reta de regressão, principalmente nas suas maiores ordens de grandeza. Mesmo diante da sua natureza microdinâmica, natureza ideal para compreensão mais precisa da dinâmica desses indicadores no espaço urbano, neste estudo, não foi percebido qualquer indício de que essas relações superlineares entre população e crimes estejam próximas de um ponto de atenuação.

A compreensão da dinâmica do crime dentro de uma grande metrópole pode ajudar em eventuais políticas de mitigação da violência, essencialmente na tarefa de alocação de recursos policiais. A partir dos achados desta pesquisa, foi conduzido um exercício de aplicação da descoberta de que leis de escala governam a relação entre população e crime. Foi simulada e comparada a alocação de policiais em Fortaleza por unidades administrativas de terreno e aglomerados de população flutuante. Os resultados alcançados revelam que a alocação por unidades administrativas de terreno falha em distribuir recursos policiais seguindo as leis de escala observadas anteriormente, transparecendo uma provável imprecisão de métodos de alocação policial convencionais para prevenir crimes contra o patrimônio, por exemplo. Neste trabalho se conjectura de que a suposta imprecisão das estratégias de alocação policial convencionais advêm do fato de que as autoridades

policiais distribuem recursos no espaço urbano considerando apenas o efeito da relação entre população flutuante e crimes contra o patrimônio, a densidade de crimes.

7.2 Limitações da pesquisa

Neste trabalho buscou-se compreender um fenômeno, mais precisamente buscou-se compreender a dinâmica do crime dentro de uma cidade. Embora Fortaleza tenha sido dividida de inúmeras formas e mais de 80% dessas divisões tenham apresentado uma relação alométrica entre população e crime, a generalização desse achado é condicionada a verificação do fenômeno em outras cidades. Durante a execução desta tese buscou-se bases de dados de mobilidade humana para outras grandes metrópoles, no entanto, foi constatada uma grande dificuldade de se obter acesso a conjuntos de dados desse tipo, essencialmente por questões de privacidade. Uma alternativa comercial para vencer essa dificuldade é comprar dados da plataforma *LandScan*, que faz uso de um sistema de informação geográfica e sensoriamento remoto para estimar a população flutuante em todo o globo terrestre, com aproximadamente 1 *km* de resolução. O *LandScan* pode ser definido ainda como uma plataforma de alta resolução de dados de população ambiente (ANDRESEN, 2011; MALLESON; ANDRESEN, 2015), onde é definida a quantidade de população flutuante em cada local por uma média de cada 24 horas. Recentemente foi adquirido recurso para a compra dos dados de população ambiente da plataforma para várias cidades americanas, no entanto, por questões burocráticas, não foi obtido acesso a esses dados antes da conclusão desta tese.

Outra limitação desta pesquisa está relacionada à validação da estratégia de Alocação por População Flutuante (APF), proposta no capítulo 6 desta tese. Apesar de ter sido mostrado que a APF tende a ser mais adequada para combater o crimes contra o patrimônio, essencialmente porque a distribuição de recursos policiais seguirá naturalmente uma lei de potência, não foi verificado se APF é de fato mais efetiva na prevenção de crimes que estratégias de alocação policial convencionais. Para realizar uma validação mais profunda seria necessário um teste em campo ou a aplicação dessa estratégia em modelos de simulação (MELO; BELCHIOR; FURTADO, 2005). Infelizmente, ambas as soluções se mostraram inviáveis nesta pesquisa.

7.3 Trabalhos futuros

Os trabalhos futuros identificados nesta tese de doutorado podem ser divididos em dois grupos:

- (i) Aplicações para a descoberta de que relações alométricas entre população e crime ocorrem também dentro de cidades.
- (ii) Aplicações para a rede de fluxo de pessoas reconstruída nesta tese a partir de dados de mobilidade do sistema de ônibus de Fortaleza.

A respeito de trabalhos futuros para a aplicação desse novo conhecimento de que existe uma relação superlinear entre população e chamadas à polícia dentro de cidades, pode ser destacado a definição de políticas públicas para propor estratégias de reorganização do espaço urbano. Sabendo que, a quantidade de crimes contra o patrimônio, por exemplo, cresce seguindo uma lei de potência em função da quantidade de transeuntes e assumindo que uma redistribuição populacional não altera o comportamento superlinear observado, deve ser evitado que existam lugares que concentrem muitas pessoas. A concentração de muitas pessoas em poucos lugares produz mais crimes, desta forma, uma redistribuição populacional que proporcione que parcelas iguais de população flutuante estejam distribuídas pelo espaço urbano diminuirá a violência em termos quantitativos. Uma redistribuição do fluxo de pessoas no espaço urbano de uma grande metrópole pode ser alcançada em médio prazo, a partir de políticas públicas de incentivo ao uso de certas áreas da cidade, ou em longo prazo, a partir da criação de zonas autônomas (áreas que atendam por completo pessoas da região, com emprego, moradia, escolas e lazer, reduzindo o processo de comutação entre as zonas da cidade) com distribuição populacional uniforme. Essa política pública é de grande complexidade de execução, especialmente porque pessoas que vivem em grandes cidades possuem hábitos de mobilidade que dificultam o processo. A título de exemplo, recentemente foi mostrado que mais de 30% da população da cidade passa pelo centro econômico de Fortaleza em um dia de semana (CAMINHA *et al.*, 2016a; CAMINHA *et al.*, 2016b).

Em relação a aplicações para a rede de fluxo de pessoas reconstruída neste trabalho, atualmente está sendo desenvolvido um simulador de sistemas de transporte público, projetado a partir de dados reais de mobilidade dos cidadãos de Fortaleza. Foi estimada a probabilidade de um passageiro surgir em uma parada de ônibus, escolher uma

determinada linha de ônibus e escolher um ponto de baldeação. Essas probabilidades foram estimadas através da demanda real da rede de ônibus, representada pela rede de fluxo reconstruída nesta tese. Se espera que, em breve, seja possível simular o efeito que mudanças no espaço urbano ou na estrutura da rede de transporte público têm em indicadores sociais e vice-versa. Trabalhos em andamento, utilizando esse simulador, mostram que os cidadãos de Fortaleza escolhem rotas ruins (FURTADO *et al.*, 2017) e há indícios de que muitas pessoas escolhem rotas mais lentas para evitar áreas perigosas (SULLIVAN *et al.*, 2017). Em curto prazo, se espera que seja possível testar a criação/alteração de rotas de linhas de ônibus antes das mesmas serem implementadas. A longo prazo é esperado que seja possível estudar o comportamento do crime após uma reorganização do espaço urbano, como a criação das zonas autônomas já mencionadas nesta seção.

Motivado pelos inúmeros trabalhos que buscam compreender a propagação de doenças em uma macroescala global (COLIZZA *et al.*, 2007; HUFNAGEL; BROCKMANN; GEISEL, 2004; WANG *et al.*, 2009), pelas recorrentes epidemias de dengue no Brasil e pela carência de estudos que utilizam dados de mobilidade humana para compreender a dinâmica da propagação de epidemias em microescala (escala de cidade), é identificado como trabalho futuro relacionado a esta tese de doutorado a compreensão do espalhamento do vírus da dengue em Fortaleza. Deseja-se utilizar a rede de mobilidade humana reconstruída para descobrir focos do mosquito *aedes aegypti*, único vetor reconhecido como transmissor do vírus. A partir de uma base de dados, recém adquirida, de atendimentos de casos da doença ocorridos entre 2008 e 2016, busca-se estudar as rotinas de movimentação das pessoas infectadas a fim de encontrar focos desconhecidos de proliferação do mosquito. Um dos grandes desafios dessa pesquisa está relacionado ao fato de que não há qualquer informação a respeito da distribuição espacial dos mosquitos. Deste modo, deseja-se utilizar modelos estatísticos e de simulação, aliados à utilização de dados reais de mobilidade e casos da doença, para compreender a propagação da doença em uma grande metrópole.

Apêndice I

Aqui será realizada uma introdução aos métodos numéricos aplicados nesta tese. Inicialmente será detalhado o método de Regressão Linear, que é a principal técnica estatística utilizada para estimar relações alométricas. Em seguida, será formalizado um método de regressão do *kernel*, denominado *Nadaraya-Watson*, que frequentemente é utilizado em trabalhos que investigam relações alométricas. Por fim, serão definidas interpolações por *splines*, que foram utilizadas nesta tese para delimitar a área de distribuições de dados.

Regressão linear

Relações alométricas são usualmente estimadas estatisticamente por meio de uma regressão linear. Esse método é indicado em situações onde é necessário estimar uma relação de causa e efeito entre duas variáveis. O método estima a reta que mais se aproxima dos valores observados, considerando um erro possível no eixo y , eixo onde o efeito dessa relação é ilustrado. Seja um conjunto de dados $\{X_i, Y_i\}_i^N$ e supondo que a função que melhor se ajusta a tais dados seja uma equação da reta, do tipo,

$$y = a + bx, \quad (7.1)$$

considera-se b o *slope* ou inclinação da reta e a o valor mínimo assumido por y , que naturalmente ocorre quando $x = 0$. Uma equação alométrica,

$$Y = aX^\beta, \quad (7.2)$$

pode ser ajustada como uma equação da reta ao aplicar o logaritmo dos seus dados,

$$\log(Y) = \log(a) + \beta \log(X), \quad (7.3)$$

onde o expoente alométrico, β , é obtido pela inclinação da reta.

O método dos mínimos quadrados ou *ordinary least square* (OLS) (RAWLINGS; PANTULA; DICKEY, 2001; MONTGOMERY; PECK; VINING, 2015; PRESS *et al.*, 1987) estima o *slope* da função, formalmente,

$$\text{slope} = \sum_{i=1}^N \frac{(x_i - \bar{x})(y_i - \bar{y})}{(x_i - \bar{x})^2}, \quad (7.4)$$

onde \bar{x} e \bar{y} correspondem a média aritmética dos valores de x e y respectivamente, formalmente,

$$\bar{x} = \sum_{i=1}^N \frac{x_i}{N} \quad (7.5)$$

e

$$\bar{y} = \sum_{i=1}^N \frac{y_i}{N}. \quad (7.6)$$

A Figura 30 ilustra uma regressão linear aplicada em dados sintéticos. Foram gerados 1000 valores de x , tal que $1 \leq x \leq 1000$, e y foi calculado em função de x para $a = 0.1$ e $slope = 3.0 \pm 0.05$.

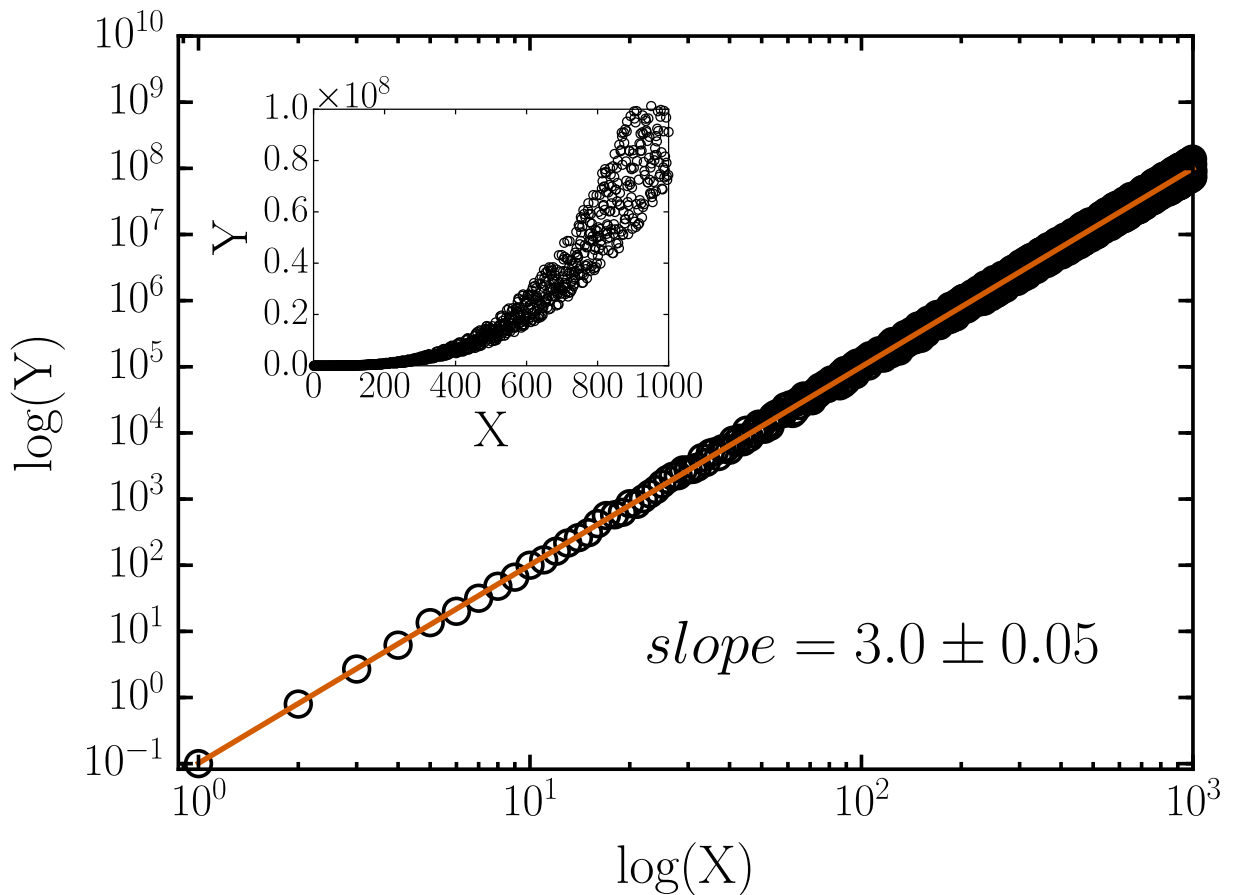


Figura 30 – **Regressão linear simples aplicada em dados sintéticos.** Cada círculo representa uma amostra gerada sinteticamente. A reta contínua laranja ilustra a regressão linear simples aplicada aos dados, com $slope = 3.0 \pm 0.05$. A figura ainda exibe um gráfico embutido, onde é ilustrada a mesma distribuição, no entanto, em escala linear.

Além disso, é possível calcular o coeficiente de determinação (RAWLINGS; PANTULA; DICKEY, 2001; MONTGOMERY; PECK; VINING, 2015; PRESS *et al.*, 1987),

R^2 , um indicador que mensura a qualidade do ajuste da função, formalmente:

$$R^2 = slope \frac{\frac{\sum_{i=1}^N (x_i - \bar{x})^2}{N-1}}{\frac{\sum_{i=1}^N (y_i - \bar{y})^2}{N-1}} \quad (7.7)$$

R^2 tem intervalo entre 0 e 1, onde quanto mais próximo for R^2 de 1, melhor será o ajuste da Eq.7.1 aos dados.

Outra medida de ajuste associada à técnica de regressão linear simples é o cálculo do erro padrão, EP , formalmente,

$$EP = \sqrt{\frac{\sum_{i=1}^N (y_i - y'_i)^2}{N}} \quad (7.8)$$

onde y'_i é o valor esperado de y_i a partir da reta de regressão estimada.

Nadaraya-Watson

Uma regressão do *kernel* ou *Kernel Regression* é uma técnica estatística não-paramétrica para estimar a expectativa condicional de uma variável aleatória. O objetivo é encontrar uma relação não-linear entre um par de variáveis aleatórias x e y . Para uma distribuição de dados $\{X_i, Y_i\}_i^N$, é aplicado o método de *Nadaraya-Watson* para construir a função mais suave do *kernel*,

$$m_h(x) = \sum_{i=1}^N \frac{K_h(x - X_i) Y_i}{K_h(x - X_i)}, \quad (7.9)$$

onde N é o número de pontos da distribuição e $K_h(x - X_i)$ é função gaussiana de *kernel* definida formalmente como

$$K_h(x - X_i) = \exp \left[-\frac{(x - X_i)^2}{2h^2} \right], \quad (7.10)$$

onde h é a largura de banda estimada pelo método de validação cruzada dos mínimos quadrados (NADARAYA, 1964; WATSON, 1964). Nesta tese foi computado 95% de IC (intervalo de confiança) em 500 amostras *bootstrapping* aleatórias com substituição para todas as distribuições de dados analisadas.

Interpolação por splines

O conceito de *spline* é originado de uma técnica de desenho arquitetônico em que se usa um barbante flexível (chamado *spline*) para desenhar uma curva que conecta um conjunto de pontos em sequência (SCHOENBERG, 1973). Uma curva contínua é usada para intercalar esses pontos afixados. A função de ajuste dessa curva poder ser representada por uma equação da reta, polinômio de grau dois ou três (RALSTON; RABINOWITZ, 2001). Mais precisamente, são utilizados polinômios de pequeno grau para unir dois pontos consecutivos de uma amostragem.

Em uma interpolação linear busca-se desenhar uma reta para cada sequência de dois pontos de uma distribuição de dados. Para interpolações por *splines* quadráticos e cúbicos o processo é similar, no entanto, são substituídas as retas por equações do segundo e terceiro grau, respectivamente, na ligação dos pontos. A Figura 31 ilustra interpolações aplicadas a dados sintéticos.

Nesta tese foram utilizadas interpolações por *splines* cúbicos. Esse tipo de interpolação pode ser definido formalmente a partir de um conjunto de pontos $\{X_i, Y_i\}_i^N$, onde não há $x_i = x_{i+1}$ e $a = x_0 < x_1 < \dots < x_n = b$, o *spline* $S(x)$ é uma função que satisfaz:

- (i) $S(x) \in C^2[a, b]$
- (ii) Em cada subintervalo x_{i-1}, x_i , $S(x)$ é um polinômio de grau três, onde $i = 1, \dots, N$.
- (iii) $S(x) = y_i$, para todo $i = 1, \dots, N$.

A partir disso é assumido que:

$$S(x) = \begin{cases} C_1(x), & x_1 \leq x \leq x_1 \\ \dots \\ C_i(x), & x_{i-1} \leq x \leq x_i \\ \dots \\ C_n(x), & x_{n-1} \leq x \leq x_n \end{cases}$$

onde cada $C_i = a_i + b_i x + c_i x^2 + d_i x^3$ (para $d \neq 0$) é uma função cúbica, $i = 1, \dots, n$.

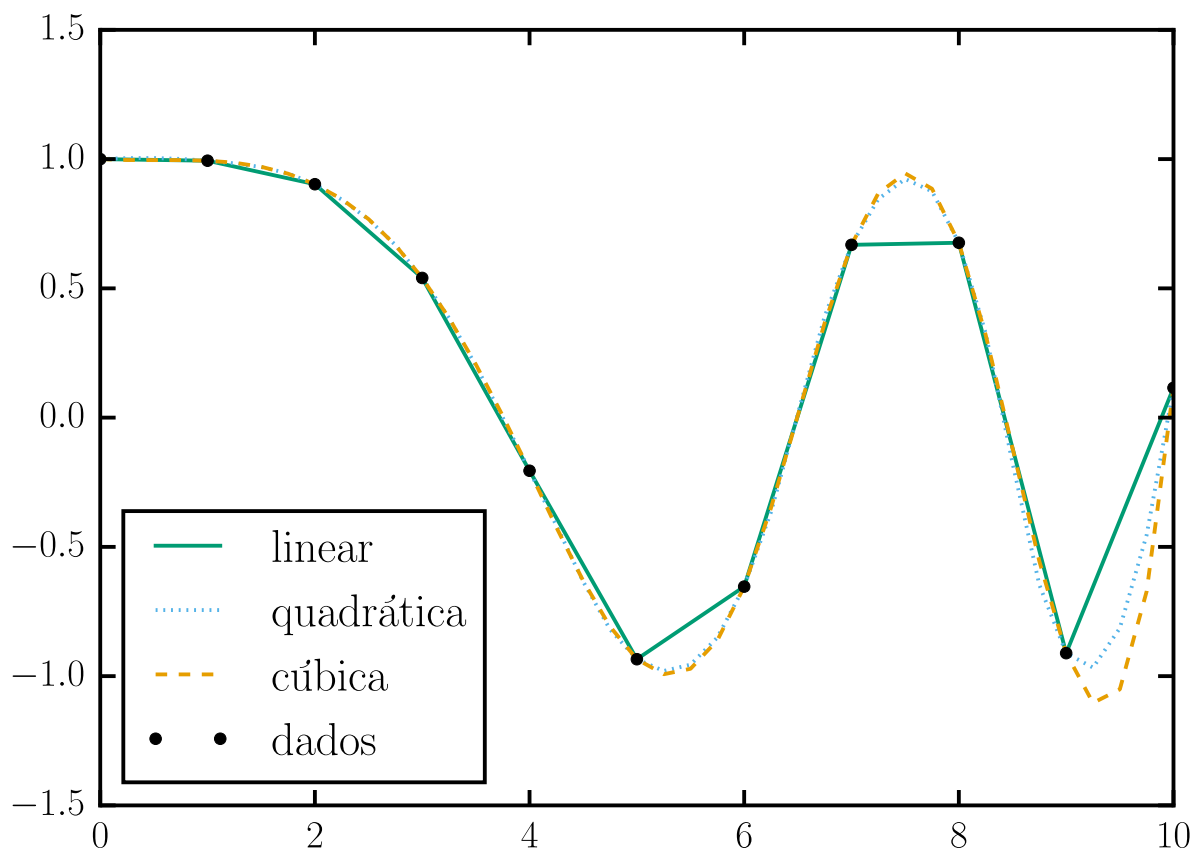


Figura 31 – **Tipos de interpolação em um conjunto de dados de exemplo.** Os círculos pretos representam os valores $\{X_i, Y_i\}_i^N$ de um conjunto de dados hipotético. A linha contínua verde é o resultado de uma interpolação por *splines* lineares nesse conjunto de dados. A linha pontilhada azul ilustra uma interpolação por *splines* quadráticos. Por fim, a linha tracejada amarela representa uma interpolação por *splines* cúbicos.

Apêndice II

Sumário de dados

Título	Tamanho	Tipo	Disponibilidade
Paradas de ônibus	122k	CSV	http://dados.fortaleza.ce.gov.br/catalogo/dataset/dados-de-onibus-11-03-2015
GPS de ônibus	236,7M	CSV	http://dados.fortaleza.ce.gov.br/catalogo/dataset/dados-de-onibus-11-03-2015
Dados de bilhetagem	77,8M	CSV	http://dados.fortaleza.ce.gov.br/catalogo/dataset/dados-de-onibus-11-03-2015
Crimes: CCP e PSA	14,9M	CSV	http://wikicrimes.org/dados-oficiais/crimes.csv
Mapa de setores censitários	7,9M	KMZ	http://www.ibge.gov.br/english/
Mapa de bairros	504,2 K	KML	http://mapas.fortaleza.ce.gov.br/
População residente	7,8M	CSV	http://www.ibge.gov.br/

Publicações

Artigos publicados em periódicos

CAMINHA, C. et al. Human mobility in large cities as a proxy for crime. *PLoS ONE*, v. 2, n. 12, p. e0171609, 2017.

CAMINHA, C.; FURTADO, V. Modeling user reports in crowdmaps as a complex network. In: *Journal of Information and Data Management* 3 (3), 179, 2013.

FURTADO, V. et al. Open government and citizen participation in law enforcement via crowd mapping. *IEEE Intelligent Systems*, IEEE, v. 27, n. 4, p. 63–69, 2012.

Artigos publicados em anais de congresso

CAMINHA, C. et al. Detecção de comunidades em redes complexas para identificar gargalos e desperdício de recursos em sistemas de ônibus. In: *IV Brazilian Workshop on Social Network Analysis and Mining*, 2017. p. 1-7.

CAMINHA, C. et al. Micro-interventions in urban transportation from pattern discovery on the flow of passengers and on the bus network. In: IEEE. *Smart Cities Conference (ISC2), 2016 IEEE International*. [S.l.], 2016. p. 1–6.

PONTE, C.; CAMINHA, C.; FURTADO, V. Busca de melhor caminho entre dois pontos quando múltiplas origens e múltiplos destinos são possíveis. In: *ENIAC*. [S.l.: s.n.], 2016.

CAMINHA, C.; FURTADO, V. Impact of Human Mobility on Police Allocation. In: *Conference of Intelligence and Security Informatics (ISI)*, 2017.

SULLIVAN, D.; et al. Towards Understanding the Impact of Crime in a Choice of a Route by a Bus Passenger. In: *Agent-Based Modelling for Criminological Research*, 2017.

Artigos sob avaliação

FURTADO, V. et al. Increasing the Likelihood of Finding Public Transport Riders that Face Problems Through a Data-Driven approach. *In. Journal of Transportation Research*, 2017.

Referências

AGNEW, R. Pressured into crime: An overview of general strain theory. 2007. Citado na página 76.

ALBERT, R.; BARABÁSI, A.-L. Statistical mechanics of complex networks. *Reviews of modern physics*, APS, v. 74, n. 1, p. 47, 2002. Citado 2 vezes nas páginas 46 e 47.

ALBERT, R.; JEONG, H.; BARABÁSI, A.-L. Error and attack tolerance of complex networks. *nature*, Nature Publishing Group, v. 406, n. 6794, p. 378–382, 2000. Citado na página 47.

ALVES, L. *et al.* Spatial correlations, clustering and percolation-like transitions in homicide crimes. *EPL (Europhysics Letters)*, IOP Publishing, v. 111, n. 1, p. 18002, 2015. Citado na página 22.

ALVES, L. G. *et al.* Scale-adjusted metrics for predicting the evolution of urban indicators and quantifying the performance of cities. *PloS One*, Public Library of Science, v. 10, n. 9, p. e0134862, 2015. Citado na página 23.

ALVES, L. G. *et al.* Distance to the scaling law: a useful approach for unveiling relationships between crime and urban metrics. *PLoS One*, Public Library of Science, v. 8, n. 8, p. e69580, 2013. Citado na página 22.

ALVES, L. G.; RIBEIRO, H. V.; MENDES, R. S. Scaling laws in the dynamics of crime growth rate. *Physica A: Statistical Mechanics and its Applications*, Elsevier, v. 392, n. 11, p. 2672–2679, 2013. Citado na página 22.

ANDERSON, J. E.; WINCOOP, E. V. Gravity with gravitas: a solution to the border puzzle. *the american economic review*, American Economic Association, v. 93, n. 1, p. 170–192, 2003. Citado na página 46.

ANDRESEN, M. A. The ambient population and crime analysis. *The Professional Geographer*, Taylor & Francis, v. 63, n. 2, p. 193–212, 2011. Citado 2 vezes nas páginas 48 e 91.

ANSELIN, L. *et al.* Spatial analyses of crime. *Criminal justice*, v. 4, n. 2, p. 213–262, 2000. Citado na página 39.

- ANSELIN, L.; VARGA, A.; ACS, Z. J. Geographic and sectoral characteristics of academic knowledge externalities. *Papers in regional science*, Springer, v. 79, n. 4, p. 435–443, 2000. Citado na página 40.
- ARBESMAN, S.; KLEINBERG, J. M.; STROGATZ, S. H. Superlinear scaling for innovation in cities. *Physical Review E*, APS, v. 79, n. 1, p. 016115, 2009. Citado na página 23.
- ARCAUTE, E. *et al.* Constructing cities, deconstructing scaling laws. *Journal of The Royal Society Interface*, The Royal Society, v. 12, n. 102, p. 20140745, 2015. Citado 6 vezes nas páginas 10, 33, 34, 36, 64 e 66.
- ARCAUTE, E. *et al.* Cities and regions in britain through hierarchical percolation. *Open Science*, The Royal Society, v. 3, n. 4, p. 150691, 2016. Citado 2 vezes nas páginas 23 e 35.
- BEATO, C.; SILVEIRA, A. Effectiveness and evaluation of crime prevention programs in minas gerais. *Stability: International Journal of Security and Development*, v. 3, n. 1, 2014. Citado na página 76.
- BENTO, A. M.; FRANCO, S. F.; KAFFINE, D. The efficiency and distributional impacts of alternative anti-sprawl policies. *Journal of Urban Economics*, Elsevier, v. 59, n. 1, p. 121–141, 2006. Citado na página 38.
- BERK, R. Asymmetric loss functions for forecasting in criminal justice settings. *Journal of Quantitative Criminology*, Springer, v. 27, n. 1, p. 107–123, 2011. Citado 2 vezes nas páginas 76 e 81.
- BETTENCOURT, L. M. The origins of scaling in cities. *science*, American Association for the Advancement of Science, v. 340, n. 6139, p. 1438–1441, 2013. Citado na página 23.
- BETTENCOURT, L. M. *et al.* Growth, innovation, scaling, and the pace of life in cities. *Proceedings of the national academy of sciences*, National Acad Sciences, v. 104, n. 17, p. 7301–7306, 2007. Citado 11 vezes nas páginas 19, 23, 25, 28, 30, 32, 33, 59, 62, 67 e 90.
- BETTENCOURT, L. M. *et al.* Urban scaling and its deviations: Revealing the structure of wealth, innovation and crime across cities. *PloS One*, Public Library of Science, v. 5, n. 11, p. e13541, 2010. Citado 2 vezes nas páginas 32 e 72.
- BOOR, C. D. *et al.* *A practical guide to splines*. [S.l.]: Springer-Verlag New York, 1978. v. 27. Citado 3 vezes nas páginas 18, 85 e 86.

- BRANTINGHAM, P. J.; BRANTINGHAM, P. L. *Environmental criminology*. [S.l.]: Sage Publications Beverly Hills, CA, 1981. Citado 3 vezes nas páginas 40, 42 e 75.
- BRANTINGHAM, P. J.; BRANTINGHAM, P. L. *Patterns in crime*. [S.l.]: Macmillan New York, 1984. Citado na página 42.
- BROCKMANN, D.; HUFNAGEL, L.; GEISEL, T. The scaling laws of human travel. *Nature*, Nature Publishing Group, v. 439, n. 7075, p. 462–465, 2006. Citado na página 45.
- BROWN, J. H. *Scaling in biology*. [S.l.]: Oxford University Press on Demand, 2000. Citado na página 29.
- BROWNSTONE, D.; GOLOB, T. F. The impact of residential density on vehicle usage and energy consumption. *Journal of Urban Economics*, Elsevier, v. 65, n. 1, p. 91–98, 2009. Citado na página 38.
- BULLOCK, H. A. Urban homicide in theory and fact. *The Journal of Criminal Law, Criminology, and Police Science*, JSTOR, v. 45, n. 5, p. 565–575, 1955. Citado na página 43.
- CAMINHA, C.; FURTADO, V. Modeling user reports in crowdmaps as a complex network. In: CITESEER. *Proceedings of 21st International World Wide Web Conference*. [S.l.], 2012. Citado na página 22.
- CAMINHA, C. *et al.* Micro-interventions in urban transportation from pattern discovery on the flow of passengers and on the bus network. In: IEEE. *Smart Cities Conference (ISC2), 2016 IEEE International*. [S.l.], 2016. p. 1–6. Citado 4 vezes nas páginas 45, 47, 51 e 92.
- CAMINHA, C. *et al.* Mining the networks of supply and demand of public transport for overload and waste of resources. *CoRR*, abs/1606.03737, 2016. Disponível em: <<http://arxiv.org/abs/1606.03737>>. Citado 4 vezes nas páginas 45, 47, 51 e 92.
- CAYWOOD, T. Routine activities and urban homicides: a tale of two cities. *Homicide Studies*, SAGE Periodicals Press, v. 2, n. 1, p. 64–82, 1998. Citado na página 43.
- CENTRO, D. espacial da criminalidade no. Distribuição espacial da criminalidade no centro histórico da cidade de belém (pará/brasil). Citado na página 39.
- CLARKE, R.; FELSON, M. *Routine Activity and Rational Choice*. [S.l.]: Transaction Publishers, 1993. (Advances in Criminological Theory). ISBN 9781560000877. Citado 2 vezes nas páginas 22 e 24.

- COHEN, L.; FELSON, M. Social change and crime rate trends: A routine activity approach. *American Sociological Review*, [American Sociological Association, Sage Publications, Inc.], v. 44, n. 4, p. 588–608, 1979. ISSN 00031224. Disponível em: <<http://www.jstor.org/stable/2094589>>. Citado 8 vezes nas páginas 22, 24, 39, 42, 69, 72, 74 e 89.
- COLIZZA, V. *et al.* Modeling the worldwide spread of pandemic influenza: baseline case and containment interventions. *PLoS Med*, Public Library of Science, v. 4, n. 1, p. e13, 2007. Citado 2 vezes nas páginas 48 e 93.
- COTTINEAU, C. *et al.* Defining urban agglomerations to detect agglomeration economies. *arXiv preprint arXiv:1601.05664*, 2016. Citado 5 vezes nas páginas 23, 33, 34, 64 e 66.
- DAIGLE, L. E.; FISHER, B. S.; CULLEN, F. T. The violent and sexual victimization of college women is repeat victimization a problem? *Journal of interpersonal violence*, Sage Publications, v. 23, n. 9, p. 1296–1313, 2008. Citado na página 44.
- DODMAN, D. Blaming cities for climate change? an analysis of urban greenhouse gas emissions inventories. *Environment and Urbanization*, SAGE Publications, v. 21, n. 1, p. 185–201, 2009. Citado na página 38.
- D'ORSOGNA, M. R.; PERC, M. Statistical physics of crime: A review. *Physics of life reviews*, Elsevier, v. 12, p. 1–21, 2015. Citado na página 22.
- DURANTON, G. Delineating metropolitan areas: Measuring spatial labour market networks through commuting patterns. In: *The Economics of Interfirm Networks*. [S.l.]: Springer, 2015. p. 107–133. Citado 5 vezes nas páginas 25, 34, 65, 66 e 89.
- DURANTON, G.; PUGA, D. The growth of cities. CEPR Discussion Paper No. DP9590, 2013. Citado 5 vezes nas páginas 25, 34, 65, 66 e 89.
- EAGLE, N.; PENTLAND, A.; LAZER, D. Inferring social network structure using mobile phone data. *Proc. of National Academy of Sciences*, 2006. Citado na página 45.
- EAGLE, N.; PENTLAND, A. S.; LAZER, D. Inferring friendship network structure by using mobile phone data. *Proceedings of the national academy of sciences*, National Acad Sciences, v. 106, n. 36, p. 15274–15278, 2009. Citado 2 vezes nas páginas 45 e 46.
- EECKHOUT, J. Gibrat's law for (all) cities. *The American Economic Review*, American Economic Association, v. 94, n. 5, p. 1429–1451, 2004. Citado 4 vezes nas páginas 25, 34, 65 e 89.

- FELSON, M. *Crime and Everyday Life*. [S.l.]: SAGE Publications, 2002. ISBN 9780761987611. Citado 2 vezes nas páginas 22 e 69.
- FERRETT, G. Biofuels ‘crime against humanity’. *BBC News*, v. 27, 2007. Citado na página 76.
- FILHO, C. C. B. *et al.* Conglomerados de homicídios e o tráfico de drogas em belo horizonte, minas gerais, brasil, de 1995 a 1999 homicide clusters and drug traffic in belo horizonte, minas gerais state, brazil. *Cad. Saúde Pública*, SciELO Brasil, v. 17, n. 5, p. 1163–1171, 2001. Citado na página 22.
- FLUSCHNIK, T. *et al.* The size distribution, scaling properties and spatial organization of urban clusters: a global and regional perspective. *arXiv preprint arXiv:1404.0353*, 2014. Citado na página 34.
- FURTADO, V. *et al.* Open government and citizen participation in law enforcement via crowd mapping. *IEEE Intelligent Systems*, IEEE, v. 27, n. 4, p. 63–69, 2012. Citado na página 22.
- FURTADO, V. *et al.* Increasing the likelihood of finding public transport riders that face problems through a data-driven approach. *arXiv*, arXiv:1705.03504, 2017. Disponível em: <<https://arxiv.org/abs/1705.03504>>. Citado 3 vezes nas páginas 51, 54 e 93.
- GALLOS, L. K. *et al.* Collective behavior in the spatial spreading of obesity. *Scientific reports*, Nature Publishing Group, v. 2, 2012. Citado 4 vezes nas páginas 25, 34, 65 e 89.
- GELMAN, A.; FAGAN, J.; KISS, A. An analysis of the new york city police department’s “stop-and-frisk” policy in the context of claims of racial bias. *Journal of the American Statistical Association*, Taylor & Francis, v. 102, n. 479, p. 813–823, 2007. Citado na página 76.
- GIESEN, K.; ZIMMERMANN, A.; SUEDEKUM, J. The size distribution across all cities—double pareto lognormal strikes. *Journal of Urban Economics*, Elsevier, v. 68, n. 2, p. 129–137, 2010. Citado 4 vezes nas páginas 25, 34, 65 e 89.
- GLAESER, E. L.; KAHN, M. E. The greenness of cities: carbon dioxide emissions and urban development. *Journal of urban economics*, Elsevier, v. 67, n. 3, p. 404–418, 2010. Citado na página 38.

- GOMEZ-LIEVANO, A.; YOUN, H.; BETTENCOURT, L. M. The statistics of urban scaling and their connection to zipf's law. *PLoS One*, Public Library of Science, v. 7, n. 7, p. e40393, 2012. Citado na página 23.
- GONZALEZ, M. C.; HIDALGO, C. A.; BARABASI, A.-L. Understanding individual human mobility patterns. *Nature*, Nature Publishing Group, v. 453, n. 7196, p. 779–782, 2008. Citado na página 45.
- GONZÁLEZ, M. C.; LIND, P. G.; HERRMANN, H. J. System of mobile agents to model social networks. *Physical review letters*, APS, v. 96, n. 8, p. 088702, 2006. Citado na página 45.
- GORDILLO, F. *The value of automated fare collection data for transit planning: an example of rail transit od matrix estimation*. Tese (Doutorado) — Massachusetts Institute of Technology, 2006. Citado 4 vezes nas páginas 45, 47, 51 e 52.
- GROFF, E.; MCEWEN, T. *Exploring the Spatial Configuration of Places Related to Homicide Events*. [S.l.]: BiblioGov, 2012. Citado 2 vezes nas páginas 42 e 43.
- GROFF, E. R.; VIGNE, N. G. L. Forecasting the future of predictive crime mapping. *Crime Prevention Studies*, Criminal Justice Press, v. 13, p. 29–58, 2002. Citado 2 vezes nas páginas 76 e 81.
- GUEDES, R.; FURTADO, V.; PEQUENO, T. Multiagent models for police resource allocation and dispatch. In: IEEE. *Intelligence and Security Informatics Conference (JISIC), 2014 IEEE Joint*. [S.l.], 2014. p. 288–291. Citado 2 vezes nas páginas 22 e 76.
- HANLEY, Q. S.; LEWIS, D.; RIBEIRO, H. V. Rural to urban population density scaling of crime and property transactions in english and welsh parliamentary constituencies. *PloS One*, Public Library of Science, v. 11, n. 2, p. e0149546, 2016. Citado na página 23.
- HIDALGO, C. A.; RODRIGUEZ-SICKERT, C. The dynamics of a mobile phone network. *Physica A: Statistical Mechanics and its Applications*, Elsevier, v. 387, n. 12, p. 3017–3024, 2008. Citado 2 vezes nas páginas 45 e 46.
- HOLLAND, P. W.; LEINHARDT, S. Transitivity in structural models of small groups. *Comparative Group Studies*, Sage Publications Sage CA: Thousand Oaks, CA, v. 2, n. 2, p. 107–124, 1971. Citado na página 46.

- HSU, K.-I.; GUPTA, H. V.; SOROOSHIAN, S. Artificial neural network modeling of the rainfall-runoff process. *Water resources research*, Wiley Online Library, v. 31, n. 10, p. 2517–2530, 1995. Citado na página 47.
- HU, Z.; LO, C. Modeling urban growth in atlanta using logistic regression. *Computers, Environment and Urban Systems*, Elsevier, v. 31, n. 6, p. 667–688, 2007. Citado na página 28.
- HUA-LING, R. Origin-destination demands estimation in congested dynamic transit networks. In: IEEE. *Management Science and Engineering, 2007. ICMSE 2007. International Conference on*. [S.l.], 2007. p. 2247–2252. Citado 3 vezes nas páginas 47, 51 e 52.
- HUFNAGEL, L.; BROCKMANN, D.; GEISEL, T. Forecast and control of epidemics in a globalized world. *Proceedings of the National Academy of Sciences of the United States of America*, National Acad Sciences, v. 101, n. 42, p. 15124–15129, 2004. Citado 2 vezes nas páginas 48 e 93.
- IGNAZZI, C. A. Scaling laws, economic growth, education and crime: evidence from brazil. *L'Espace géographique*, Belin, v. 43, n. 4, p. 324–337, 2014. Citado na página 23.
- KAHN, M. E. *Green cities: urban growth and the environment*. [S.l.]: Brookings Institution Press, 2007. Citado na página 38.
- KELLING, G. L.; COLES, C. M. *Fixing broken windows: Restoring order and reducing crime in our communities*. [S.l.]: Simon and Schuster, 1997. Citado na página 41.
- KENNEDY, L. W.; CAPLAN, J. M.; PIZA, E. Risk clusters, hotspots, and spatial intelligence: risk terrain modeling as an algorithm for police resource allocation strategies. *Journal of Quantitative Criminology*, Springer, v. 27, n. 3, p. 339–362, 2011. Citado 2 vezes nas páginas 76 e 81.
- KENNEDY, L. W.; FORDE, D. R. Routine activities and crime: An analysis of victimization in canada. *Criminology*, Wiley Online Library, v. 28, n. 1, p. 137–152, 1990. Citado na página 76.
- KIANI, R.; MAHDAVI, S.; KESHAVARZI, A. Analysis and prediction of crimes by clustering and classification. *Analysis*, Citeseer, v. 4, n. 8, 2015. Citado na página 22.

- KINNEY, J. B. *et al.* Crime attractors, generators and detractors: land use and urban crime opportunities. *Built environment*, Alexandrine Press, v. 34, n. 1, p. 62–74, 2008. Citado na página 75.
- KLEIBER, M. Body size and metabolism. *ENE*, v. 1, p. E9, 1932. Citado 2 vezes nas páginas 22 e 28.
- KLEIBER, M. *et al.* The fire of life. an introduction to animal energetics. *The fire of life. An introduction to animal energetics.*, John Wiley & Sons, Inc., New York: London, 1961. Citado na página 29.
- LAM, W. H.; LO, H. Estimation of origin-destination matrix from traffic counts: a comparison of entropy maximizing and information minimizing models. *Transportation Planning and Technology*, Taylor & Francis, v. 16, n. 2, p. 85–104, 1991. Citado 3 vezes nas páginas 47, 51 e 52.
- LAMBIOTTE, R. *et al.* Geographical dispersal of mobile communication networks. *Physica A: Statistical Mechanics and its Applications*, Elsevier, v. 387, n. 21, p. 5317–5325, 2008. Citado 2 vezes nas páginas 45 e 46.
- LAURITSEN, J. L.; QUINET, K. F. D. Repeat victimization among adolescents and young adults. *Journal of Quantitative Criminology*, Springer, v. 11, n. 2, p. 143–166, 1995. Citado 3 vezes nas páginas 24, 43 e 44.
- LEITÃO, J. C. *et al.* Is this scaling nonlinear? *Royal Society Open Science*, The Royal Society, v. 3, n. 7, 2016. Citado na página 23.
- LI, Q.; RACINE, J. Cross-validated local linear nonparametric regression. *Statistica Sinica*, v. 14, n. 2, p. 485–512, 2004. Citado 10 vezes nas páginas 10, 11, 12, 16, 18, 34, 39, 53, 73 e 87.
- LIANG, X. *et al.* Unraveling the origin of exponential law in intra-urban human mobility. *arXiv preprint arXiv:1305.6364*, 2013. Citado na página 45.
- MAKSE, H. A. *et al.* Modeling urban growth patterns with correlated percolation. *Physical Review E*, APS, v. 58, n. 6, p. 7054, 1998. Citado 4 vezes nas páginas 25, 34, 65 e 89.
- MAKSE, H. A.; HAVLIN, S.; STANLEY, H. E. Modelling urban growth patterns. *Nature*, Nature Publishing Group, v. 377, n. 6550, p. 608, 1995. Citado na página 34.

- MALLESON, N.; ANDRESEN, M. A. The impact of using social media data in crime rate calculations: shifting hot spots and changing spatial patterns. *Cartography and Geographic Information Science*, Taylor & Francis, v. 42, n. 2, p. 112–121, 2015. Citado 2 vezes nas páginas 48 e 91.
- MELO, A.; BELCHIOR, M.; FURTADO, V. Analyzing police patrol routes by simulating the physical reorganization of agents. In: SPRINGER. *International Workshop on Multi-Agent Systems and Agent-Based Simulation*. [S.l.], 2005. p. 99–114. Citado 2 vezes nas páginas 76 e 91.
- MELO, H. P. M. *et al.* Statistical signs of social influence on suicides. *Scientific reports*, Nature Publishing Group, v. 4, 2014. Citado 11 vezes nas páginas 22, 23, 25, 28, 32, 33, 59, 62, 67, 72 e 90.
- MESSNER, S. F.; TARDIFF, K. The social ecology of urban homicide: An application of the “routine activities” approach. *Criminology*, Wiley Online Library, v. 23, n. 2, p. 241–267, 1985. Citado na página 43.
- MICHAEL, J.; ADLER, M. *Crime, law and social science*. [S.l.]: K. Paul, Trench, Trubner & co. ltd., 1933. (International library of psychology, philosophy, and scientific method). Citado na página 22.
- MONTGOMERY, D. C.; PECK, E. A.; VINING, G. G. *Introduction to linear regression analysis*. [S.l.]: John Wiley & Sons, 2015. Citado 9 vezes nas páginas 12, 13, 15, 53, 63, 70, 86, 94 e 95.
- MURCIO, R.; SOSA-HERRERA, A.; RODRIGUEZ-ROMO, S. Second-order metropolitan urban phase transitions. *Chaos, Solitons & Fractals*, Elsevier, v. 48, p. 22–31, 2013. Citado na página 34.
- NADARAYA, E. A. On estimating regression. *Theory of Probability & Its Applications*, SIAM, v. 9, n. 1, p. e0171609, 1964. Citado 13 vezes nas páginas 10, 11, 12, 15, 16, 18, 34, 39, 53, 70, 73, 87 e 96.
- NAROLL, R. S.; BERTALANFFY, L. V. The principle of allometry in biology and the social sciences. *General systems yearbook*, v. 1, n. Part II, p. 76–89, 1956. Citado 2 vezes nas páginas 22 e 30.
- NEWLING, B. E. Urban growth and spatial structure: mathematical models and empirical evidence. *Geographical Review*, JSTOR, p. 213–225, 1966. Citado na página 30.

- NOGUEIRA, R. M. R. *et al.* Dengue virus type 3 in rio de janeiro, brazil. *Memórias do Instituto Oswaldo Cruz*, SciELO Brasil, v. 96, n. 7, p. 925–926, 2001. Citado na página [47](#).
- OLIVEIRA, E. A.; ANDRADE, J. S.; MAKSE, H. A. Large cities are less green. *Scientific reports*, Nature Publishing Group, v. 4, 2014. Citado 7 vezes nas páginas [28](#), [33](#), [34](#), [38](#), [64](#), [66](#) e [67](#).
- PARK, D. C. *et al.* Electric load forecasting using an artificial neural network. *IEEE transactions on Power Systems*, IEEE, v. 6, n. 2, p. 442–449, 1991. Citado na página [47](#).
- PIZARRO, J. M.; CORSARO, N.; YU, S.-s. V. Journey to crime and victimization: An application of routine activities theory and environmental criminology to homicide. *Victims and Offenders*, Taylor & Francis, v. 2, n. 4, p. 375–394, 2007. Citado na página [43](#).
- POKORNY, A. D. A comparison of homicides in two cities. *The Journal of Criminal Law, Criminology, and Police Science*, JSTOR, v. 56, n. 4, p. 479–487, 1965. Citado na página [43](#).
- PRESS, W. H. *et al.* *Numerical recipes: the art of scientific computing*. [S.l.]: AIP, 1987. Citado 2 vezes nas páginas [94](#) e [95](#).
- PUGA, D. The magnitude and causes of agglomeration economies. *Journal of Regional Science*, Wiley Online Library, v. 50, n. 1, p. 203–219, 2010. Citado na página [38](#).
- RACINE, J.; LI, Q. Nonparametric estimation of regression functions with both categorical and continuous data. *Journal of Econometrics*, v. 119, n. 1, p. 99–130, 2004. Citado 10 vezes nas páginas [10](#), [11](#), [12](#), [16](#), [18](#), [34](#), [39](#), [53](#), [73](#) e [87](#).
- RALSTON, A.; RABINOWITZ, P. *A first course in numerical analysis*. [S.l.]: Courier Corporation, 2001. Citado na página [97](#).
- RAMEAUX, J.; SARRUS, F. Rapport sur un mémoire adressé al’académie royale de médecine. *Bull. Acad. Méd., Paris*, v. 3, p. 1094–1100, 1838. Citado na página [28](#).
- RAND, A. Mobility triangles. *Metropolitan crime patterns*, Criminal Justice Press Monsey, NY, p. 117–126, 1986. Citado na página [43](#).
- RATCLIFFE, J. H. A temporal constraint theory to explain opportunity-based spatial offending patterns. *Journal of Research in Crime and Delinquency*, Sage Publications, v. 43, n. 3, p. 261–291, 2006. Citado 2 vezes nas páginas [76](#) e [81](#).

- RAWLINGS, J. O.; PANTULA, S. G.; DICKEY, D. A. *Applied regression analysis: a research tool*. [S.l.]: Springer Science & Business Media, 2001. Citado 9 vezes nas páginas [12](#), [13](#), [15](#), [53](#), [63](#), [70](#), [86](#), [94](#) e [95](#).
- REMYA, K.; MATHEW, S. Od matrix estimation from link counts using artificial neural network. *CONTRIBUTORY PAPERS*, p. 287, 2013. Citado 3 vezes nas páginas [47](#), [51](#) e [52](#).
- RENGERT, G. F. The journey to crime. *Bruinsma, G., Elffers, H., Willem, J., de Keijser (eds.) Punishment, Places, and Perpetrators: Developments in Criminology and Criminal Justice Research*, p. 169–181, 2004. Citado na página [24](#).
- ROZENFELD, H. D. *et al.* Laws of population growth. *Proceedings of the National Academy of Sciences*, National Acad Sciences, v. 105, n. 48, p. 18702–18707, 2008. Citado 5 vezes nas páginas [25](#), [34](#), [65](#), [89](#) e [90](#).
- ROZENFELD, H. D. *et al.* The area and population of cities: New insights from a different perspective on cities. *The American Economic Review*, American Economic Association, v. 101, n. 5, p. 2205–2225, 2011. Citado 4 vezes nas páginas [25](#), [34](#), [65](#) e [89](#).
- RUBNER, M. Ueber den einfluss der korpergrosse auf stoffund kraftwechsel. *Zeitschrift fur Biologie*, v. 19, p. 535–562, 1883. Citado na página [28](#).
- SAMPSON, R. J.; RAUDENBUSH, S. W. Systematic social observation of public spaces: A new look at disorder in urban neighborhoods 1. *American journal of sociology*, The University of Chicago Press, v. 105, n. 3, p. 603–651, 1999. Citado na página [28](#).
- SCHOENBERG, I. J. *Cardinal spline interpolation*. [S.l.]: SIAM, 1973. Citado na página [97](#).
- SHERMAN, L. W. Hot spots of crime and criminal careers of places. *Crime and place*, Willow Tree Press, Monsey, NY, v. 4, p. 35–52, 1995. Citado 2 vezes nas páginas [76](#) e [81](#).
- SHERMAN, L. W.; GARTIN, P. R.; BUERGER, M. E. Hot spots of predatory crime: Routine activities and the criminology of place. *Criminology*, Wiley Online Library, v. 27, n. 1, p. 27–56, 1989. Citado 2 vezes nas páginas [76](#) e [81](#).
- SHORT, M. B. *et al.* Dissipation and displacement of hotspots in reaction-diffusion models of crime. *Proceedings of the National Academy of Sciences*, National Acad Sciences, v. 107, n. 9, p. 3961–3965, 2010. Citado na página [22](#).

SHORT, M. B. *et al.* A statistical model of criminal behavior. *Mathematical Models and Methods in Applied Sciences*, World Scientific, v. 18, n. supp01, p. 1249–1267, 2008.

Citado na página 22.

SIMINI, F. *et al.* Self-similarity and scaling in forest communities. *Proceedings of the National Academy of Sciences*, National Acad Sciences, v. 107, n. 17, p. 7658–7662, 2010.

Citado na página 29.

SONG, C. *et al.* Limits of predictability in human mobility. *Science*, American Association for the Advancement of Science, v. 327, n. 5968, p. 1018–1021, 2010. Citado na página 45.

STANLEY, H. E. Phase transitions and critical phenomena. *Clarendon, Oxford*, p. 9, 1971. Citado na página 35.

STAUFFER, D.; AHARONY, A. *Introduction to percolation theory*. [S.l.]: CRC press, 1994. Citado na página 35.

STROGATZ, S. H. Exploring complex networks. *Nature*, Nature Publishing Group, v. 410, n. 6825, p. 268–276, 2001. Citado na página 47.

SULLIVAN, D. *et al.* Towards understanding the impact of crime in a choice of a route by a bus passenger. *arXiv*, arXiv:1705.03506, 2017. Disponível em: <<https://arxiv.org/abs/1705.03506>>. Citado na página 93.

TAYLOR, R. B.; HARRELL, A. *Physical environment and crime*. [S.l.]: US Department of Justice, Office of Justice Programs, National Institute of Justice, 1996. Citado na página 75.

TELLA, R. D.; SCHARGRODSKY, E. Do police reduce crime? estimates using the allocation of police forces after a terrorist attack. *The American Economic Review*, American Economic Association, v. 94, n. 1, p. 115–133, 2004. Citado na página 76.

TITA, G.; GRIFFITHS, E. Traveling to violence: The case for a mobility-based spatial typology of homicide. *Journal of Research in Crime and Delinquency*, Sage Publications Sage CA: Thousand Oaks, CA, v. 42, n. 3, p. 275–308, 2005. Citado na página 43.

WAND, M. Data-based choice of histogram bin width. *The American Statistician*, Taylor & Francis, v. 51, n. 1, p. 59–64, 1997. Citado 2 vezes nas páginas 18 e 86.

WANG, F. *Geographic information systems and crime analysis*. [S.l.]: IGI Global, 2005. Citado na página 22.

- WANG, P. *et al.* Understanding the spreading patterns of mobile phone viruses. *Science*, American Association for the Advancement of Science, v. 324, n. 5930, p. 1071–1076, 2009. Citado 2 vezes nas páginas [48](#) e [93](#).
- WANG, S.-C. Artificial neural network. In: *Interdisciplinary computing in java programming*. [S.l.]: Springer, 2003. p. 81–100. Citado na página [47](#).
- WANG, T. *et al.* Learning to detect patterns of crime. In: _____. *Machine Learning and Knowledge Discovery in Databases: European Conference, ECML PKDD 2013, Prague, Czech Republic, September 23-27, 2013, Proceedings, Part III*. Berlin, Heidelberg: Springer Berlin Heidelberg, 2013. p. 515–530. ISBN 978-3-642-40994-3. Citado na página [22](#).
- WARTELL, J.; VIGNE, N. G. L. *Prescription fraud*. [S.l.]: US Department of Justice, Office of Community Oriented Policing Services, 2004. Citado na página [44](#).
- WATSON, G. S. Smooth regression analysis. *Sankhyā: The Indian Journal of Statistics, Series A*, JSTOR, p. 359–372, 1964. Citado 13 vezes nas páginas [10](#), [11](#), [12](#), [15](#), [16](#), [18](#), [34](#), [39](#), [53](#), [70](#), [73](#), [87](#) e [96](#).
- WEISBURD, D.; BRAGA, A. A. *Police innovation: Contrasting perspectives*. [S.l.]: Cambridge University Press, 2006. Citado 2 vezes nas páginas [76](#) e [81](#).
- WILSON, J. Q.; KELLING, G. L. Broken windows. *Critical issues in policing: Contemporary readings*, p. 395–407, 1982. Citado na página [41](#).
- WOLDENBERG, M. J. An allometric analysis of urban land use in the united states. *Ekistics*, JSTOR, p. 282–290, 1973. Citado na página [30](#).
- WORTLEY, R.; TOWNSLEY, M. *Environmental criminology and crime analysis*. [S.l.]: Routledge, 2016. Citado 2 vezes nas páginas [76](#) e [81](#).
- ZIMBARDO, P. G. The human choice: Individuation, reason, and order versus deindividuation, impulse, and chaos. In: UNIVERSITY OF NEBRASKA PRESS. *Nebraska symposium on motivation*. [S.l.], 1969. Citado na página [41](#).
- ZIPF, G. K. *Human behavior and the principle of least effort*. [S.l.]: JOHN WILEY & SONS INC 111 RIVER ST, HOBOKEN, NJ 07030 USA, 1950. Citado na página [30](#).